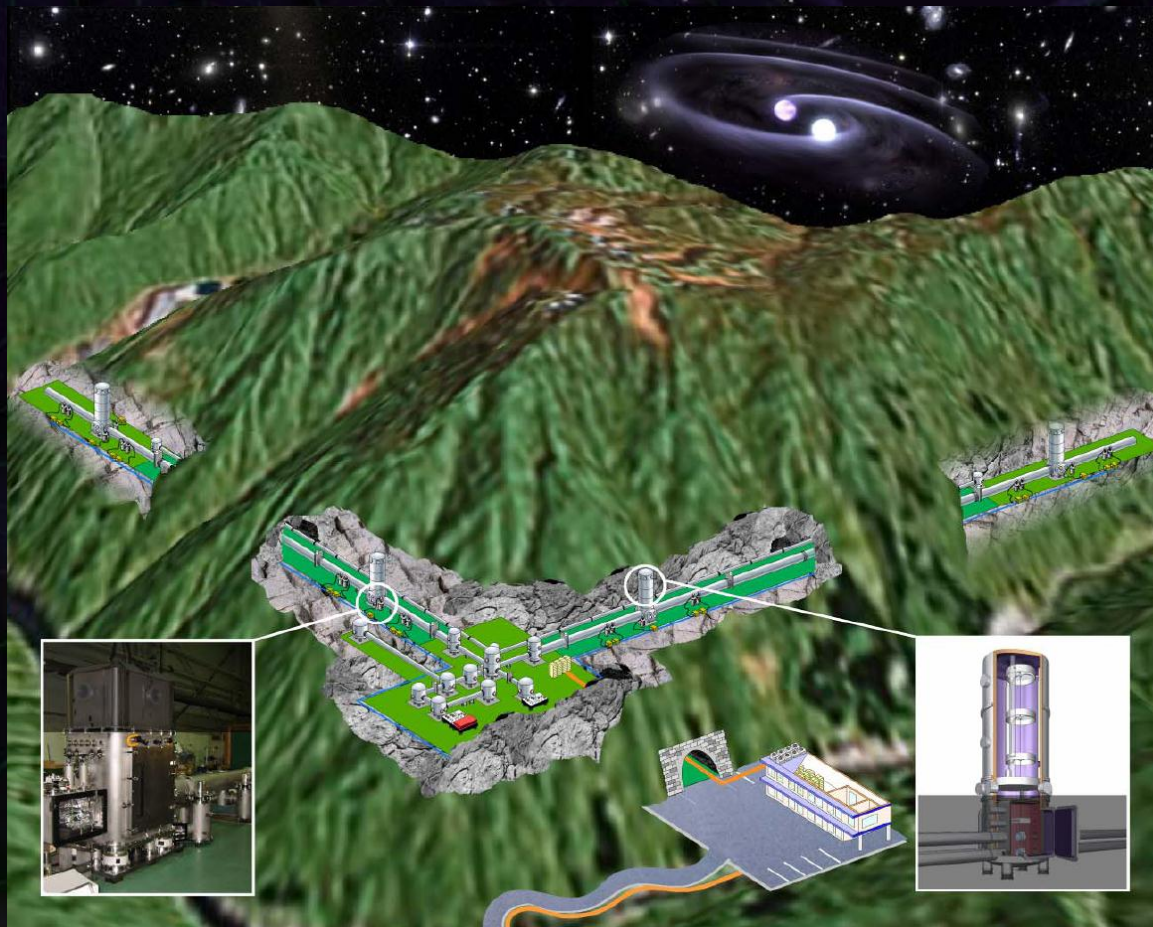


大型低温重力波望遠鏡LCGT かぐら (KAGRA)



安東 正樹
(京都大学 理学系研究科)

On behalf of
the KAGRA Collaboration

お知らせ

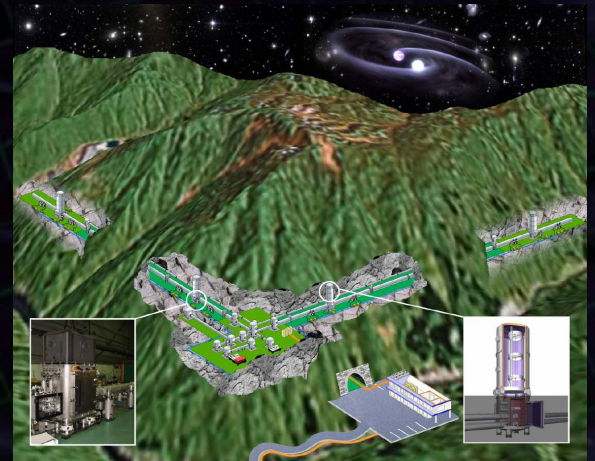
・大型低温重力波望遠鏡 LCGT

(Large Cryogenic Gravitational-wave Telescope)

に愛称がつけました。

かぐら KAGRA

- 一般公募された候補の中から
有識者による選定委員会で決定
(選定委員長: 作家・小川洋子さん)
- かぐら (神楽) : 神に奉げる歌や踊り。
- Acronymではないが、
KA (Kamioka) + GRA (Gravitational Wave Antenna)
の意味合いもある。



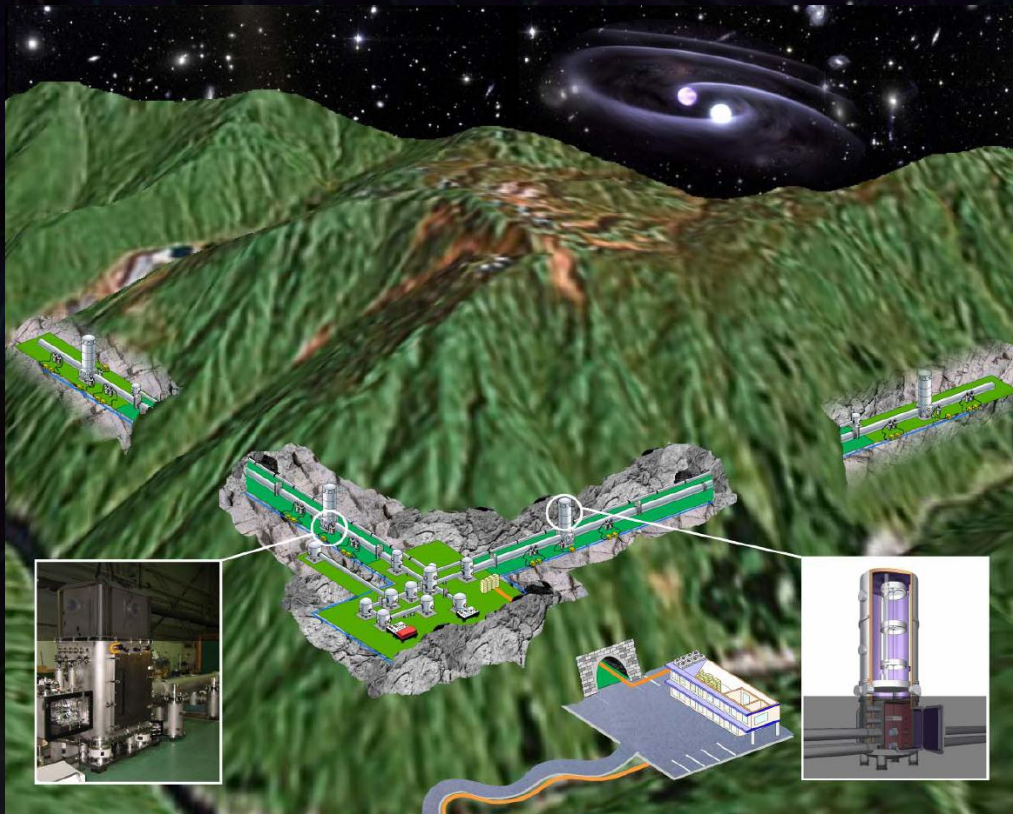
大型低温重力波望遠鏡

かぐら (KAGRA)

(LCGT: Large-scale Cryogenic Gravitational-wave Telescope)

日本の次世代重力波検出器 (本格観測 2017年 -)

海外の望遠鏡 (Ad. LIGOなど) と同等の感度 → 国際観測網.



大規模な重力波天文台

- Baseline length: 3km
- High-power Interferometer

低温干渉計

- Mirror temperature: 20K

地下の安定・静寂な環境

- Kamioka mine,
1000m underground

- **背景とKAGRAの意義**
- **KAGRAの概要**
- **KAGRAの設計と現状**
- **まとめ**

背景とKAGRAの意義

重力波で宇宙を探る



背景画: NASA/WMAP Science Team

地上重力波望遠鏡のターゲット

地上重力波望遠鏡 -- 10Hz – 1kHz の観測周波数帯

⇒ コンパクト天体, 高エネルギー天体現象

中性子星

ブラックホール

初期宇宙

パルサー

超新星爆発

連星合体

背景重力波

軟ガンマ線リピーター

EMRI

電磁波
ニュートリノ
高エネルギー宇宙線

星の
振動
モード

長ガンマ線
バースト

短ガンマ線
バースト

準固有
振動

同時観測
数値相対論

高エネルギー天体
現象の総合的理解

高密度天体の状態方程式
原子核物理

相対性理論の検証
強い重力場での物理法則

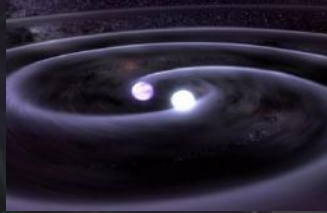
宇宙重力波望遠鏡のターゲット

宇宙重力波望遠鏡 -- 0.1mHz – 1 Hz の観測周波数帯

⇒ 中間/巨大ブラックホール, 初期宇宙

中性子星・白色矮星

連星



パルサー



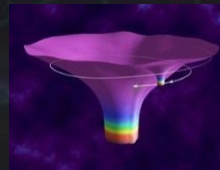
定常的・準静的な自転・公転運動

ブラックホール



巨大ブラックホールの合体

EMRI

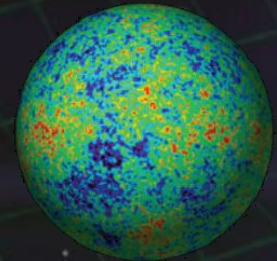


準固有振動

初期宇宙

多数天体の重ね合わせ

背景重力波



電磁波
ニュートリノ

同時観測
数値相対論

重力理論の検証

超巨大BHの形成過程
銀河形成史

宇宙論, 宇宙の誕生と発展
ダークエネルギー・ダークマター

第1世代 重力波検出器

検出の試み：1960年代より行われる

2000年前後より、大型干渉計型検出器が観測を開始

レーザー干渉計型：5台, 共振型検出器：3台



⇒ 国際的観測ネットワーク：1年を超える観測データ
→ 科学的成果（上限値, 理論モデルへの制約など）

連星中性子星合体イベント：50kpc~20Mpcの観測レンジ
→ 我々の銀河, 近傍銀河でイベントがあれば検出可能

本格的な天文学

現在の検出器 --- 近傍銀河までの観測範囲を持つ

ただ... そのような重力波イベントは稀 (10^{-4} - 10^{-2} event/yr)

⇒ 約1桁感度を向上した 第2世代の重力波望遠鏡

高感度化 → より多くの銀河をカバーする

(重力波の振幅) $\propto 1/(\text{波源までの距離})$



感度が10倍向上 → イベントレートは 10^3 倍

得られるサイエンス

Initial LIGO 1年間の観測

~ Advanced LIGO 9時間の観測



第2世代望遠鏡では、検出頻度 ~ 10 event/year

第2世代 重力波望遠鏡

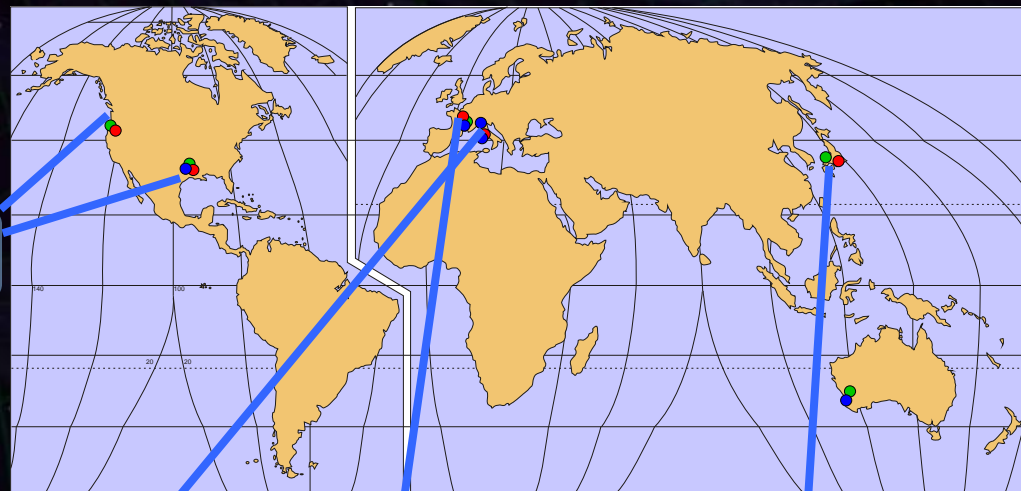
国際観測ネットワークが形成される (現在から 約5年後)

→ 重力波天文学

(重力波の検出, 波源位置の特定, 波源の物理情報, ...)



aLIGO (USA)
4km x 2 (or3)



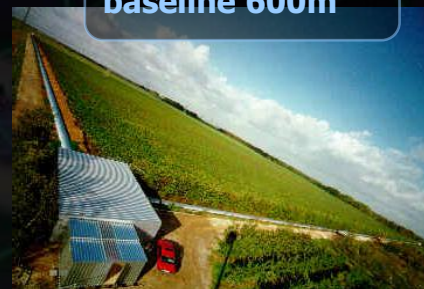
LIGO-Australia
in proposal



LIGO-India
in proposal



Adv. VIRGO (ITA-FRA)
baseline 3km



GEO-HF (GER-UK)
baseline 600m

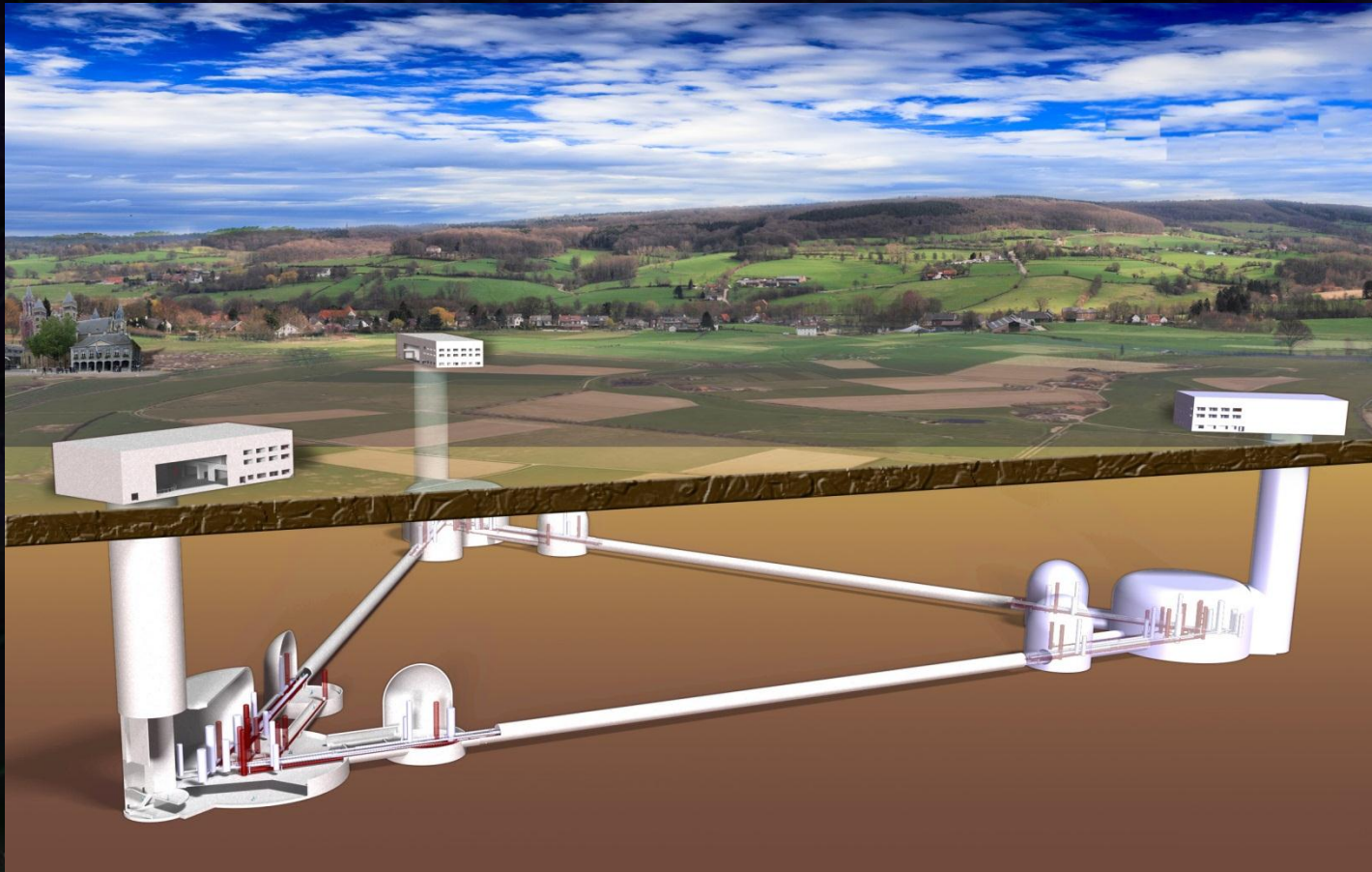


KAGRA (JPN)
baseline 3km

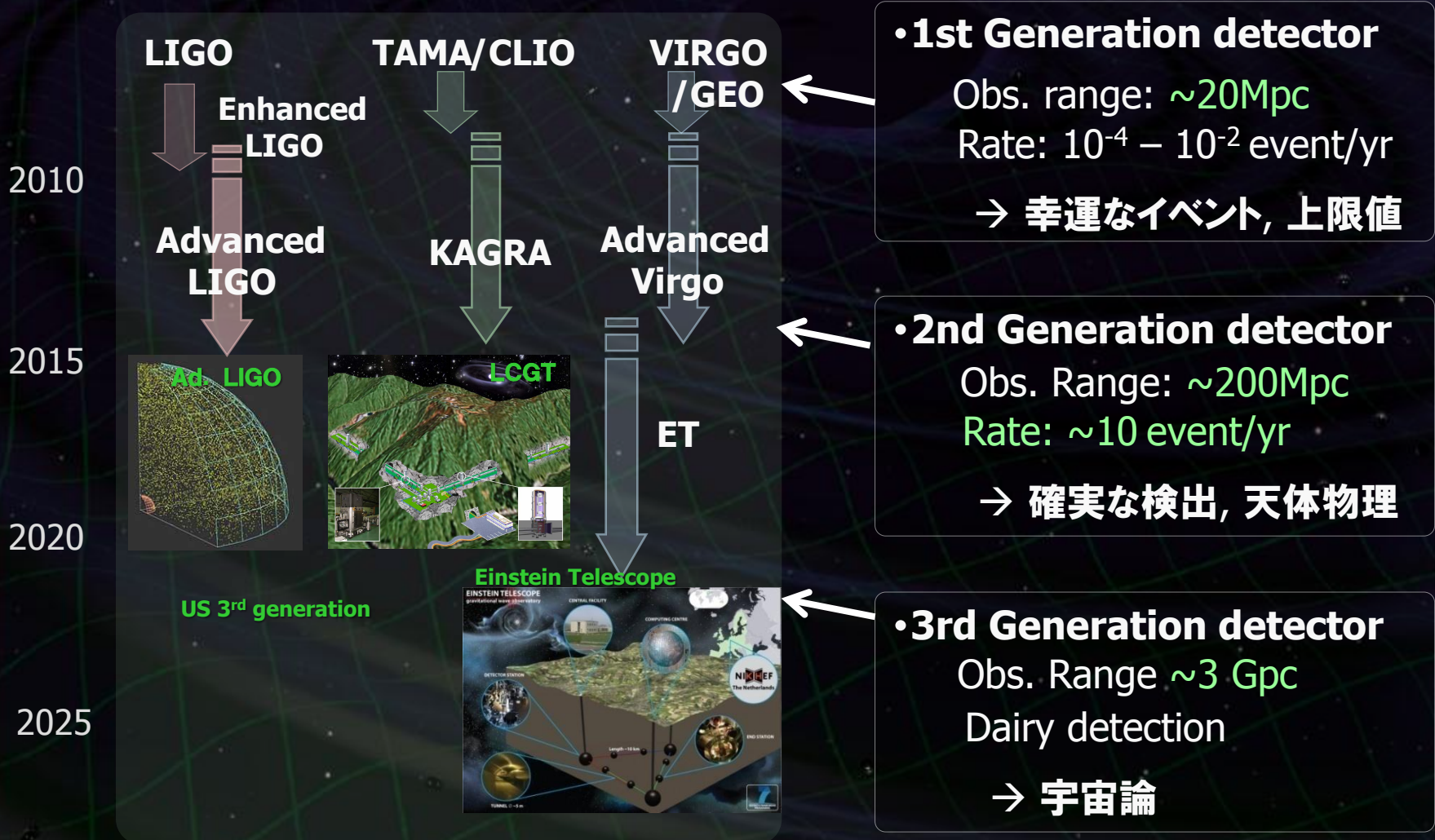
第3世代 重力波望遠鏡

3rd-generation detector : **ET (Einstein Telescope)**

感度：さらに一桁の改善, 2026年頃観測開始.
長基線長 ~10km, 地下サイトに建設, 低温干渉計



地上重力波望遠鏡のロードマップ



• **1st Generation detector**
 Obs. range: ~ 20 Mpc
 Rate: $10^{-4} - 10^{-2}$ event/yr
 → 幸運なイベント, 上限値

• **2nd Generation detector**
 Obs. Range: ~ 200 Mpc
 Rate: ~ 10 event/yr
 → 確実な検出, 天体物理

• **3rd Generation detector**
 Obs. Range ~ 3 Gpc
 Dairy detection
 → 宇宙論

海外望遠鏡との比較

	2 nd -generation detectors		3 rd generation
	aLIGO	Ad. VIRGO	ET
観測開始	~ 2016	~ 2016	~ 2026
サイト	地上 Hanford 2台 Livingstone 1台	地上 Pisa 1台	地下 3台
基線長	4 km	3 km	10 km
観測レンジ (*1)	306 Mpc	243 Mpc	3 Gpc
干渉計方式	RSE広帯域	RSE狭帯域	RSE Xylophone
熱雑音の低減	大ビーム径, 低機械損失鏡 熱レンズ効果の補正		低温化
防振系	能動防振系	受動防振系	受動防振系

(*1) 連星中性子性合体现象に対する観測可能距離, 最適方向, 最適偏波, SNR>8.

(*2) 現在、設計の更新作業が進められており, 変更の可能性はある。

KAGRAの意義

•重力波の検出と重力波天文学の創生

- 1年間の観測で複数回の重力波信号の検出が期待できる。
→ 重力波天文学の幕開け, 相対性理論の検証.
- 国際観測網における重要な拠点
波形, 偏波などの情報 → 天体现象の情報.
波源の位置の特定 → 電磁波観測も含めた波源の理解.

•先進的な干渉計技術の実証

- KAGRAの特徴 : 低温干渉計, 地下サイトに設置.
→ 第3世代望遠鏡 (Einstein Telescope) に必須の技術.
⇒ KAGRAには、第2.5世代の望遠鏡としての役割もある.

KAGRAの概要

レーザー干渉計型重力波検出器

マイケルソン干渉計が基本
レーザー光源からの光を
直交する2方向に分岐

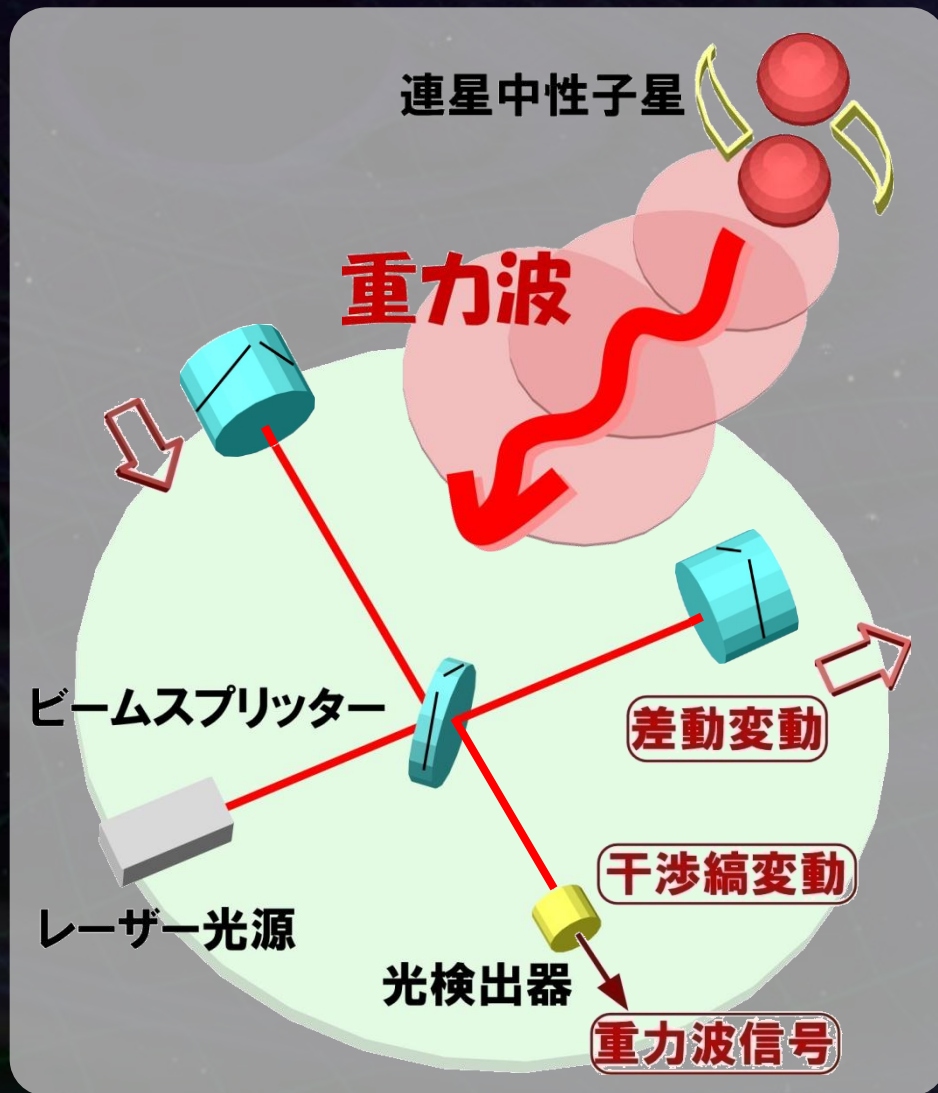


それぞれ、懸架された鏡で打ち返し
干渉させる → 光検出器で観測.

重力波が入射



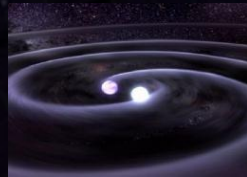
腕の長さの差動変動を
干渉光量の変動として検出



重力波望遠鏡の高感度化

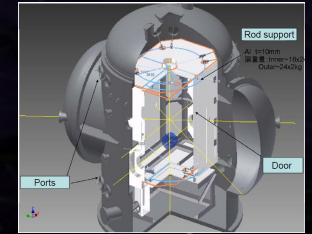
• 重力波源の理解

理論・解析的計算
数値相対論
データ解析手法



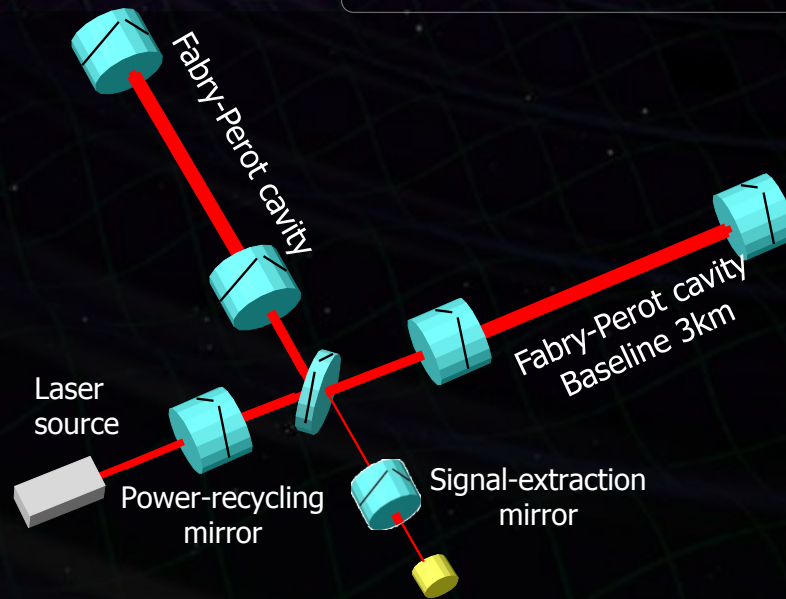
• 鏡・振り子の熱雑音

鏡・振り子の低温化
材質の機械損失



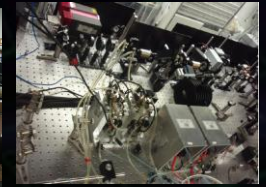
• 地面振動の影響

静寂な地下サイト
高性能防振装置



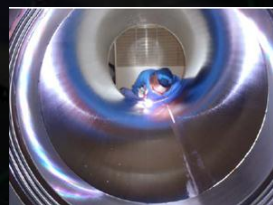
• 光の量子雑音

大型干渉計
干渉計方式の工夫
高出力レーザー光源
高性能鏡



• 真空システム

光路長の揺らぎ
音響雑音などの低減

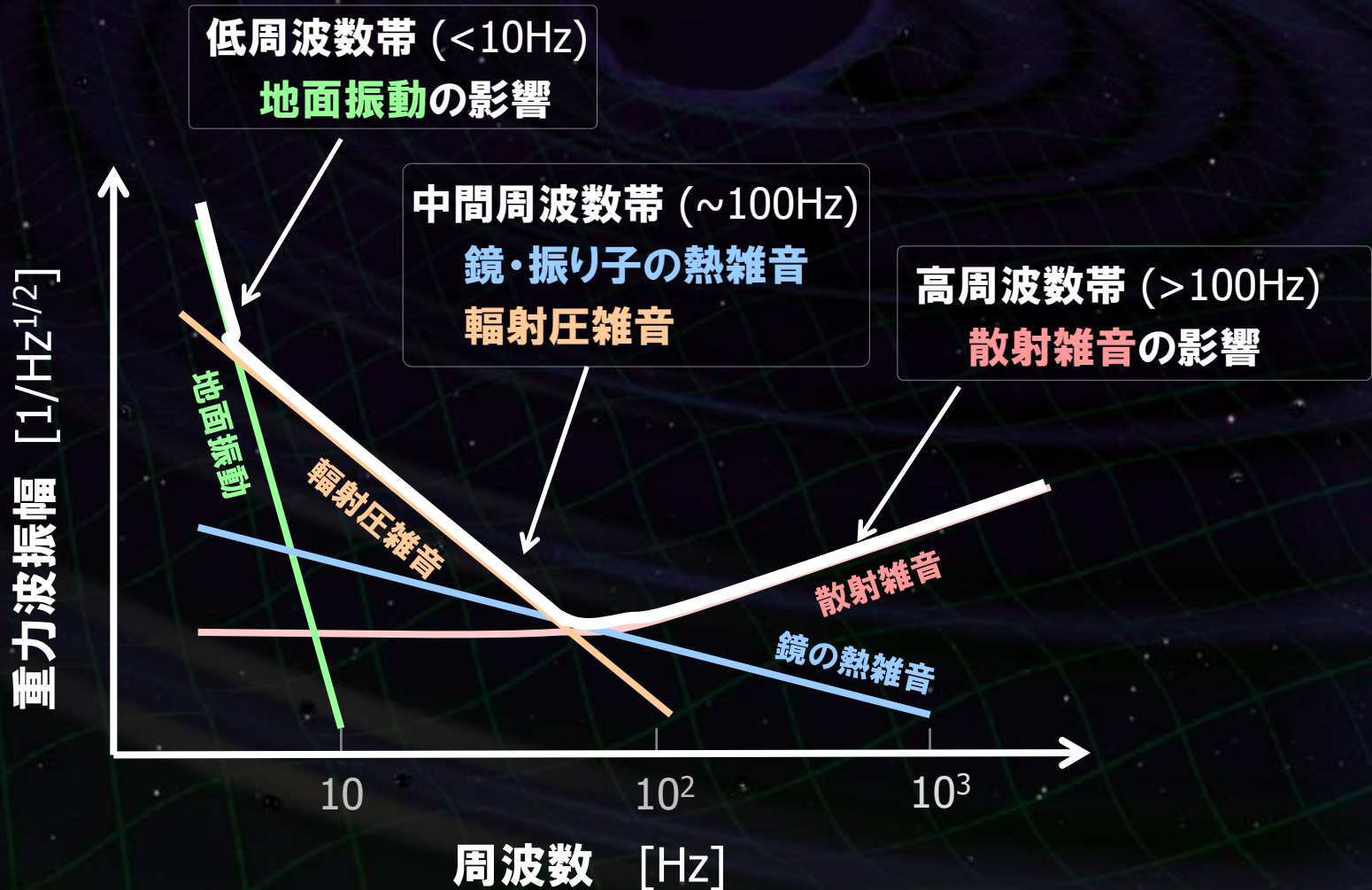


• 長期・連続観測

デジタル制御・データ取得系
環境モニタ, データ保管・分配



重力波検出器の感度

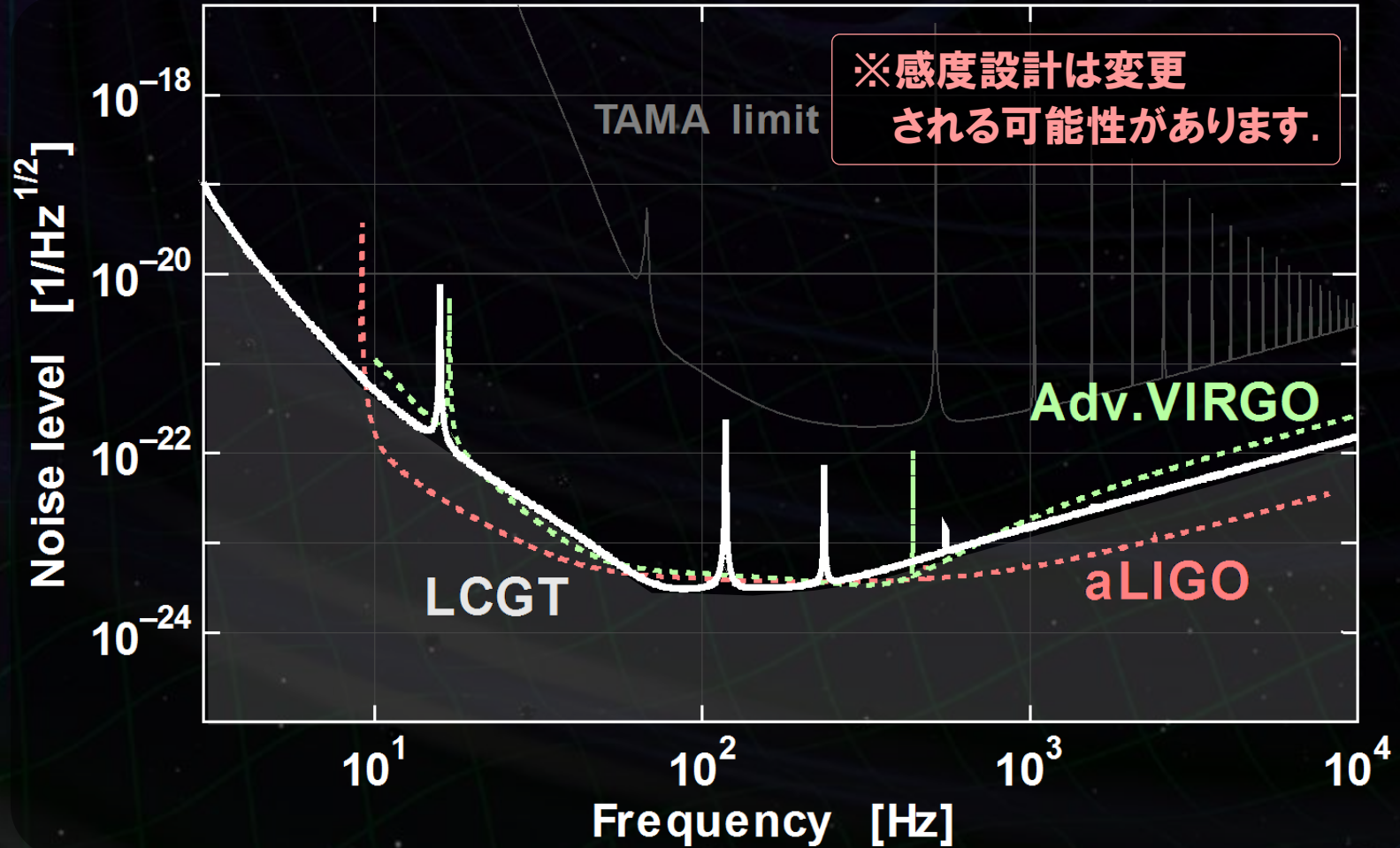


KAGRAの感度限界

主要な雑音源で決まる限界感度
aLIGO や Ad.VIRGOと同等

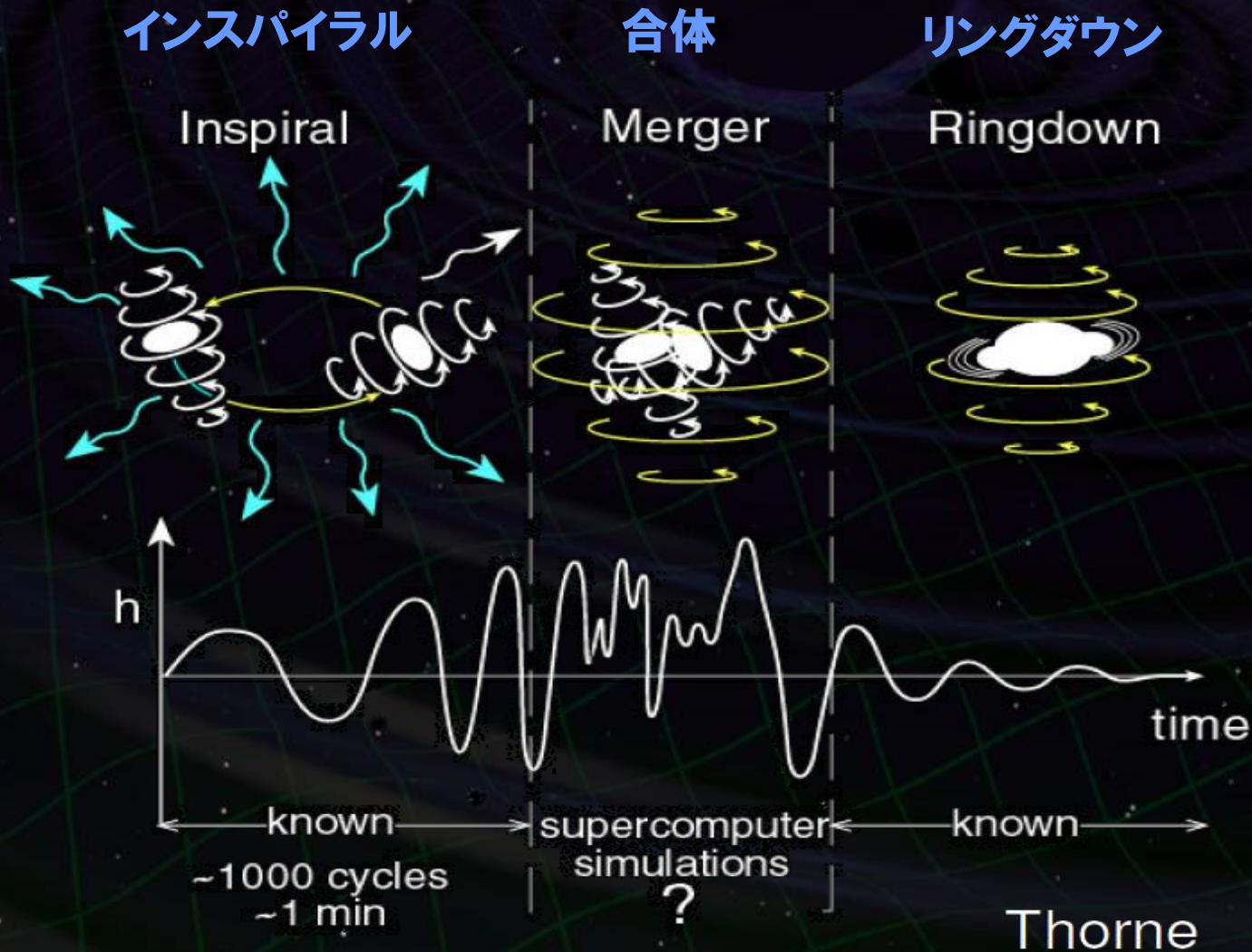


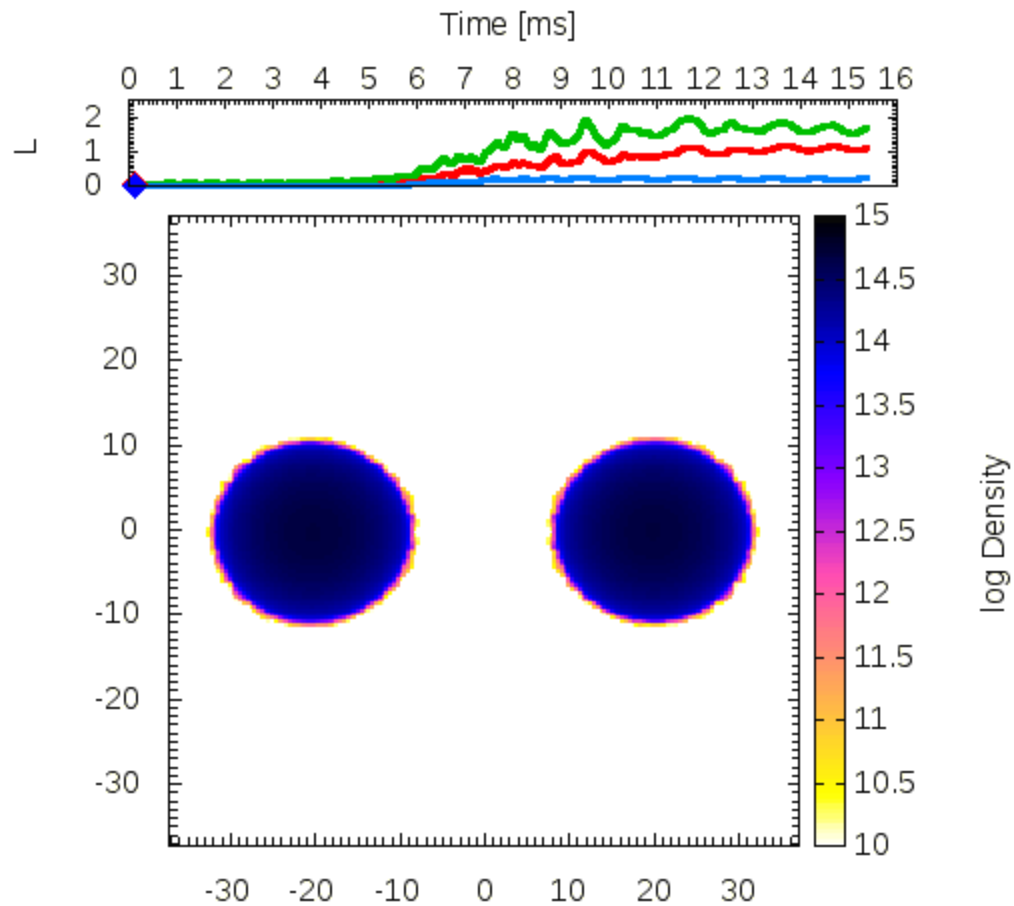
国際観測網を形成
年間数回以上の重力波信号検出



連星合体現象からの重力波

・連星合体からの重力波の波形

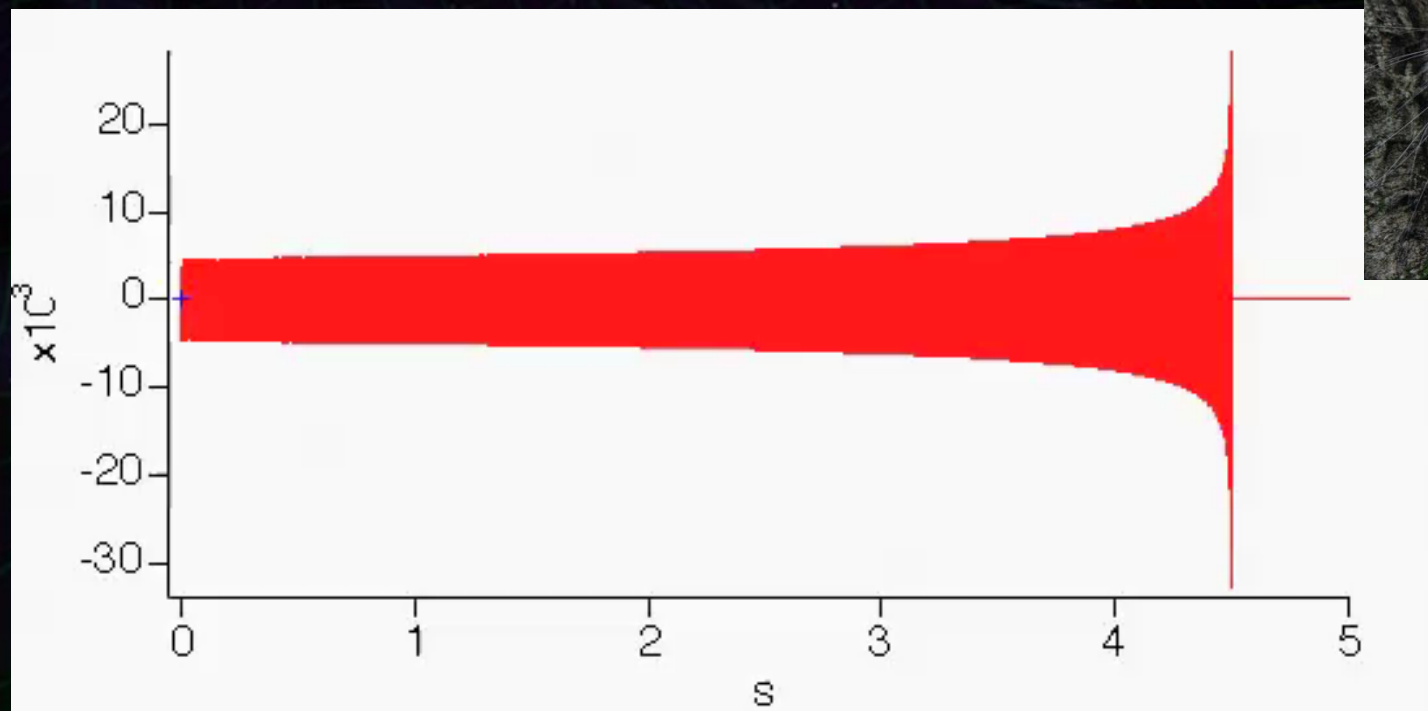




連星中性子星の合体数値シミュレーション by 関口氏

教室発表会 (2012年3月12日, 京都大学)

「耳をすます」



重力波の音 by 神田氏

連星合体観測による知見

・重力波の初検出

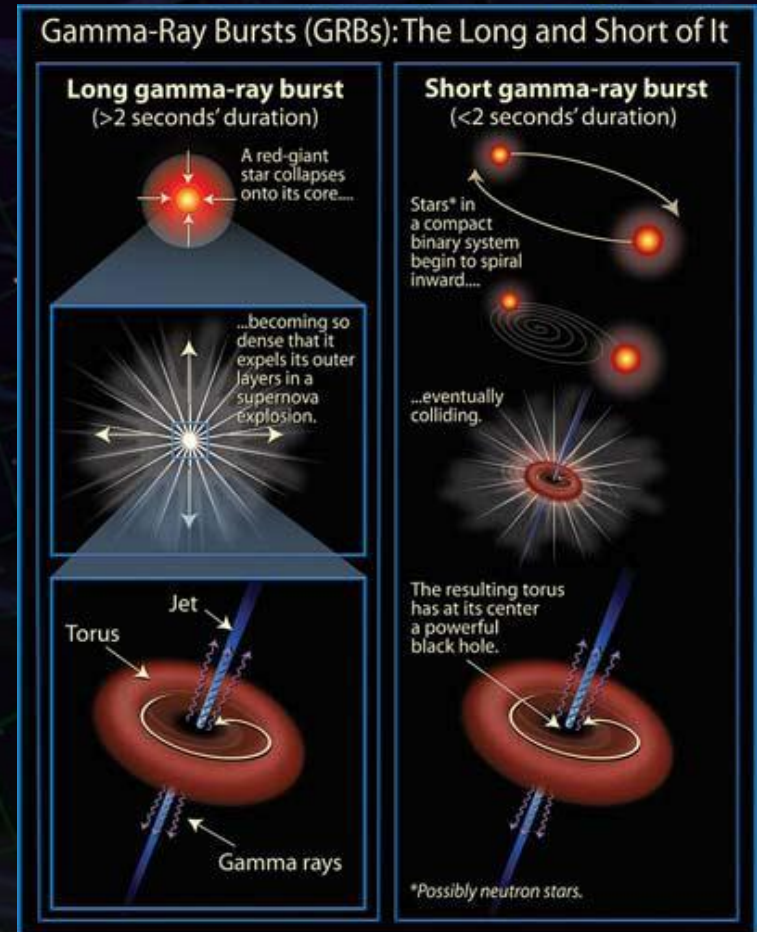
- 連星中性子星：存在が確実，波形が予測できる。
- 相対性理論/重力法則の検証。
- 新しい天文学の創生，
- ガンマ線バーストの起源，未知の発見。

・高密度核物質の直接探査

- 中性子星の状態方程式の情報。
- 潮汐変形/破壊，HMNSの形成など。

・宇宙論・銀河形成史に対する知見

- 宇宙論パラメータへの制限。
- 超巨大ブラックホールの形成過程
- 連星の進化や分布の情報。



From encyclopedia of science

中性子星連星合体の数値シミュレーション

Hotokezaka+, PRD (2011)

等質量連星
中性子星合体

遠心力によって
 $M > M_{\max}$
を支える中性子星

HMNS形成

Type I

BHへ崩壊

Type II
寿命 < 5ms

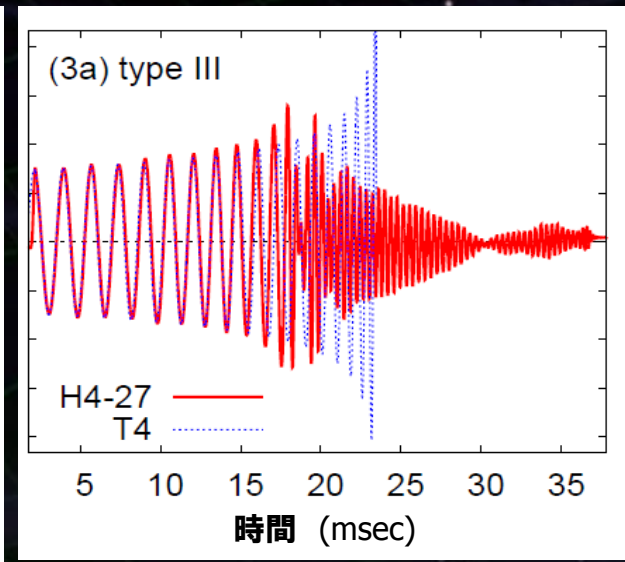
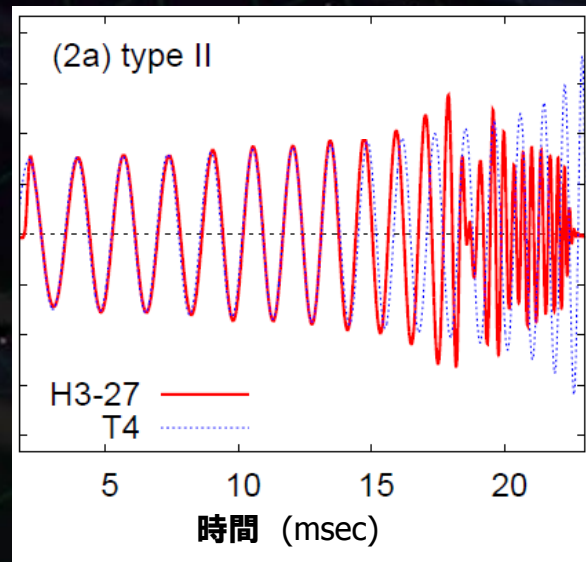
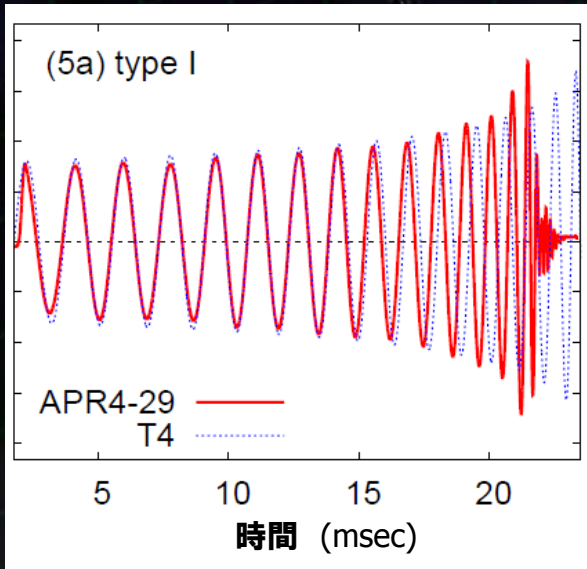
Short lived

BHへ崩壊

Type III
寿命 > 5ms

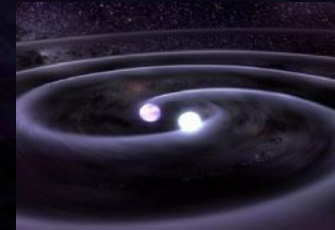
Long lived

BHへ崩壊



KAGRAの観測確率

第一目標: **連星中性子星合体**からの重力波の検出



観測レンジ

感度曲線 → 観測可能距離 270 Mpc

(SNR 8, 最適方向・偏波)

銀河の個数密度:

$$\rho = 1.2 \times 10^{-2} \text{ [Mpc}^{-3}\text{]}$$

R. K. Kopparapu et.al.,
ApJ. 675 1459 (2008)

銀河あたりのイベントレート:

$$\mathcal{R} = 118_{-79}^{+174} \text{ [events/Myr]}$$

V. Kalogera et.al.,
ApJ, 601 L179 (2004)



KAGRAの観測レート **9.8 events/yr**

(1年間の観測での検出確率 99.9%以上)

KAGRAの設計と現状

KAGRA サイト

岐阜県・神岡町 の地下サイトに建設

Facility of the Institute of Cosmic-Ray Research (ICRR), Univ. of Tokyo.



Neutrino

Super Kamiokande, Kamland

Dark matter

XMASS

Gravitational wave

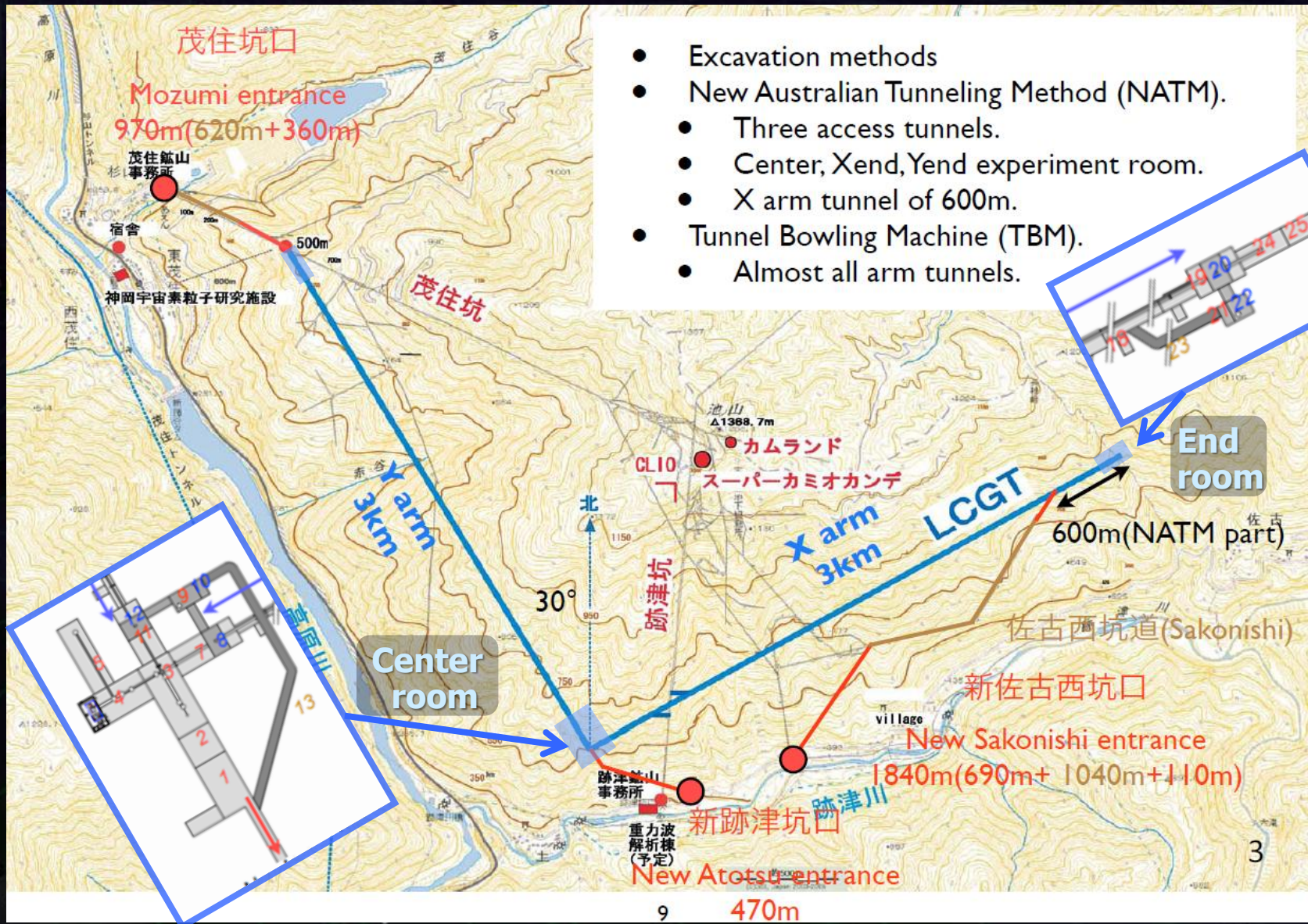
CLIO, **KAGRA**

Geophysics

Strain meter

- 220km away from Tokyo
- 1000m underground from the top of the mountain. (Near Super Kamiokande)
- 360m altitude
- Hard rock of Hida gneiss (5 [km/sec] sound speed)

KAGRAトンネル設計

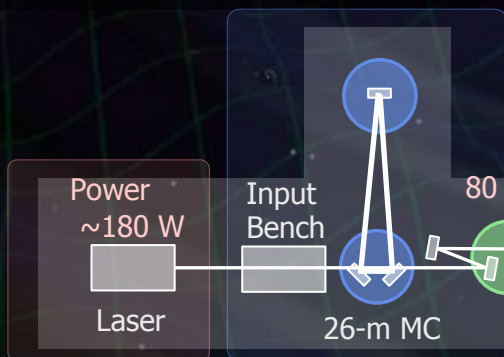


- Excavation methods
- New Australian Tunneling Method (NATM).
 - Three access tunnels.
 - Center, Xend, Yend experiment room.
 - X arm tunnel of 600m.
- Tunnel Bowling Machine (TBM).
- Almost all arm tunnels.

KAGRA 干涉計構成

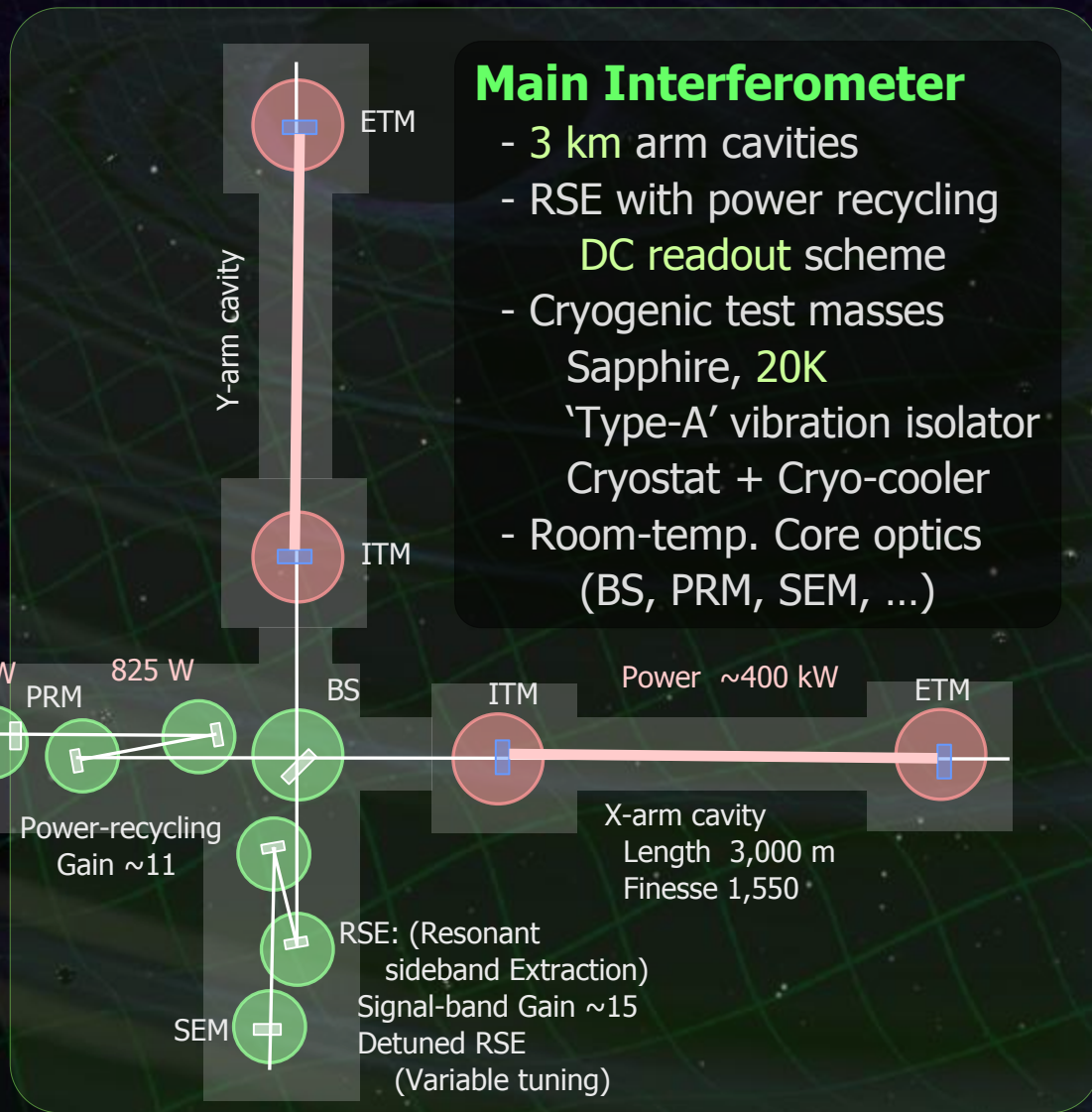
Input/Output Optics

- Beam Cleaning and stab.
- Modulator, Isolator
- Fixed pre-mode cleaner
- Suspended mode cleaner
Length 26 m, Finesse 500
- Output MC
- Photo detector



Laser Source

- Wavelength 1064 nm
- Output power 180 W
- High-power MOPA



Main Interferometer

- 3 km arm cavities
- RSE with power recycling
DC readout scheme
- Cryogenic test masses
Sapphire, 20K
- 'Type-A' vibration isolator
Cryostat + Cryo-cooler
- Room-temp. Core optics
(BS, PRM, SEM, ...)

KAGRA鏡懸架・冷却系

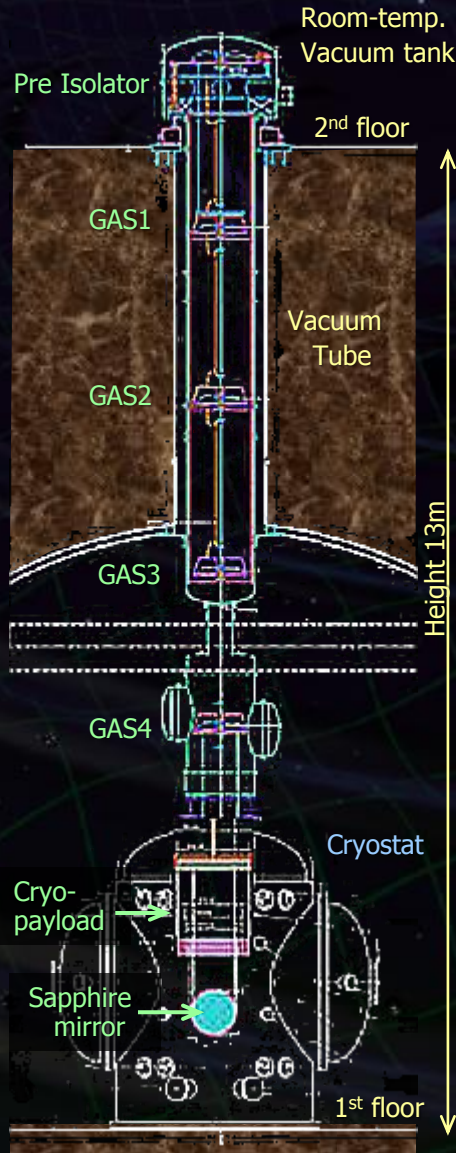
・高性能防振装置 (Type-A SAS)

- 上層部の岩盤より懸架された多段の受動防振装置.
- 常温の真空槽内に収められる.
- ローカル制御とダンピング機構.
- 最下段に低温ペイロード,
サファイヤ鏡を懸架.



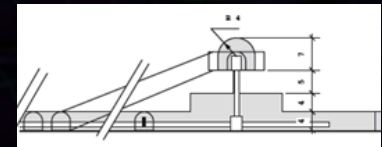
・低温ペイロード

- サファイヤ鏡を懸架する2段振り子.
サファイヤ鏡 20K
振り子部 16K
- 鏡の変位・角度用アクチュエータ.
- 低温シールド部とヒートリンク接続.



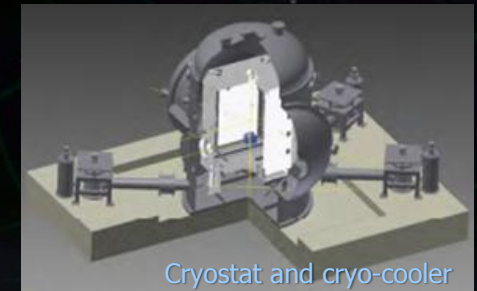
・トンネル：2層構造

- 上部 高さ 7m
- 中間岩盤 厚さ 5m
- 下部 高さ 8m



・クライオスタット・冷却系

- 外形：Φ2.4m, 高さ 3.8m
- 二重の輻射シールド (80K, 8K)
- 4台の低雑音PT冷凍機
- 1st stage 36 W at 50K
- 2nd stage 0.9 W at 4K



安全祈願祭・着工式



KAGRA安全祈願祭・着工式・祝賀会
岐阜県・神岡 (2012年1月20日)



教室発表会 (2012年3月12日, 京都大学)

KAGRA Vacuum duct

12-m ducts are being delivered: ~100 of 500 ducts

111017 VAC (YS)

LCGT Vacuum System

千原野田事業場のこと

本ダクトは 12m 両端吊り吊り付で 10mm 程度の隙間
マボロシのボイラントを十分に吸けること。

ダクト吊り台
両手方向に 3~4ヶ所設置

12091 (補助長さ)
12000 (ダクト吊り台長さ)
A
A
(1430)
(3140)
(11625)
(250)

1710
1900

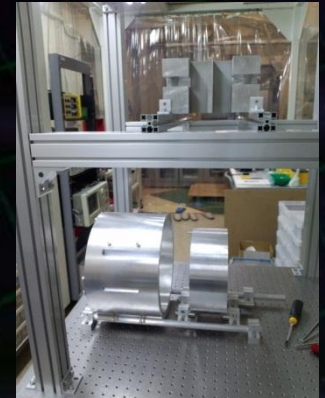
350
150
280
280

* storage (one year, or more, before installation)

Transportation and storage of vac. duct

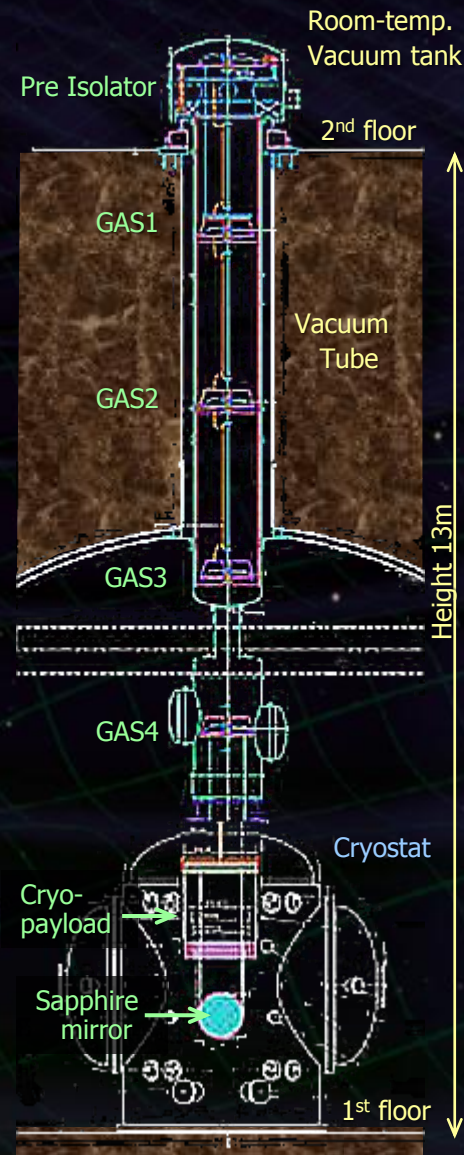
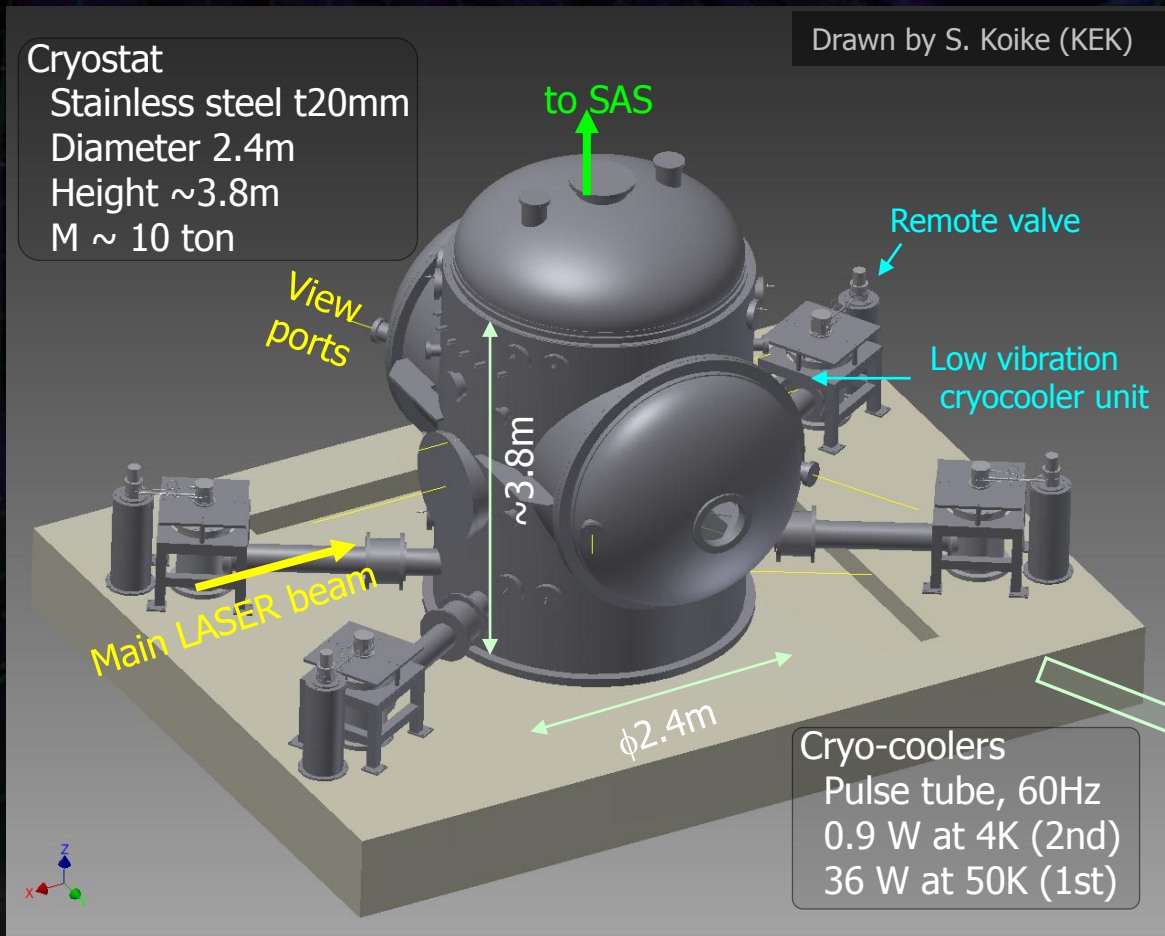
Presentation
By Y.Saito (KEK)

防振装置



クライオスタット

- CLIO等の経験を生かして設計 (構造解析, 熱解析)
→ 2012年度中頃に1台目評価試験.

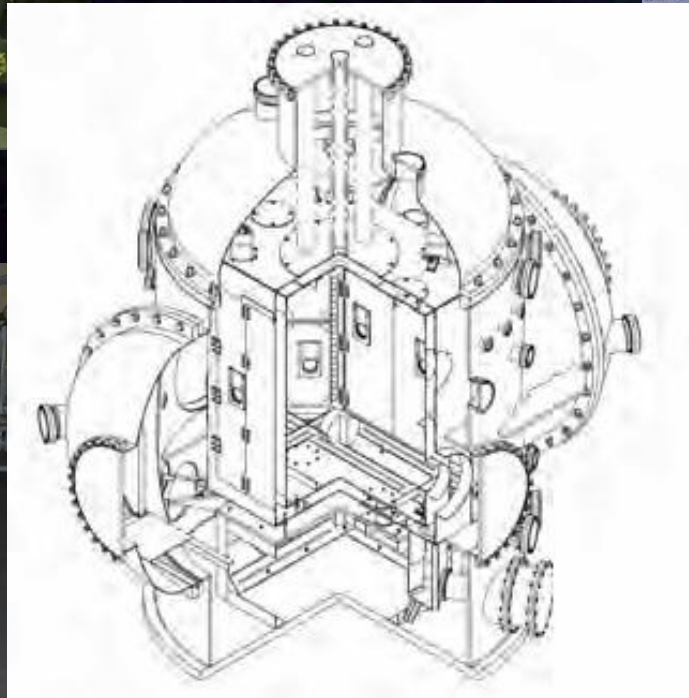


クライオスタット

Ribs inside cryostat



Welding on the connection port



Connection port
to cryo-cooler unit



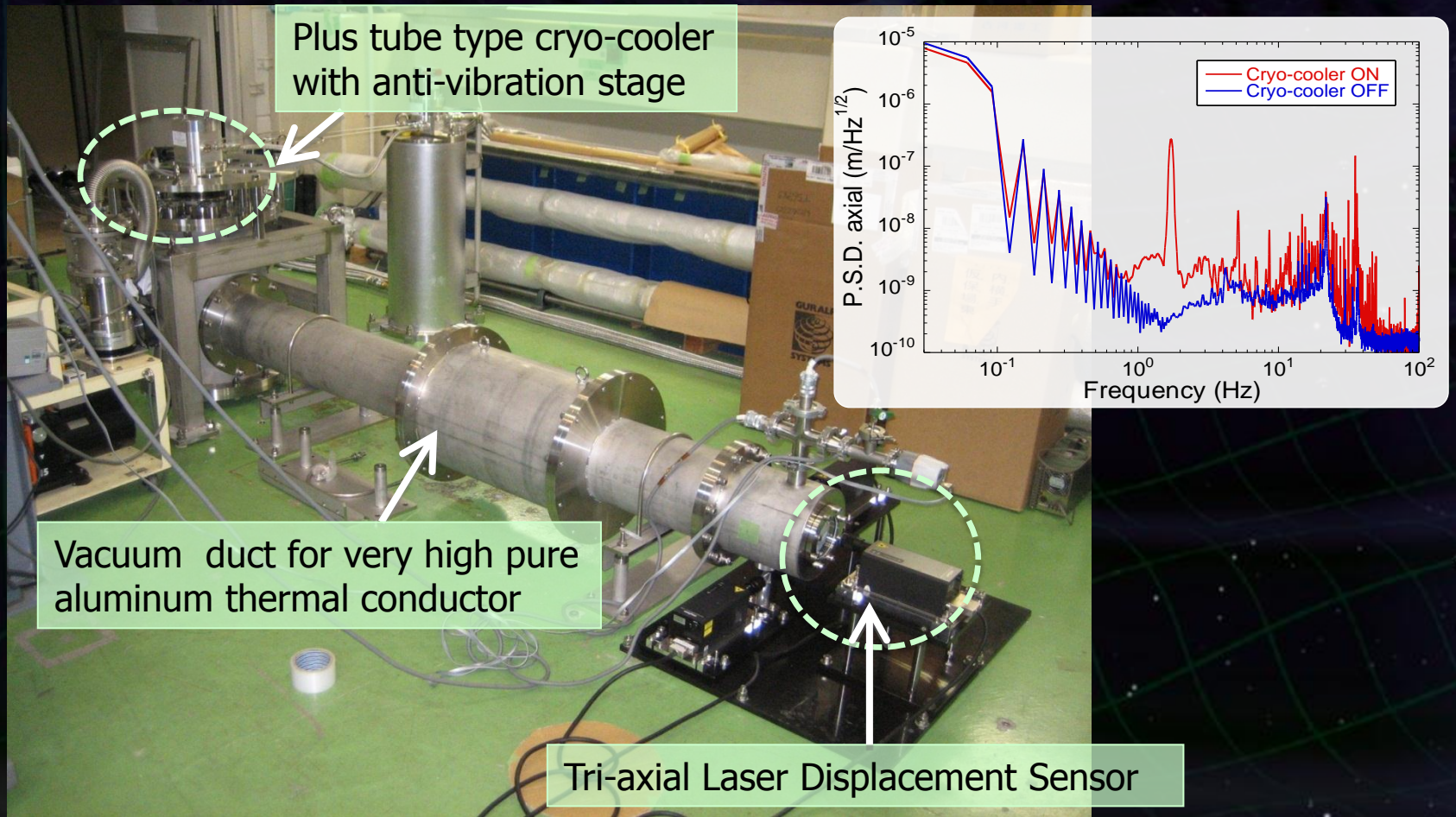
Pipes



at Toshiba Keihin Factory

低振動冷凍機

- CLIOなどの経験・実績を生かして製作。
 - プロトタイプを用いた評価試験進行中 (KEK)
 - 冷却能力, 伝熱系を含めた振動など.



KAGRA全体スケジュール

•iKAGRA (2010.10 – 2015.12)

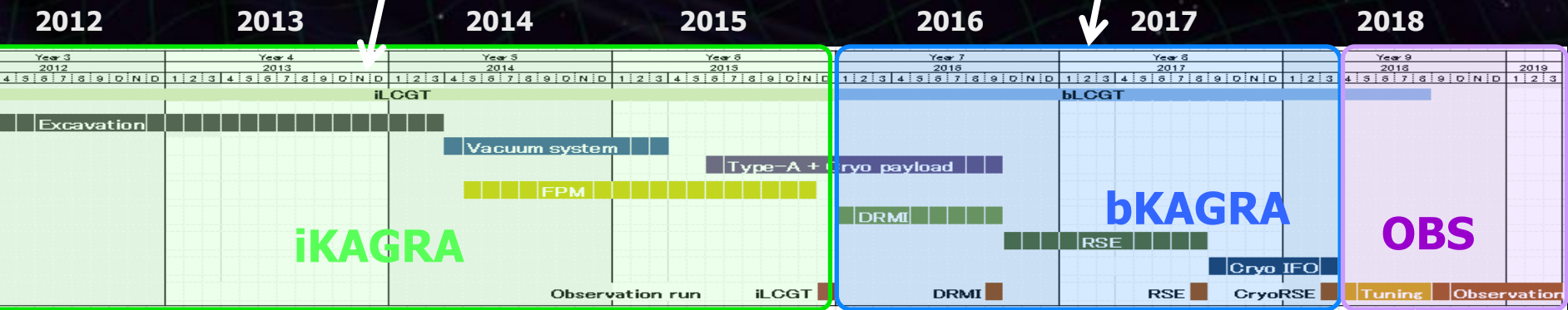
大型干渉計の安定動作を実現

- 基線長3kmの常温干渉計を動作.
- 比較的シンプルな光学系・防振系構成で総合システムとしての動作.

•bKAGRA (2016.1 – 2018.3)

最終構成での動作

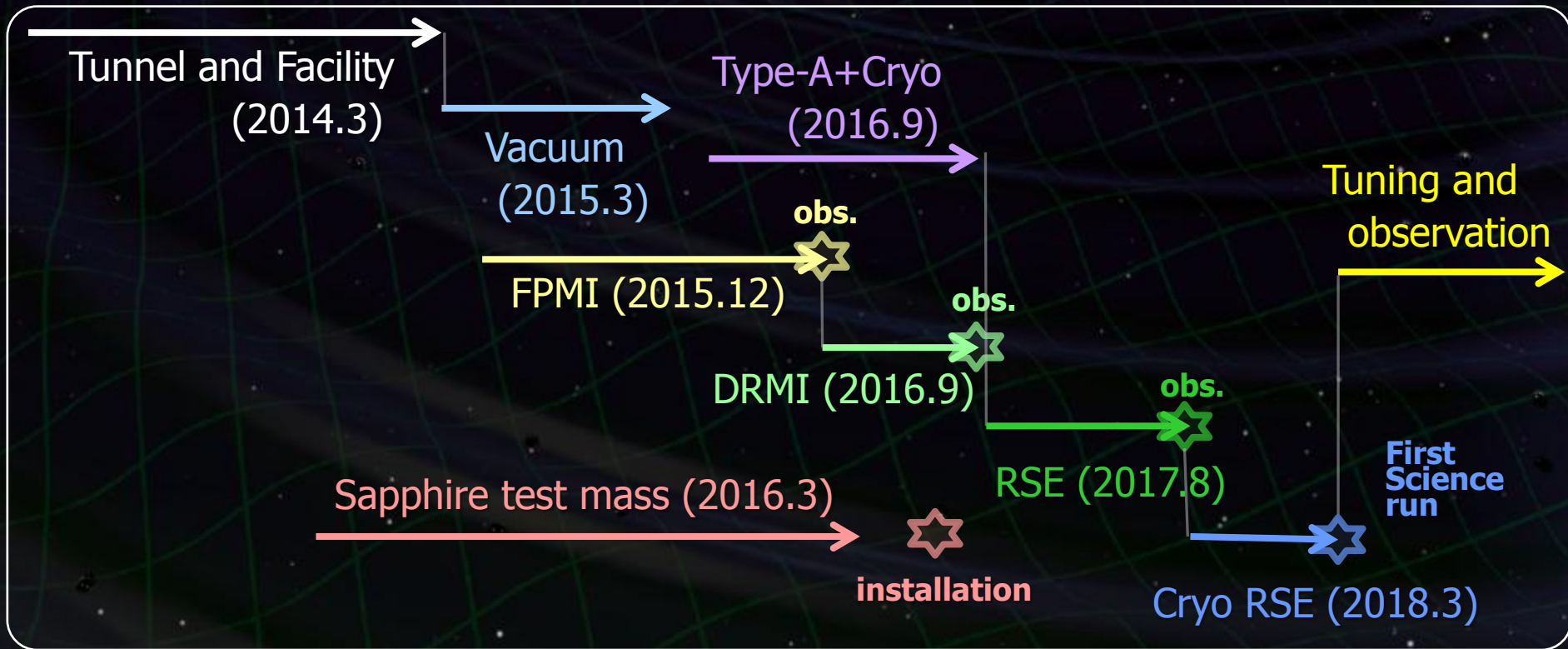
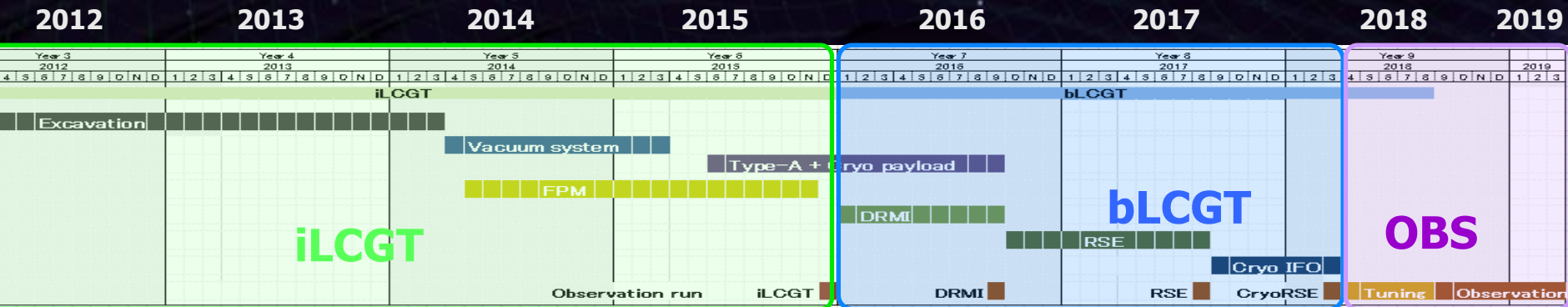
- 干渉計構成, 防振系最終形
- 低温干渉計としての動作.



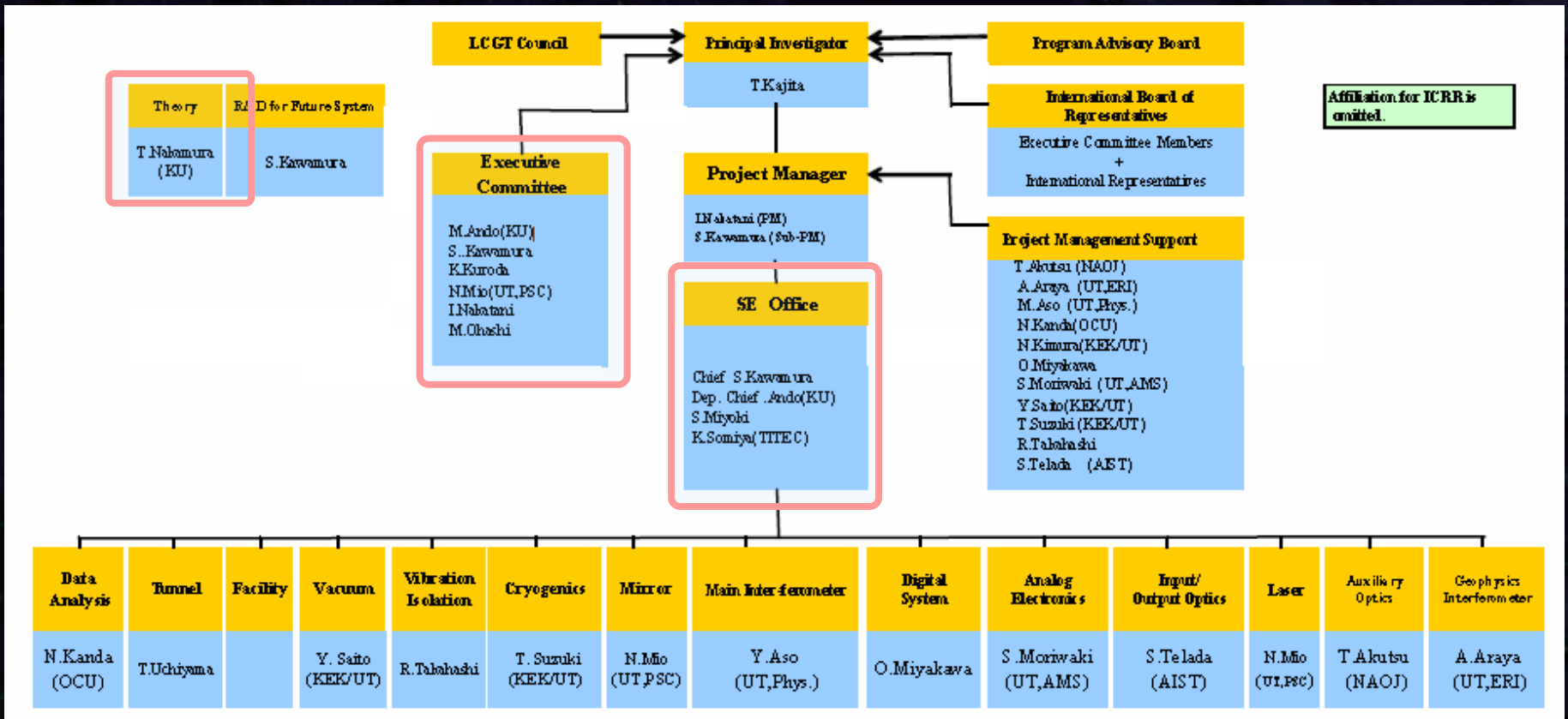
•OBS (2018.4 -)

長期間観測運転と干渉計チューニング.

KAGRAスケジュール



KAGRA組織図



KAGRA System Engineering Management Plan
(ver 2a, Feb. 17, 2012)

まとめ

まとめ

KAGRA : プロジェクト進行中

- 観測可能距離 200Mpc以上 → 年間数回以上の重力波検出.
- 海外の望遠鏡とともに 第2世代の観測ネットワークを形成

⇒ 重力波天文学の分野を切り開く.

- KAGRAでは, 世界に先駆けて第3世代の技術も実証.
低温干渉計技術, 地下サイト

設計と開発

- TAMA と CLIO などの経験・実績を生かして設計.
- 実機プロトタイプ試験, シミュレーションによる詳細設計・検討が進行中.

2010年代後半には、
重力波天文学が幕を開けているだろう!

新しい重力波望遠鏡方式

ねじれ型重力波望遠鏡 (TOBA: Torsion-Bar Antenna)

- 新しいアイデアによる重力波望遠鏡方式.
- 低周波数・極低周波数の観測を可能にする.

☆設計検討・プロトタイプ開発.

- 小型TOBAの開発と観測運転.
 - 0.2Hz帯の背景重力波に初めての上限値.
- 東京-京都2台での同時観測運転.
- 超小型宇宙実証モジュールSWIM
 - 世界初の宇宙重力波検出器 (2009年)

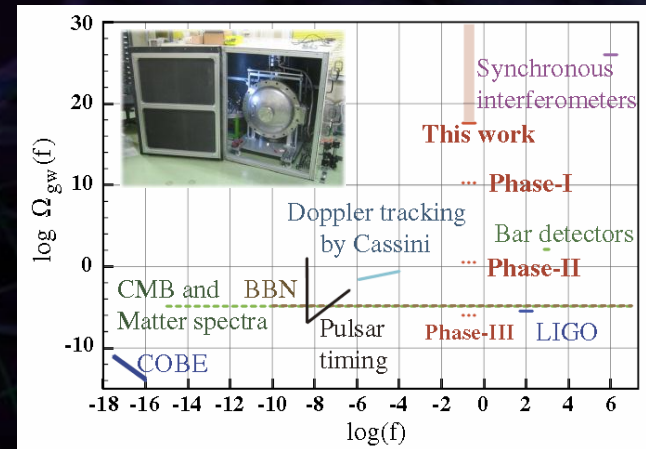
MA+, PRL (2010), 物理学会誌 (2010)

K.Ishidoshiro MA+, PRL (2011) → ハイライト記事に選ばれる.

石徹白晃治 博士論文 (2009) → 物理学会若手奨励賞 (2011年度)

穀山涉 修士論文 → 東京大学 奨励賞 (2008年度)

A.Shoda GWPAW Poster Award (2010) など



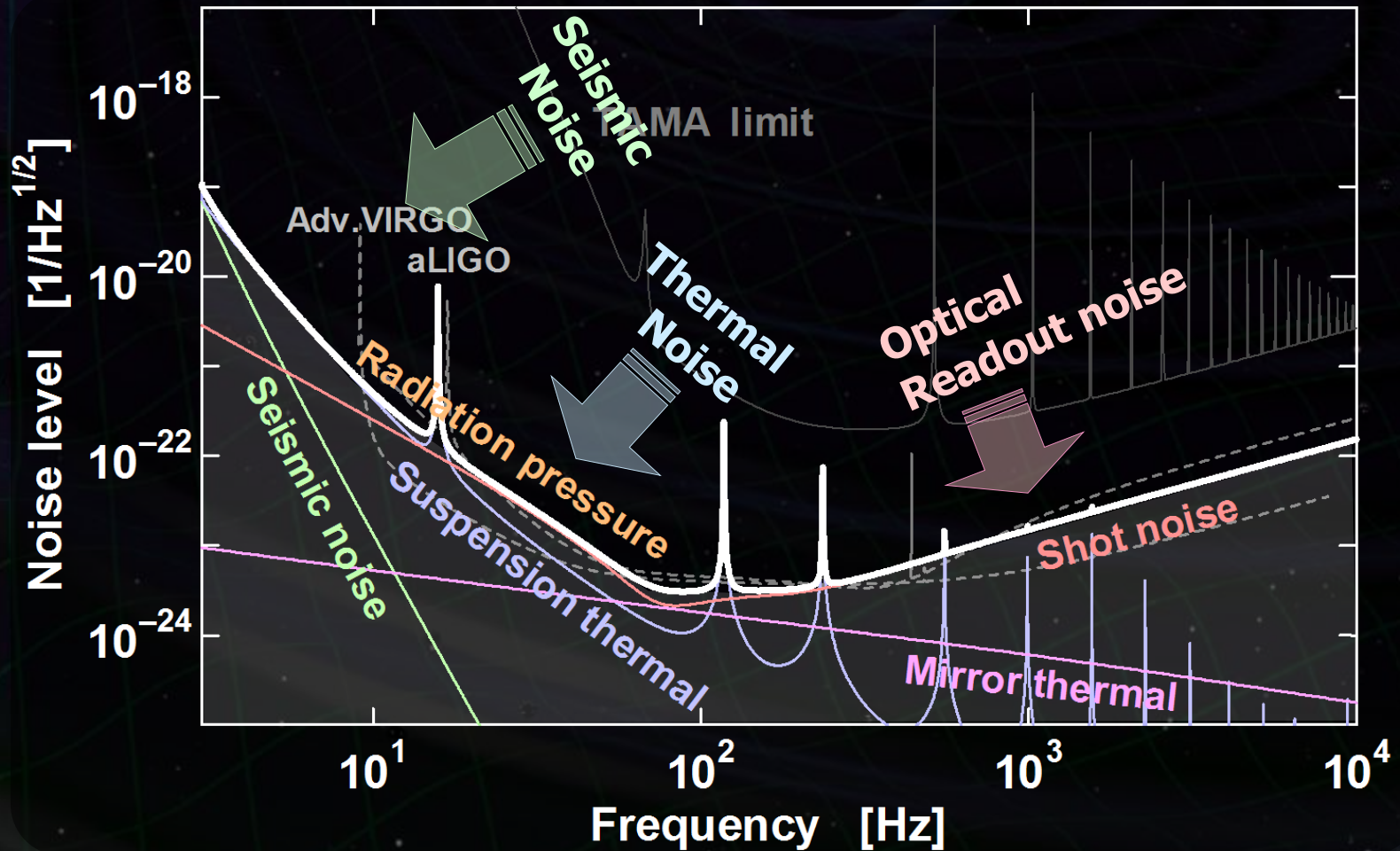
The screenshot shows the Physical Review Letters website interface. The main content area features a highlight article titled "Physics: Tuning in to gravity" dated April 20, 2011. The article abstract discusses tests of an early design for a gravity-wave detector. The website header includes "Physical Review Letters" and "moving physics forward". Navigation tabs for "Highlights", "Editors' Suggestions", "Recent Papers", and "Accepted Papers" are visible.

Phys. Rev. Lett. 誌 Highlight記事 (April 2011)

終わり

感度の向上

本格的な天文学を目指す → 原理的な雑音源を低減する必要。



光の量子雑音

・光の量子雑音 --- 干渉計における原理的な雑音

- 散射雑音 (Shot Noise)

光検出時の光子数計数誤差

$$h_{\text{shot}} \propto 1/\sqrt{P}$$

- 輻射圧雑音 (Radiation Pressure Noise)

鏡での反射時の光子反跳雑音

$$h_{\text{RPN}} \propto \sqrt{P}$$

[P : 干渉計入射光パワー]

標準量子限界 (Standard Quantum Limit)

$$h_{\text{SQL}} \propto \frac{1}{\sqrt{M L^2}} \left[\begin{array}{l} M : \text{鏡の質量} \\ L : \text{基線長} \end{array} \right]$$



長い干渉計基線長
大質量鏡

LCGT : 大型・大光量干渉計

基線長 3km, 鏡質量 22kg, 干渉計内光パワー ~800kW

熱雑音の低減

・熱雑音 --- 干渉計の原理的雑音

干渉計の構成コンポーネントに 機械損失 → 揺動力 (揺動散逸定理)

- 鏡の熱雑音 : 鏡基材, コーティング面などでの損失.
- 振り子の熱雑音 : 鏡の懸架ワイヤ等での損失.

熱雑音

$$\text{Thermal noise} \propto \sqrt{\frac{T}{Q}}$$

T : 温度 [K]
 Q : 機械損失の逆数

温度を下げる
良い材質を選ぶ
低減する干渉計構成

LCGT : 低温干渉計 → 熱雑音を低減するクリアな方法.

- 鏡 ~20K, 振り子 ~16K
- 付加的な効果 : 機械損失の低減, 熱レンズ効果の低減, パラメトリック不安定性の低減.

地面振動の影響低減

・地面振動 --- 地上干渉計の低周波観測帯域と安定度を制限

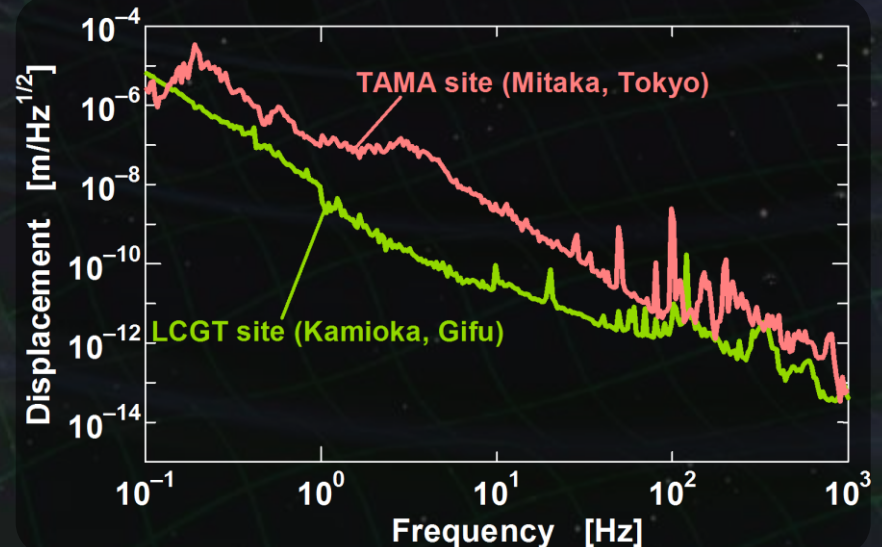
- **常微動** : 準定常的な変動. 干渉計の観測帯域を制限.
- **非定常変動** : 地震, 気象変動, 人工的な励起など.
干渉計の安定度, 観測のデューティサイクルに影響.

地面振動レベル

- 地下サイトでは2-3桁小さい
- 高周波数で低減.

$$\delta x_{\text{seis}} \sim \frac{10^{-9}}{f^2} \text{ [m/sqrtHz]}$$

(神岡サイトでの値, f : 周波数,)



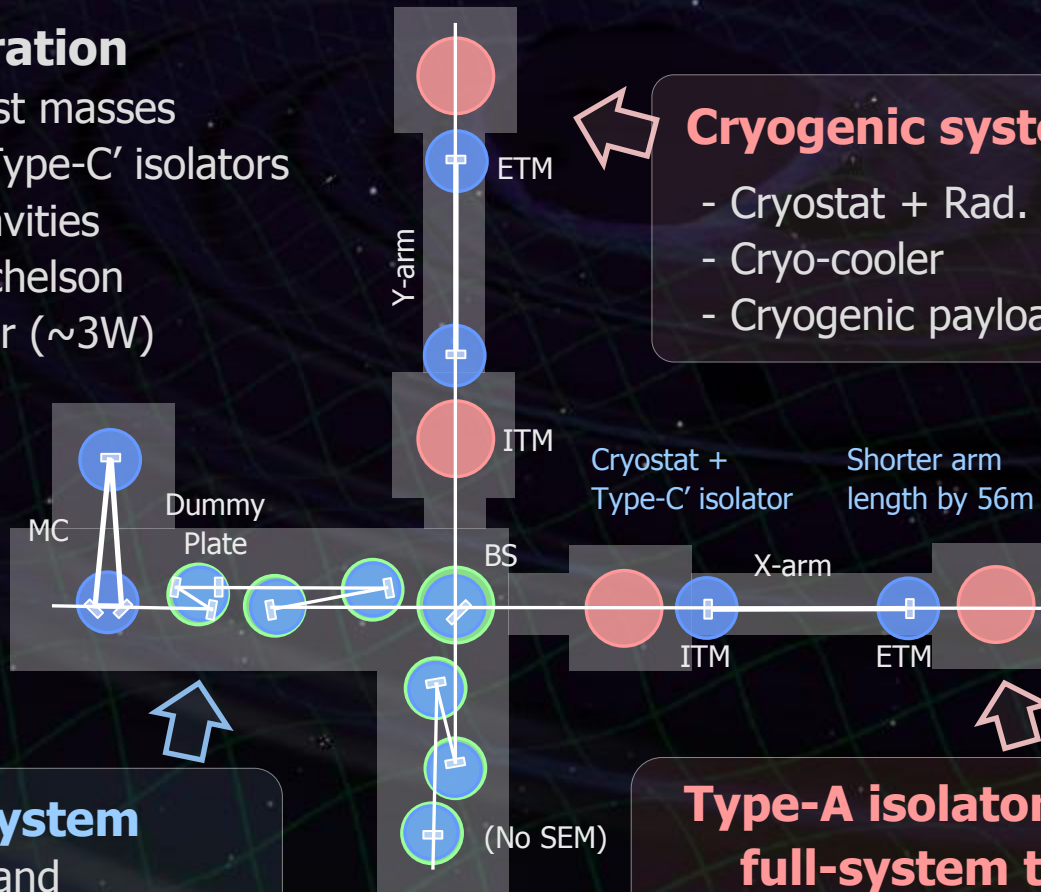
LCGT : **地下サイトに建設** → 2-3桁小さい常微動, 長期安定な環境.
高性能防振装置 SAS : 多段・低周波の防振装置.

LCGTスケジュール

iLCGT コミッショニング

iLCGT configuration

- Room-temp. test masses suspended by Type-C' isolators
- 2.94 km arm cavities
- Fabry-Perot Michelson
- Low laser power ($\sim 3\text{W}$)



Cryogenic system test

- Cryostat + Rad. shield duct
- Cryo-cooler
- Cryogenic payload (optional)

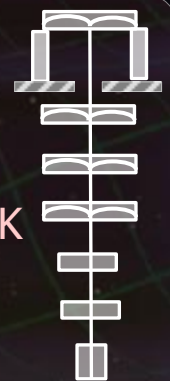
Type-C' system

- Test mass and Core optics (BS, FM,..) Silica, 10kg, 290K
- Seismic isolator Stack + Type-B Payload



Type-A isolator full-system test

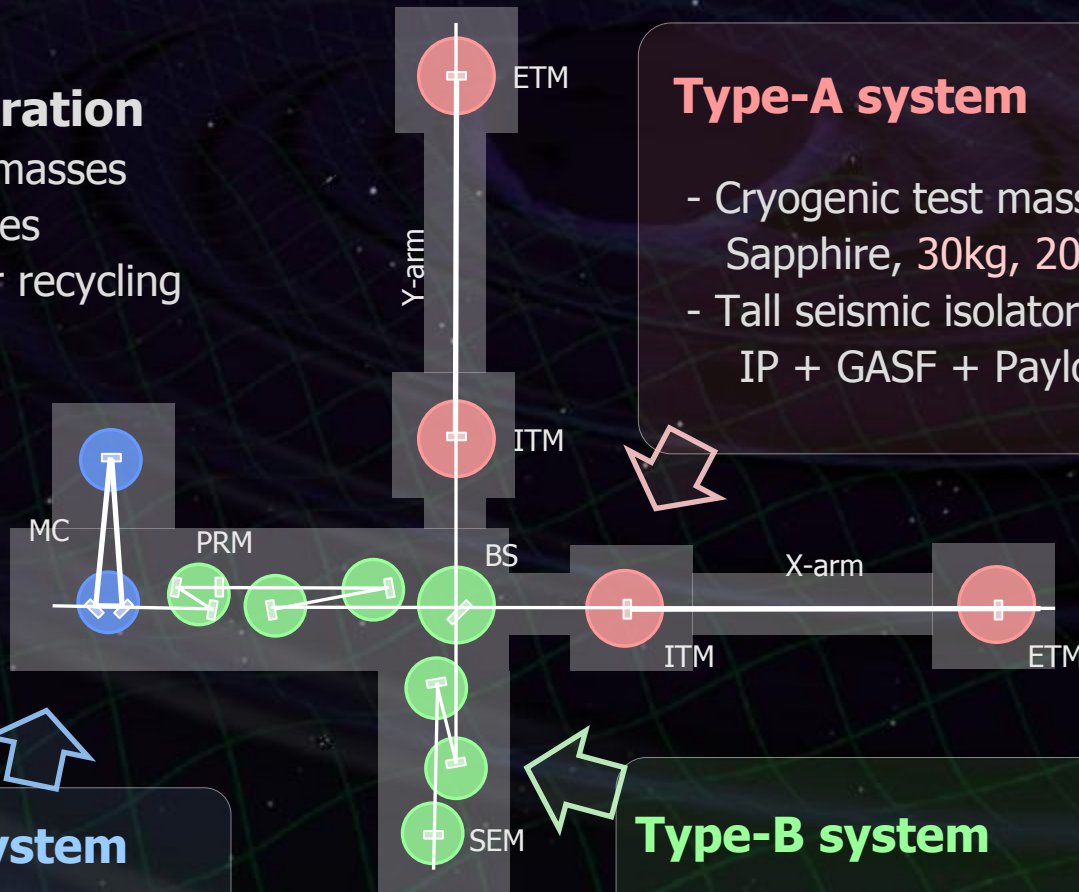
- Room-temp. test Sapphire (?), 30kg, 290K
- Tall seismic isolator IP + GASF + Payload



bLCGT 干涉計構成

bLCGT configuration

- Cryogenic test masses
- 3 km arm cavities
- RSE with power recycling



Type-A system

- Cryogenic test mass
Sapphire, 30kg, 20K
- Tall seismic isolator
IP + GASF + Payload



Type-C system

- Mode cleaner
Silica, 1kg, 290K
- Stack + Payload



Type-B system

- Core optics (BS, RM, ...)
Silica, 10kg, 290K
- IP + GASF + Payload
- Stack for aux. optics

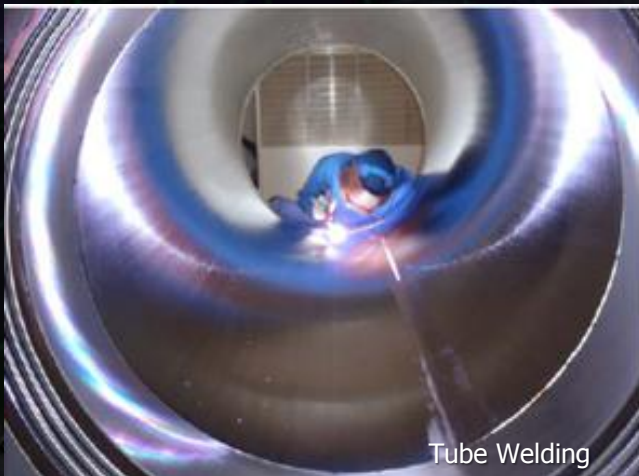
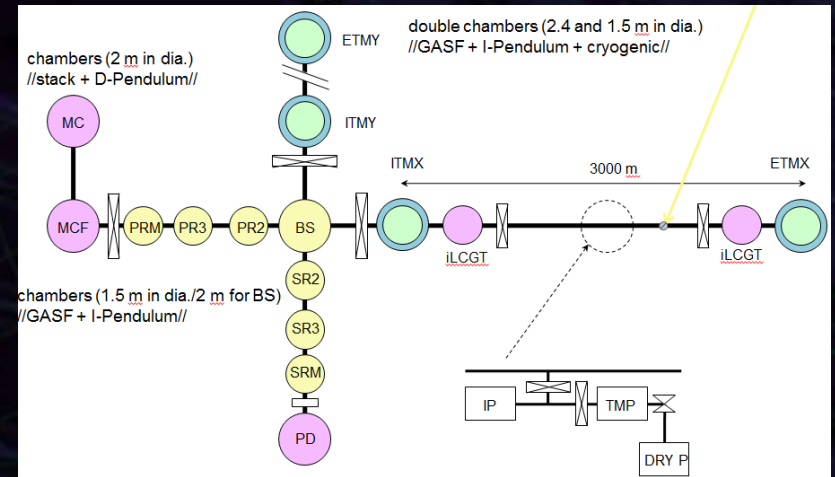


真空系

・真空ダクト

長さ 12m, $\Phi 80\text{cm}$ のダクトを500本接続.

- 最初の120本を製作開始.
24か月ですべてを製作予定.
- 乾燥空気を密封
→ 廃線になった鉄道トンネルに保管.



干渉計方式

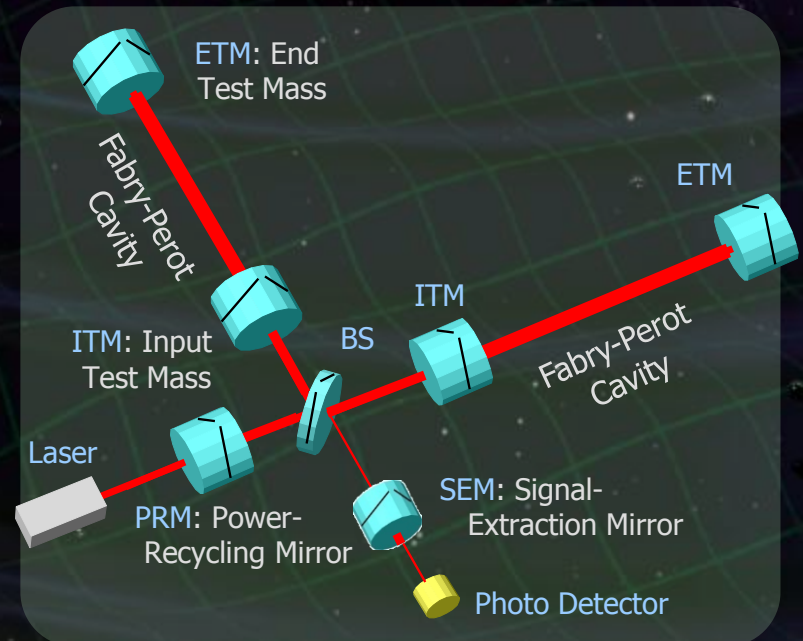
•RSE干渉計方式 (Resonant-Sideband Extraction)

マイケルソン干渉計に鏡を追加

- 腕に ITM : 基線長3kmの Fabry-Perot共振器を構成.
- 入射部に PRM : 干渉計内の光量を増大させる.
- 出射部に SEM : 干渉計ないから信号成分を取り出す.

•RSE方式の利点

- 信号のキャンセルを避けつつ、**大光量**を腕共振器に蓄えることが可能.
- 鏡基材を透過する光量を相対的に低減.
→ **鏡の冷却にとって必須.**
- 観測周波数帯が変更可能.
→ **観測対象に応じて最適化が可能.**



干渉計の開発研究

TAMA300および プロトタイプ干渉計による豊富な経験と実績.

- TAMA300の動作・長時間観測運転

- PRFPMI方式 での動作.

- **第1世代干渉計としての実績.**

- 2000-2002年 世界最高感度

- 3000時間を超える観測データの蓄積

TAMA300



- プロトタイプ干渉計によるRSE方式の研究

- NAOJ 4m干渉計, Caltech 40m干渉計

- ⇒ **RSE干渉計の安定動作の実現.**

- RSEの原理を実証.

- (信号成分の取り出し, 観測帯域の調整)

- ⇒ **RSE干渉計技術は確立されている.**

- シミュレーション等を用い, 光学設計・制御性設計進行中.

4m RSE prototype at NAOJ

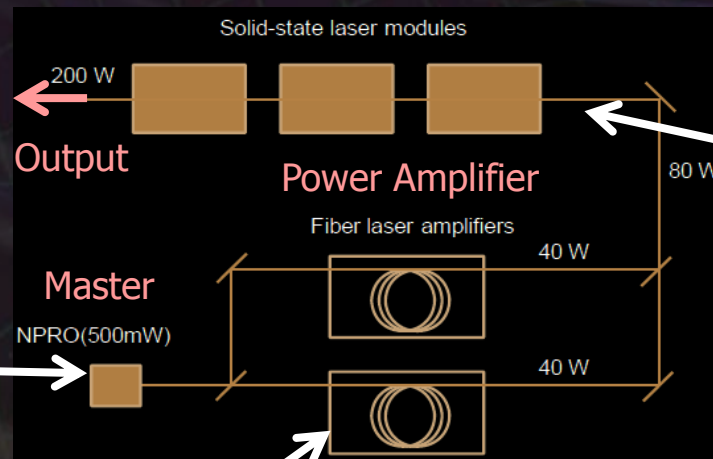
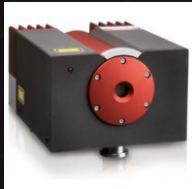


レーザー光源

干渉計内の光量を増加させるためには、
高出力レーザー光源と低光損失鏡が必要。

- LCGT用の光源：出力180WのNd:YAGレーザー
MOPA (Master Oscillator Power Amplifier) 方式

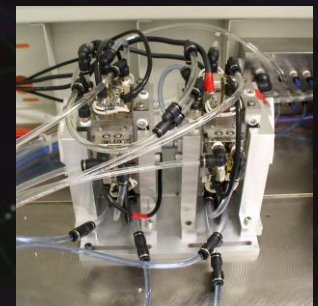
マスターレーザー
Nd:YAG, 500mW
NPRO方式固体レーザー



ファイバーアンプ
市販モジュール 40W
単モード, 偏波面保存



固体レーザーアンプ
市販モジュール 50W
側面励起方式



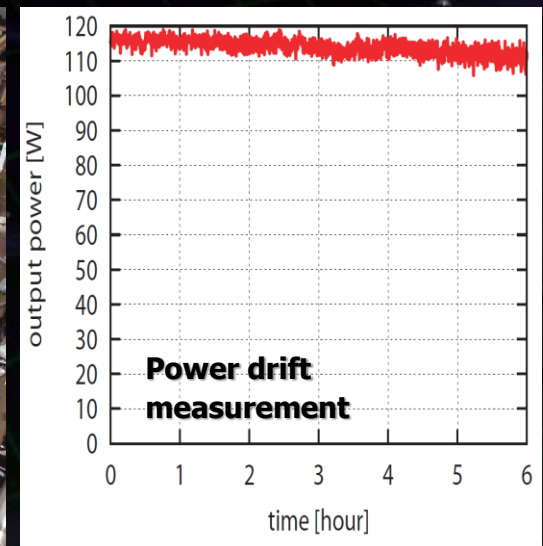
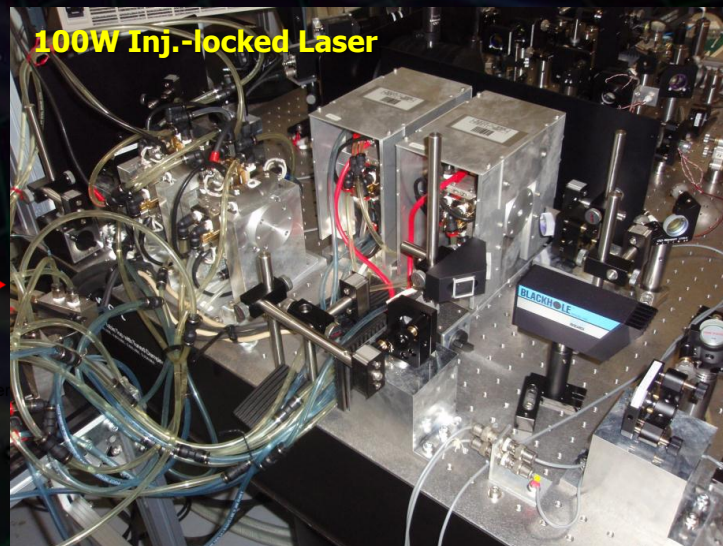
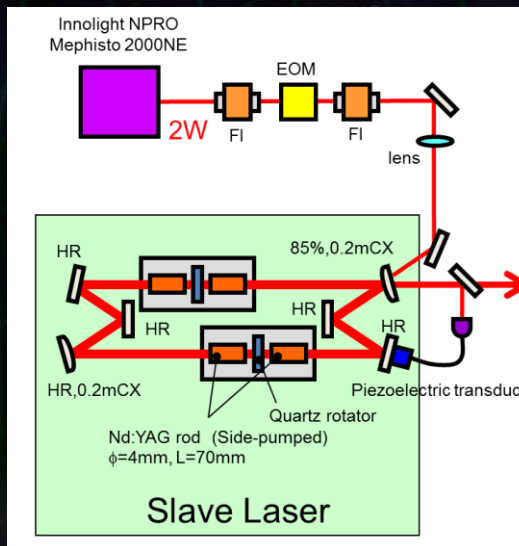
高出力光源の開発

100Wレーザープロトタイプの開発・試験 (東京大・新領域)

・固体レーザーモジュール 2台により注入同期レーザー

- 長時間安定動作を確認, 出力光の品質評価.
- 外部共振器レファレンスを用いた周波数安定化 → 要求値を満たす.
- 強度安定化実験 → 制御性を確認.

⇒ 基本特性を確認. 実機の手配進行中.



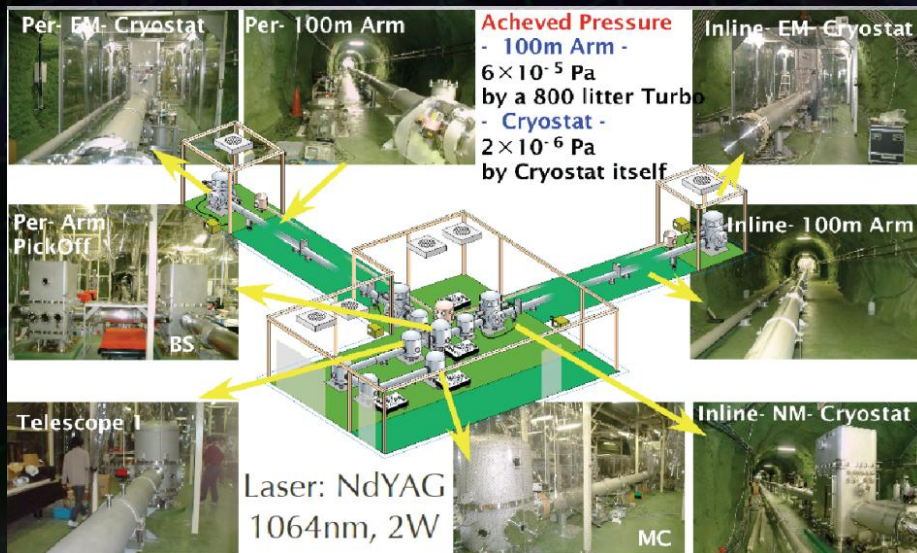
低温干渉計の動作実証

- CLIO --- 基線長100mの低温干渉計
 - 神岡の地下サイトに設置されている
 - 鏡・振り子を約16Kまで冷却した状態で動作。
サファイヤ鏡, 低温懸架装置, 低雑音冷凍機など。

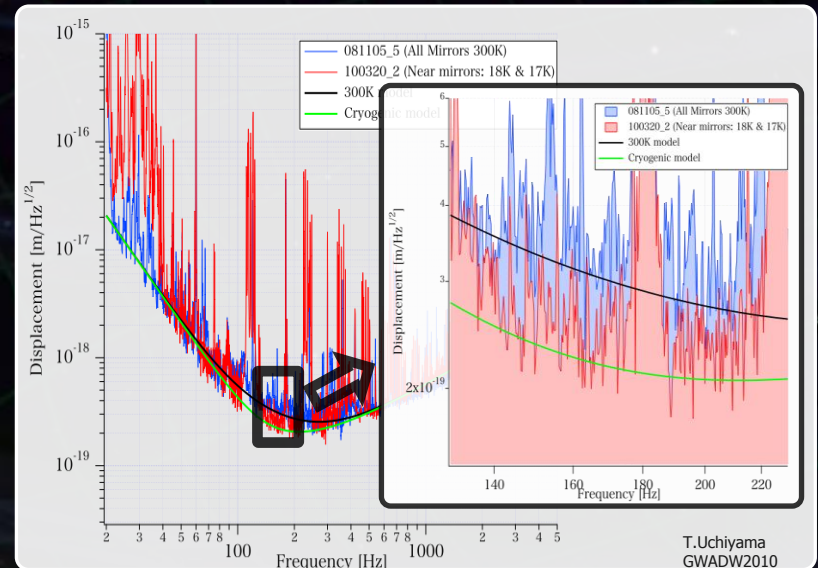
低温工学・超電導学会誌
「低温工学」7月号でLCGT特集

⇨ 冷却運転時に感度の向上を確認。
低温干渉計の動作実証を達成。

詳細は宮川氏講演にて。



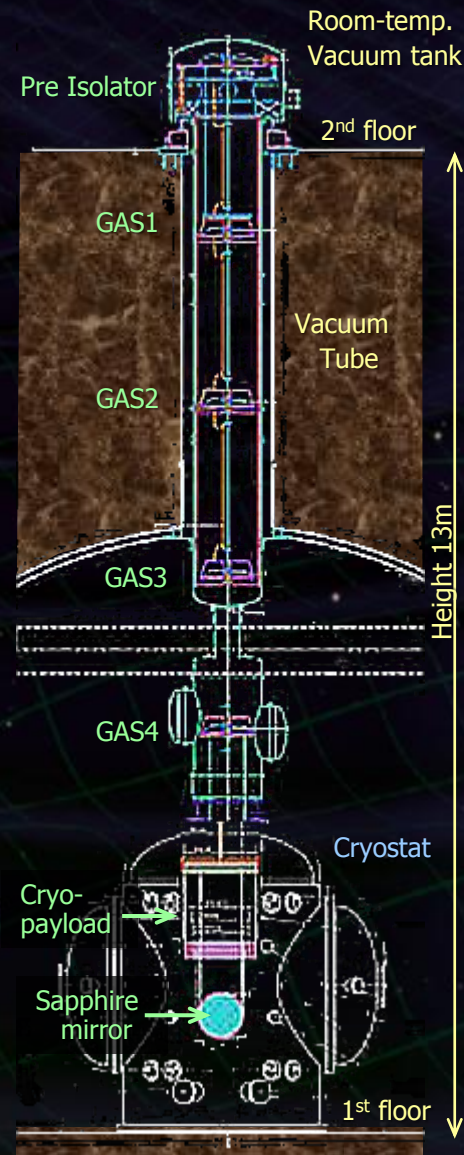
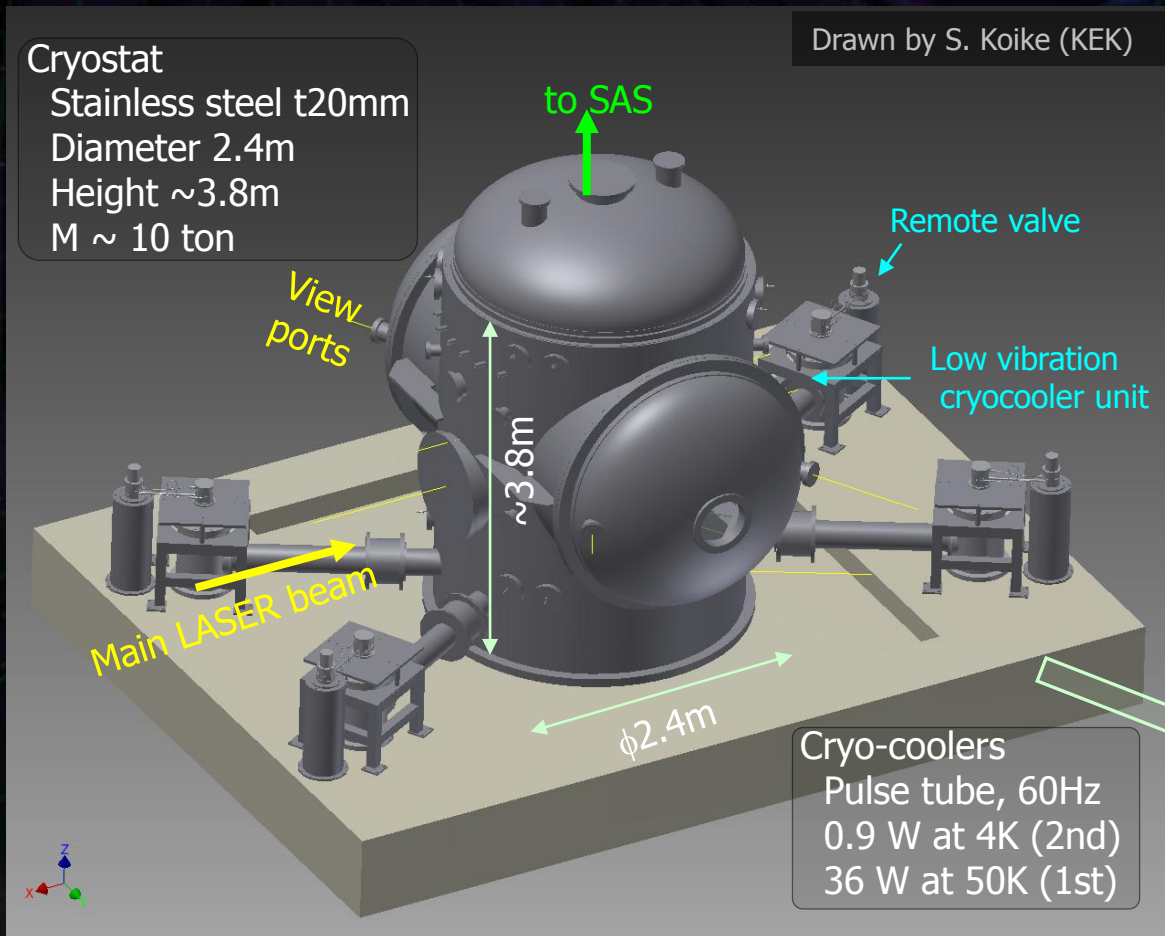
CLIO : 100-m cryogenic interferometer



T.Uchiyama
GWADW2010

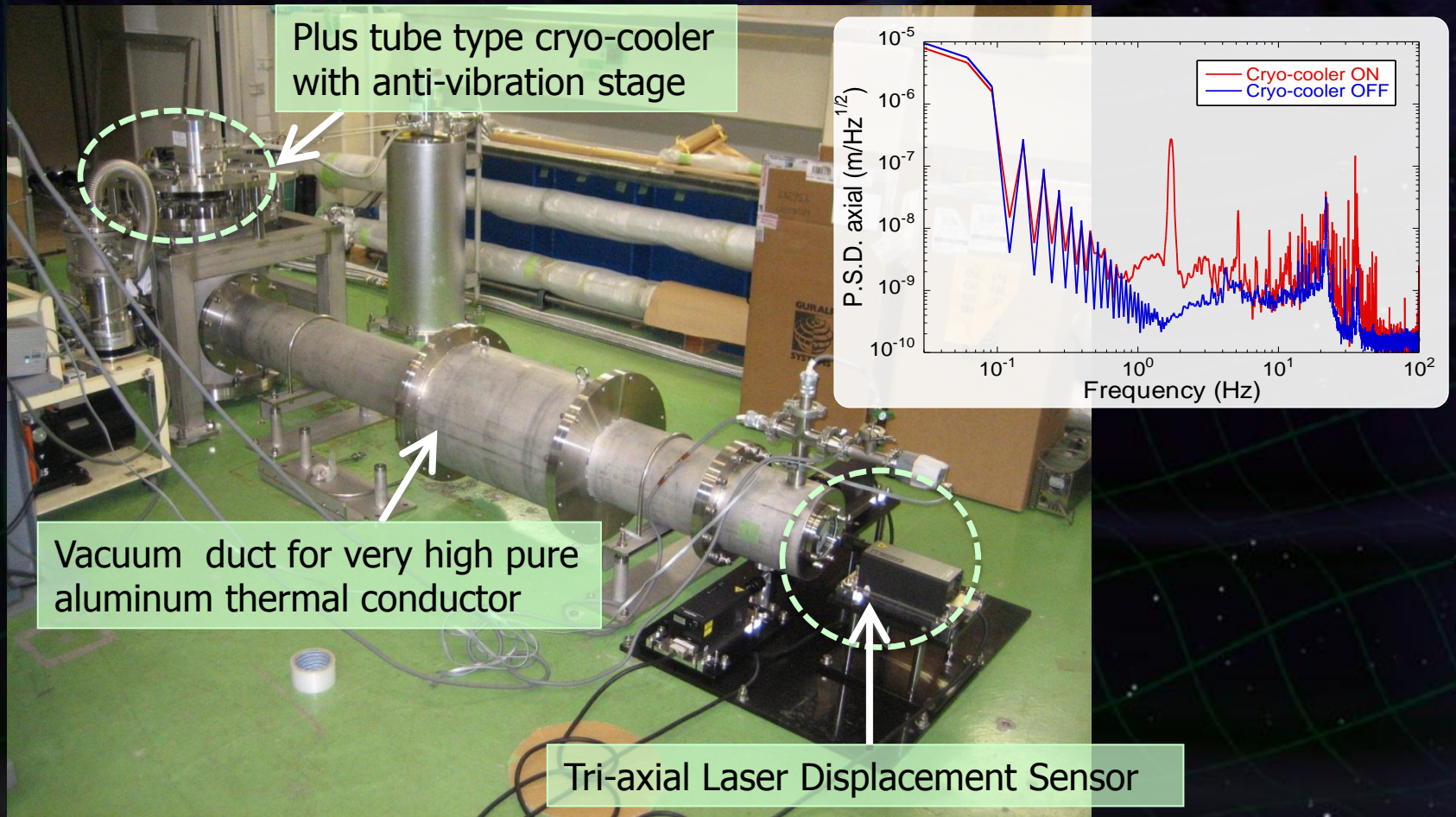
クライオスタット

- CLIO等の経験を生かして設計 (構造解析, 熱解析)
→ 2012年度中頃に1台目評価試験.



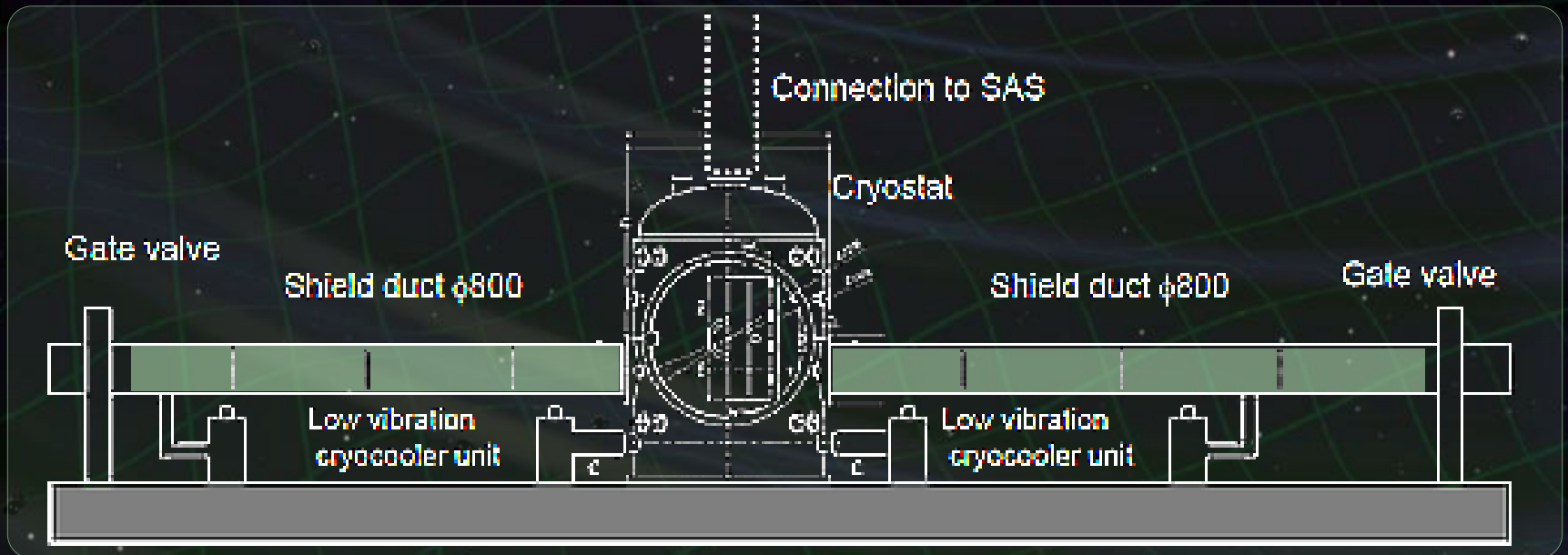
低振動冷凍機

- CLIOなどの経験・実績を生かして製作。
 - プロトタイプを用いた評価試験進行中 (KEK)
 - 冷却能力, 伝熱系を含めた振動など.



シールドダクト

- 光軸方向 (3kmダクト部) からの熱流入を低減するための輻射シールド.
 - CLIOを用いた評価結果をもとに設計.
 - バッフル・シールド内面処理などの詳細検討進行中.
 - シミュレーション等による評価 (ICRR).
- ⇨ 2012年度より実機試験.



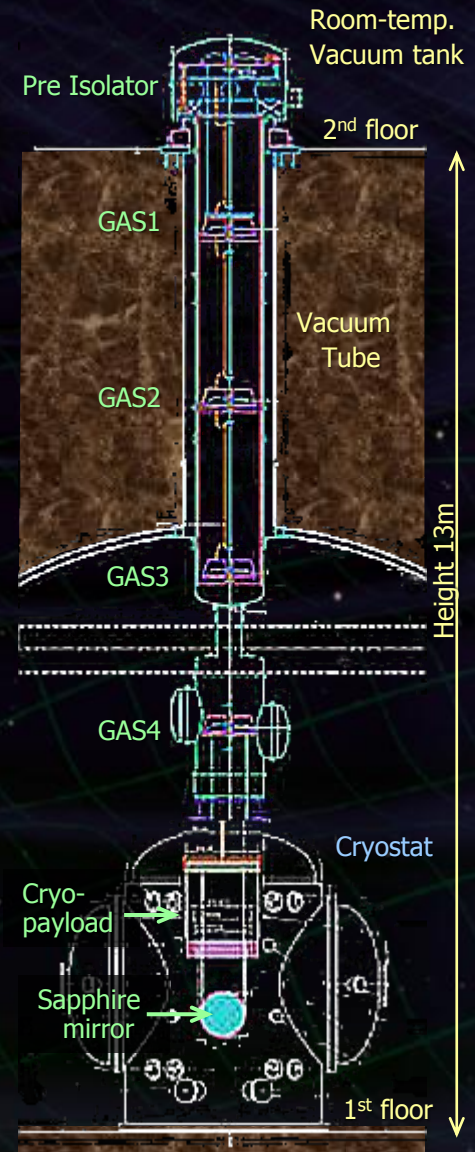
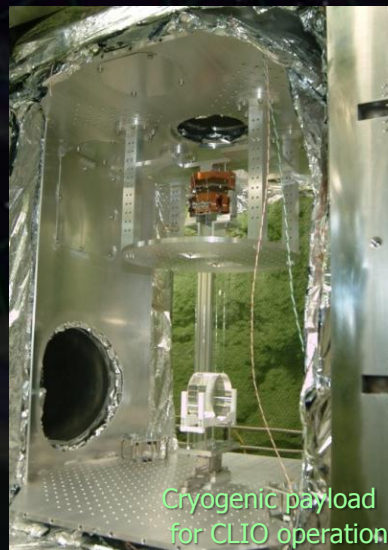
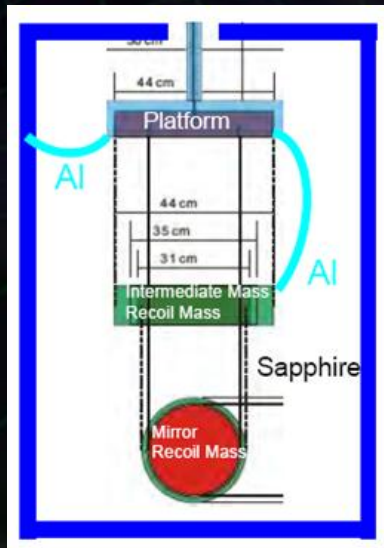
低温ペイロード

•これまでの干渉計での実績を用いて設計.

- CLIO : サファイヤ鏡, 熱伝導系の設計.
- TAMA300 : 防振特性, 制御用アクチュエータ構成.

•設計と評価試験.

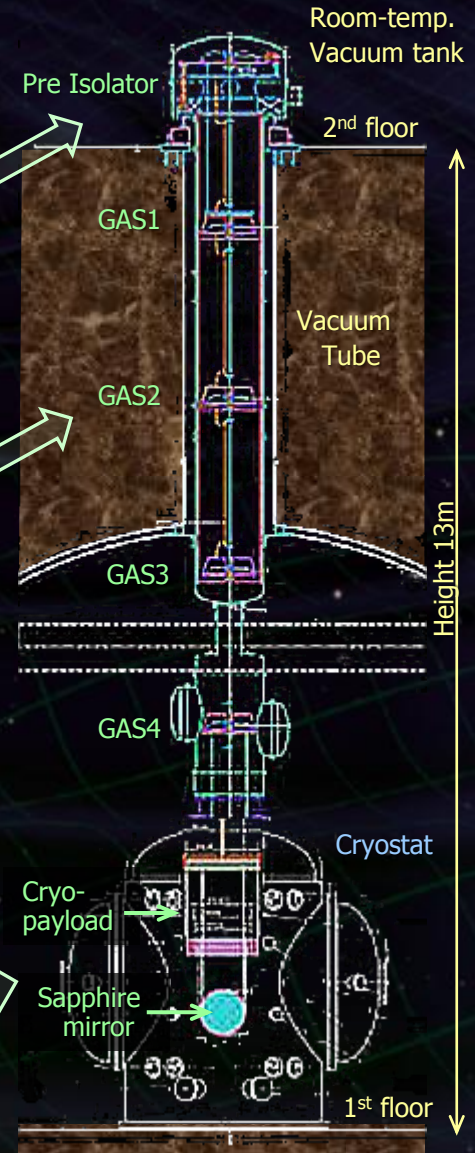
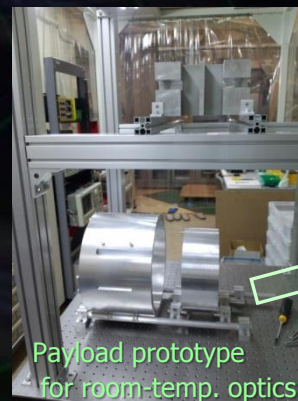
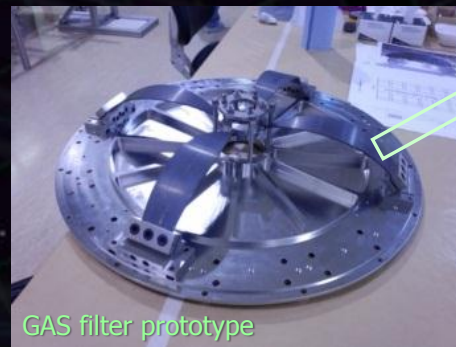
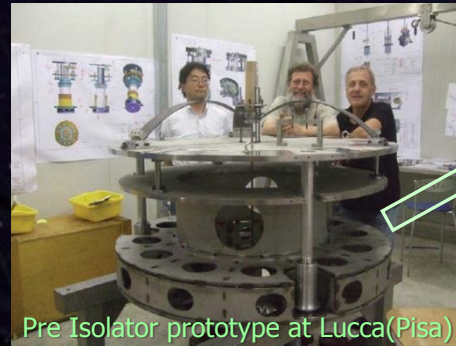
- 熱設計 – 有限要素法シミュレーション (KEK, ICRR)
- サファイヤファイバー懸架 (KEK, U-Tokyo)
- コーティングの熱雑音 (ICRR, KEK)



試験マス防振系

- TAMA300に導入された TAMA-SASをもとに設計。
→ シミュレーションにより防振性能・低周波安定性など評価。

- 構成要素のプロトタイプ試験進行中。
 - Pre-isolator (ICRR)
 - 常温ペイロード (NAOJ)



• 2012年度よりTAMAサイトで Type-B SAS 防振系 (常温用) の総合プロトタイプ試験.

干渉計制御・データ取得系

・デジタルシステム

- 干渉計の制御とデータの取得・記録.

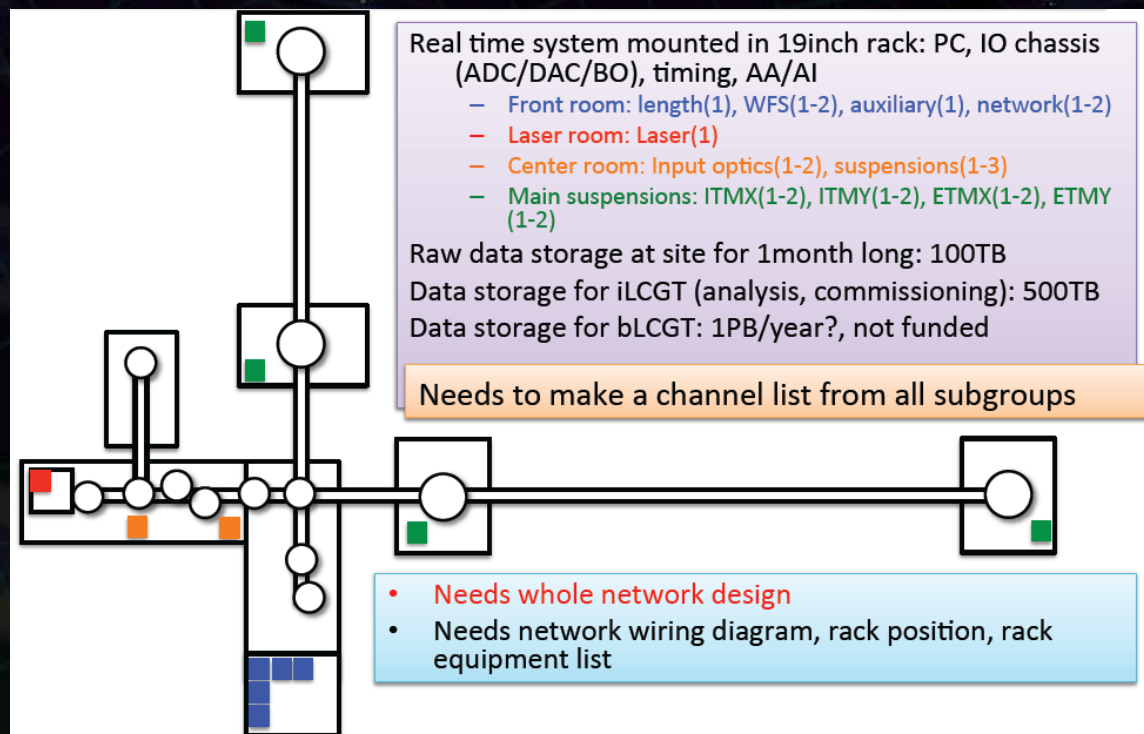
ADC/DAC, アナログフロントエンドを備えたデジタル制御系をネットワーク接続.

Fast loop : 16 kHz, 64channel

- aLIGOと同等のシステム

→ LIGOの協力のもとCLIOで実証試験.

今年度中に5セットを調達.

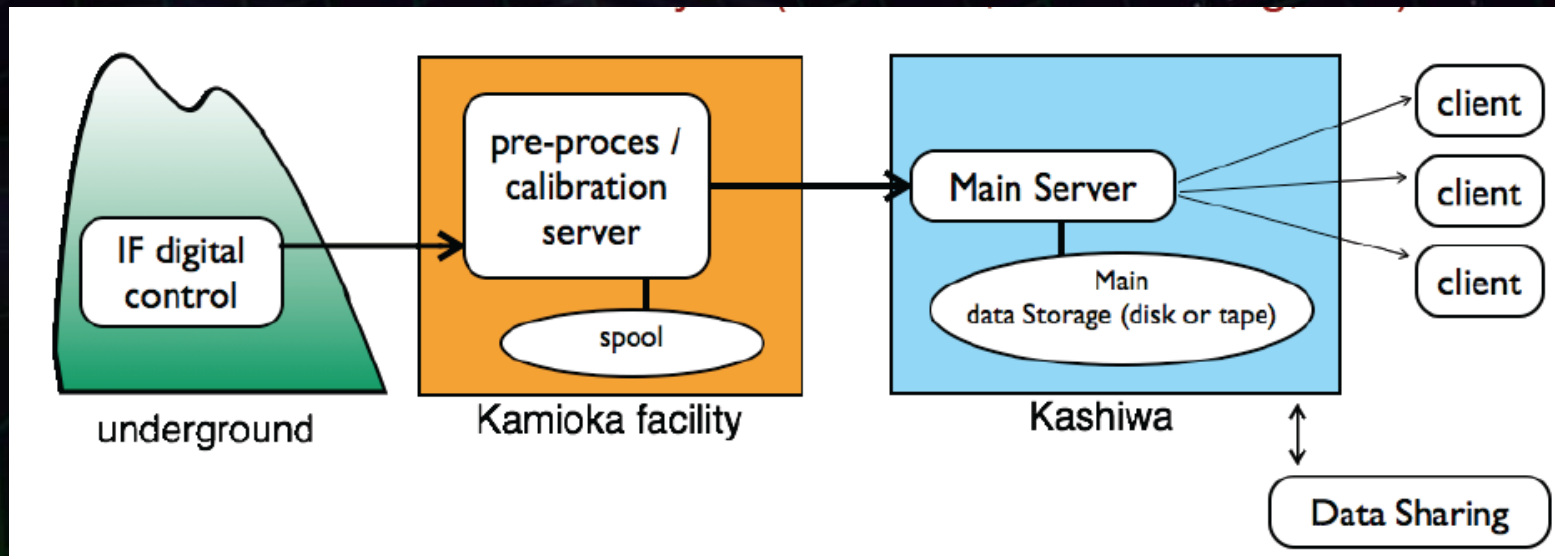


データ処理・解析

•データの記録と分配

- データ取得系：干渉計制御システムと統合.
- 神岡施設で、前処理とスプール.
- 宇宙線研究所でデータの保管と解析.
- 国際協力体制については、議論中.

データレート : 70 GByte/hour
計算処理能力 : 数 TFlops.
記録容量 : 30 PByte

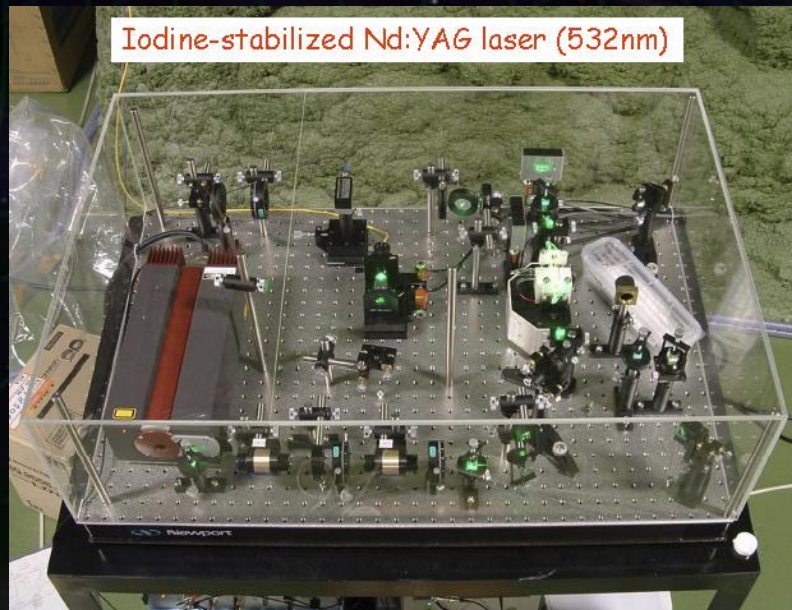


Computing platform and Network

地殻歪み干渉計

・地殻歪み観測用の干渉計型.

- LCGTの腕に沿って設置, 基線長 1.5 km
- 光源 : ヨウ素吸収線を用いて周波数安定化.
- 歪み感度 : 10^{-13}

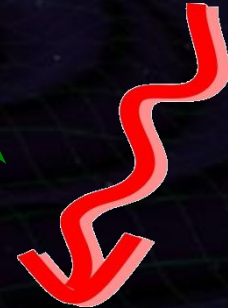


重力波の効果

重力波の効果

自由質点間の距離の変化
大きさを持った物体への潮汐力

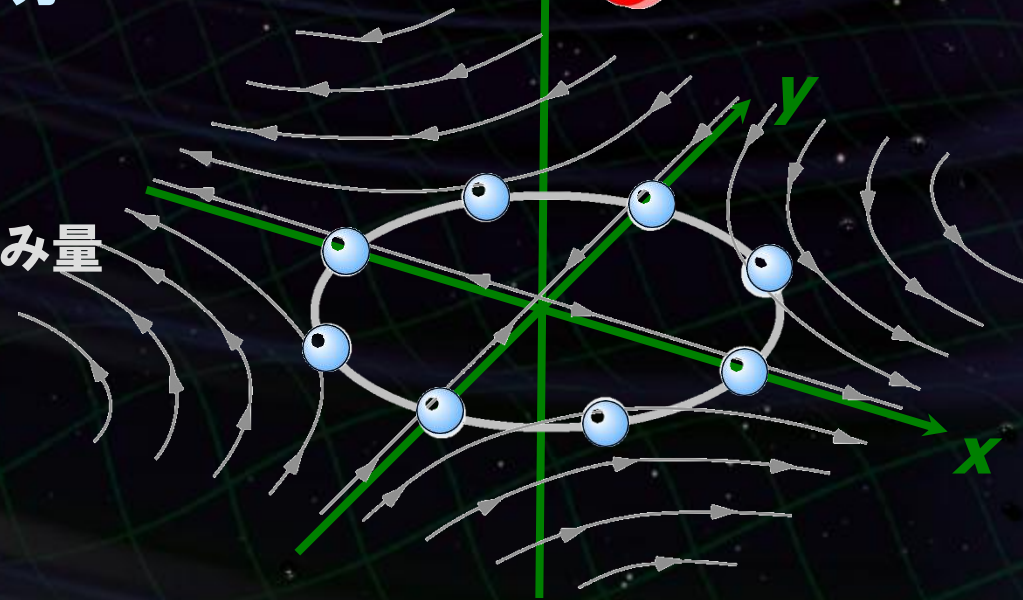
重力波



重力波の振幅 h : 無次元の歪み量

$$h = 10^{-21}$$

→ 1mの距離が
 10^{-21} m 伸縮する



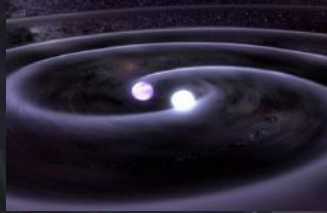
宇宙重力波望遠鏡のターゲット

宇宙重力波望遠鏡 -- 0.1mHz – 1 Hz の観測周波数帯

⇒ 中間/巨大ブラックホール, 初期宇宙

中性子星・白色矮星

連星



パルサー



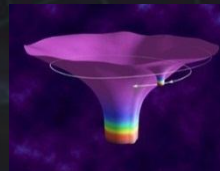
定常的・準静的な自転・公転運動

ブラックホール



巨大ブラックホールの合体

EMRI

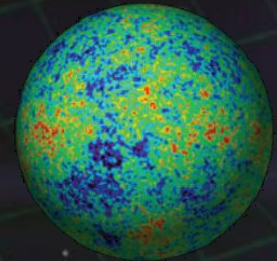


準固有振動

初期宇宙

多数天体の重ね合わせ

背景重力波



電磁波
ニュートリノ

同時観測
数値相対論

重力理論の検証

超巨大BHの形成過程
銀河形成史

宇宙論, 宇宙の誕生と発展
ダークエネルギー・ダークマター

TAMA300 と CLIO

TAMA300 (1995~)

基線長300mの 重力波検出器

銀河系内を見渡せる感度
(世界最高感度 2000-2002年)

他の干渉計に先駆けた観測運転
(3000時間を超える観測データ)

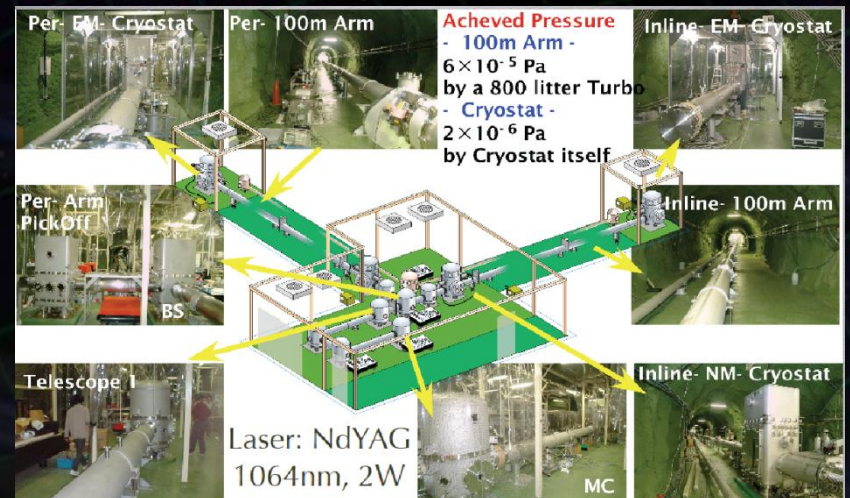


CLIO (2002~)

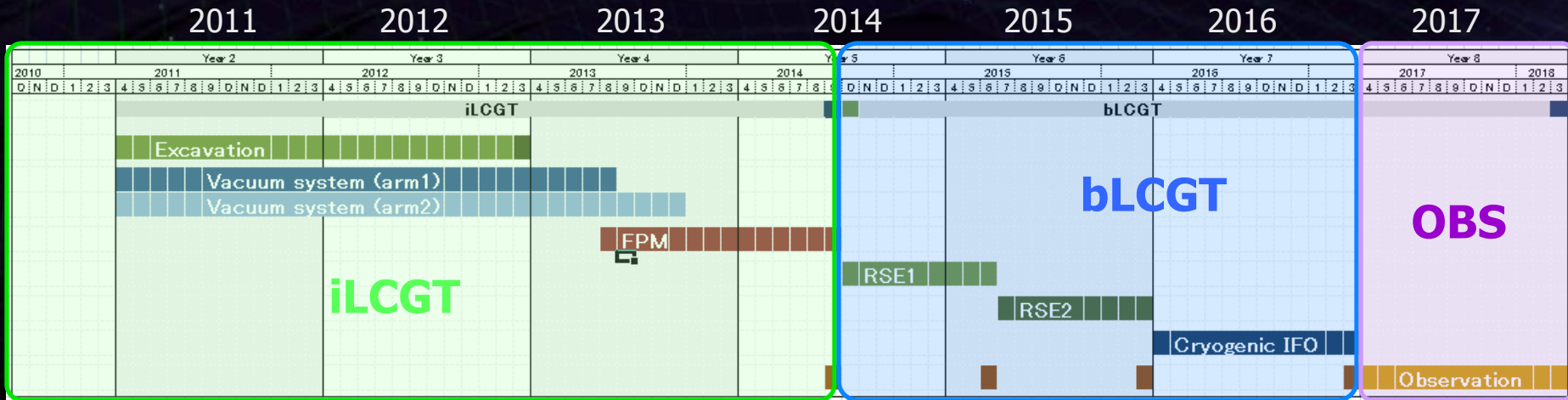
基線長100mの
低温・地下レーザー干渉計

地下環境を生かした安定な動作
20K以下の低温での動作

→ 冷却による感度向上を確認



Schedule



iLCGT laser preparation

Installation and operation

bLCGT laser operation

Half-cryogenic operation

Full-cryogenic operation

Observation and tuning

Room-temperature IFO commissioning

iLCGT commissioning

RSE implementation

Cryostat + Cryo-payload Prototype test

Cryogenic full system installation and shakedown

Observation runs

• Step-by-step commissioning plan

- Observation or engineering run is planned at each step.
 - Test of full detector system including a data-processing.
 - Detector characterization on long-term stability.
 - Development of data-analysis pipelines.

Observable range for NS binary inspiral

Fundamental noise limit

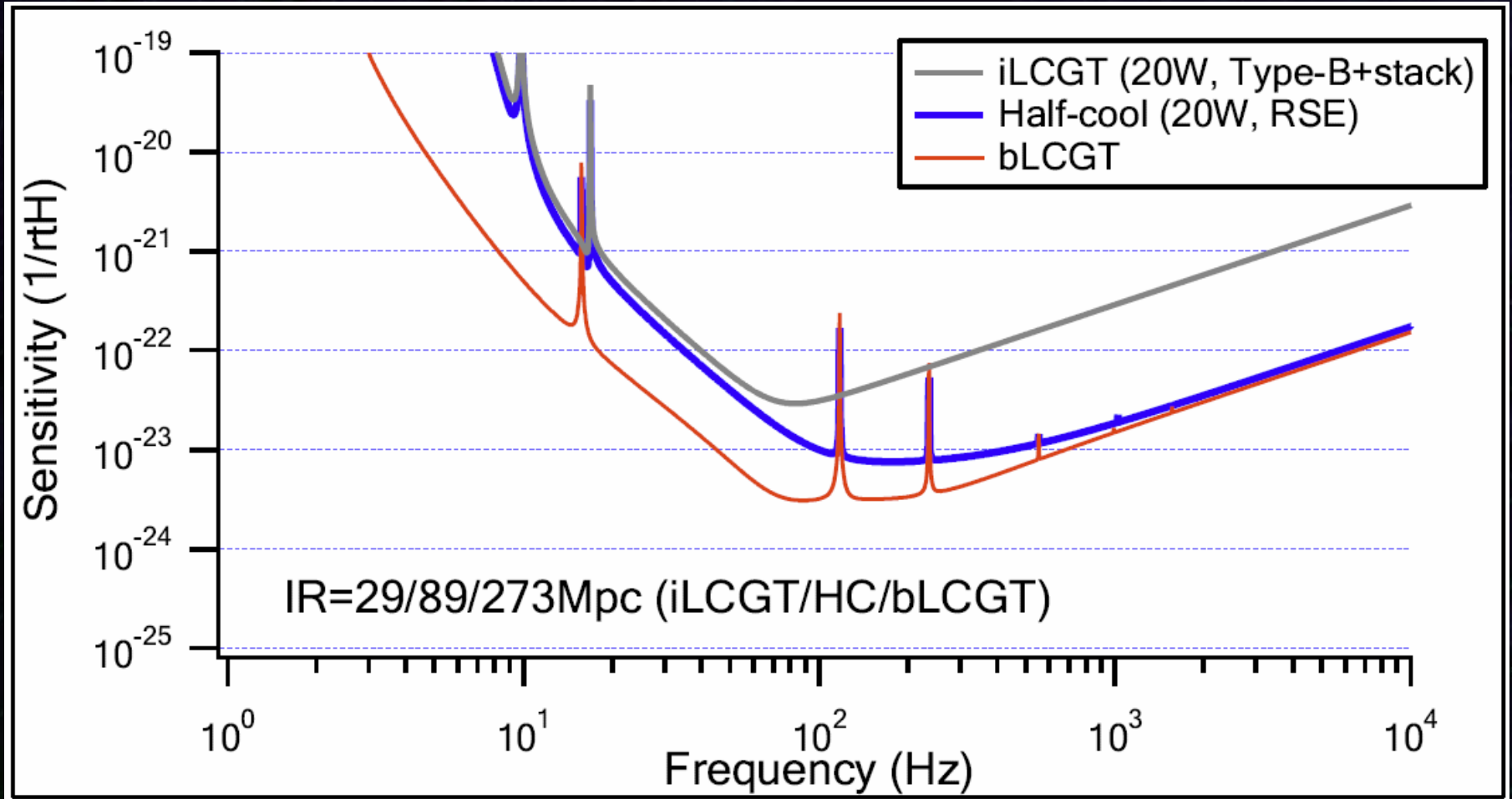
iLCGT	29 Mpc	FPM, Low power, 10kg Silica, Temp: 300K
Half cryogenic	89 Mpc	RSE, Low power, 10kg Silica, Temp: 20K + 300K
Final bLCGT	273 Mpc	RSE, High power, 30kg Sapphire, Temp: 20K

(Source at optimal direction, Threshold : SNR 8)

• Tight schedule

- First priority is to operate LCGT with the final configuration.
- Refrain from spending too much time for the intermediate runs.

Sensitivity



By K.Somiya

国際協力

複数台での同時観測の意義

(Ad. LIGO, Ad. VIRGOとの同時観測)

天文的な意義

天球のカバー ← 干渉計は弱い指向性を持つ

検出された場合 --- 天文的情報の取得

波源の位置, 偏波 の情報の取得

→ 最低3台, 指向性を考慮するとさらに必要

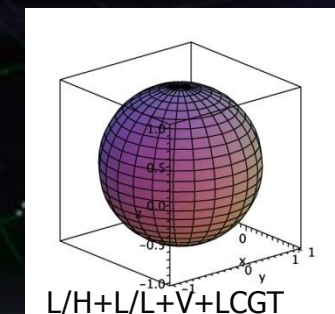
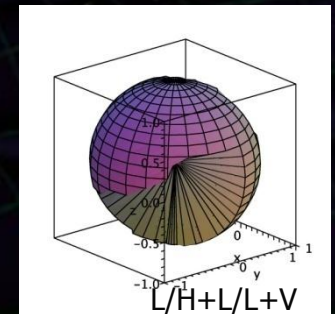
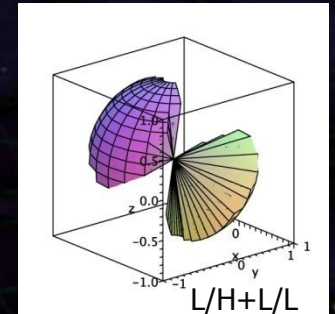
実際上の意義

重力波信号は微弱

→ 多くの Fake event が現れる

複数台での同時検出

→ 検出の信頼度の向上, 偽イベントの除去



Network Observation

Network of multiple GW detectors

- Detection

 - Increase : Detection rate, Detection volume, Sky coverage.

 - Reduce : Fake events, Event-detection threshold.

- Astrophysics

 - Increase : Sky position precision of the source,
Waveform reconstruction.

Multi-messenger astrophysics

GW source can be central engines of high-energy phenomena

Stellar core collapse, compact binary merger, pulsar,

→ Coordinated observation with other telescopes

Gamma-ray, X-ray, optical/IR, Radio, Neutrino,

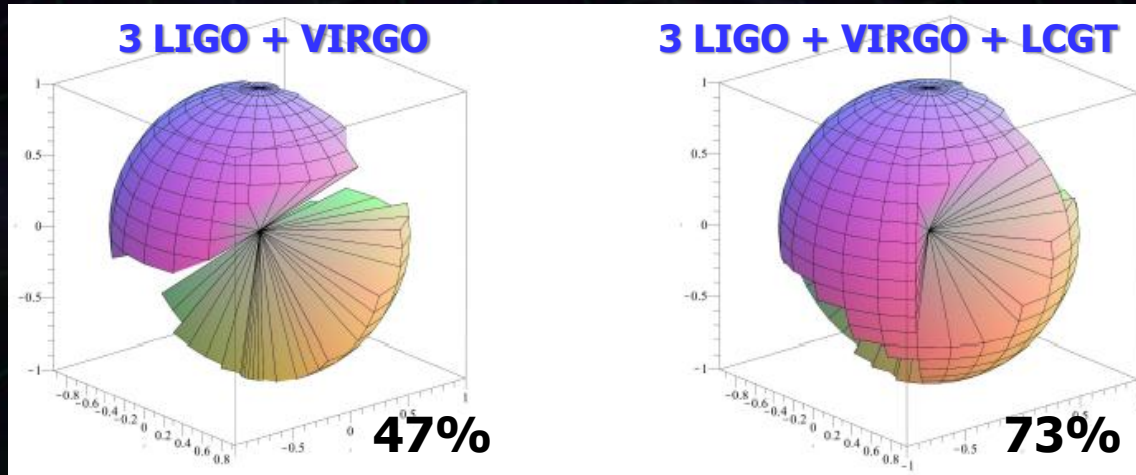
- Triggered search: Other obs. → GW search

- Follow-up search: GW detection → Other telescopes

Increase of detection rate

Increase detection probability

- Increase of sky and time coverage.
- Decrease of fakes by coincidence analysis.
 - Increase the detection probability



Sky-coverage pattern
(0.707 of max. range)

B.Schutz
arXiv:1102.5421

Network Observation

LCGT will be one of key stations in the world-wide observation network

- Detection

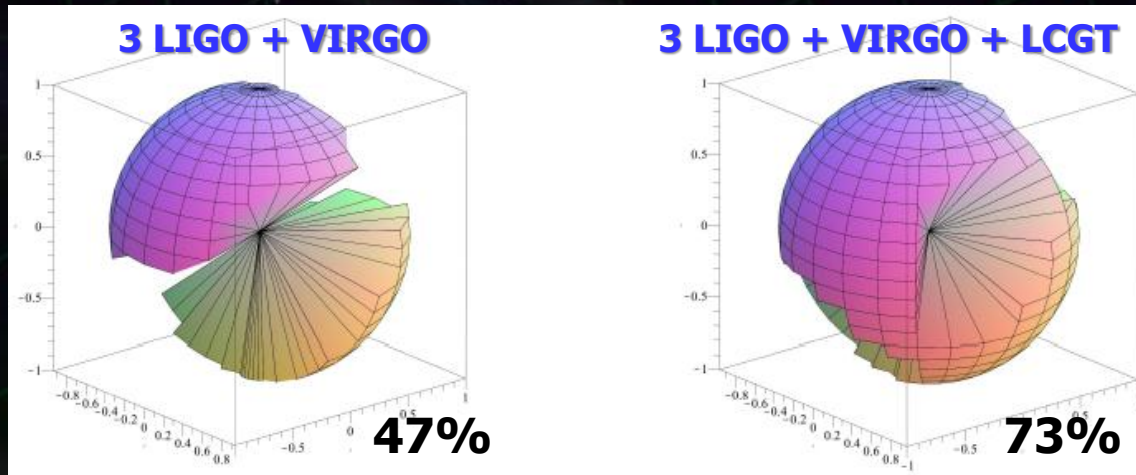
Increase : Triple-detection rate, Detection volume.

Reduce : Fake events, Event-detection threshold.

- Astrophysics

Increase : Sky coverage, Directional precision.

Waveform reconstruction.



Sky-coverage pattern
(0.707 of max. range)

B.Schutz
arXiv:1102.5421

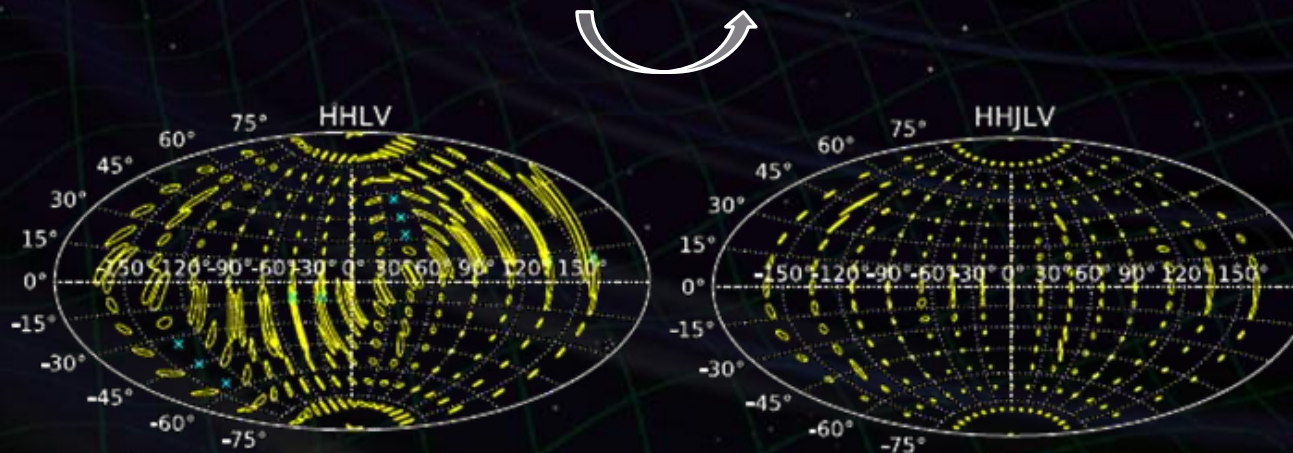
Parameter estimation

Angular resolution for the source

By H. Tagoshi

	LHV	LHVJ	LHVA	LHVJA
average of $\delta\Omega$ [Deg ²]	34.4	7.26	4.20	2.78
median of $\delta\Omega$ [Deg ²]	10.8	3.54	2.20	1.46

H: LIGO--Hanford
L: LIGO--Livingston
V: Virgo, J: LCGT
A: LIGO--Australia



S.Fairhurst
CQG 28(2011) 105021

Adding LCGT to (aLIGO + adv. VIRGO) network
→ Factor $\sim 3-4$ improvement in sky area

Why LCGT?

One of key observatories in global network

Increase detection rate and scientific outcomes

Advanced technologies

Advanced technologies used for 3rd-generation detectors.

Cryogenics, underground site

→ LCGT is considered as a 2.5-generation detector.

Conclusion



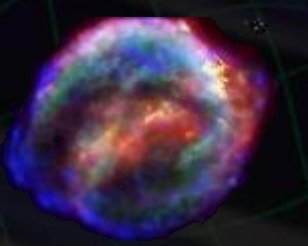
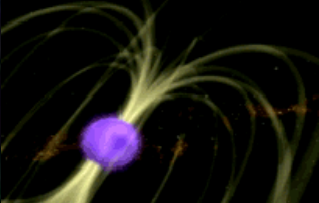
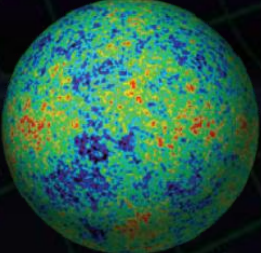
LCGT project has started. But we have serious problems in our country.

We will do our best for life of people and science.

**We already receive kind supports.
We greatly appreciate them!**

Backups

GW targets and data analysis

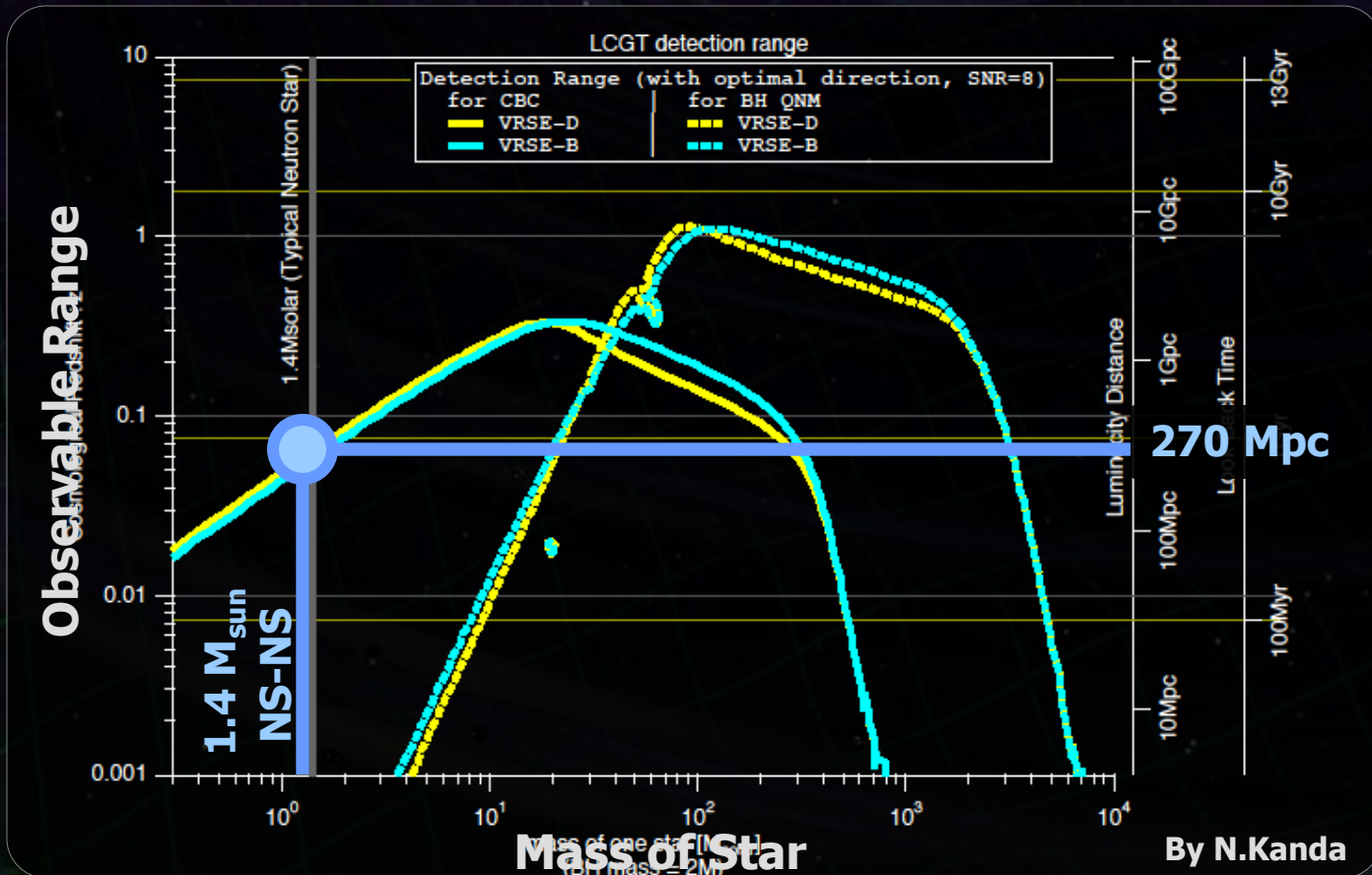
		Signal duration	
		Short (bursts)	Long (stationary)
Waveform	Known	 <p>Binary merger → Chirp wave, Ringdown wave</p>	 <p>Pulsar, LMXB → Continuous</p>
	Unknown	 <p>Stellar core collapse → burst wave</p>	 <p>Soft gamma-ray repeater</p>  <p>Stochastic background → Random wave</p>

Observable range

Primary purpose of LCGT : Detection of GW

→ First target : Neutron-star binary inspirals

⇒ Obs. Range 270Mpc (SNR=8, Optimal sky pos. an pol.)



LCGTの観測確率

第一目標: **連星中性子星合体**からの重力波の検出

観測レンジ

Sensitivity curve → 120 Mpc (SNR 8, 天球上の位置・偏波平均)

銀河の個数密度:

$$\rho = 1.2 \times 10^{-2} \text{ [Mpc}^{-3}\text{]}$$

R. K. Kopparapu et.al.,
ApJ. 675 1459 (2008)

銀河あたりのイベントレート:

$$\mathcal{R} = 83.0^{+209.1}_{-66.1} \text{ [events/Myr]}$$

V. Kalogera et.al.,
ApJ, 601 L179 (2004)



LCGTの観測レート **6.9 events/yr**

その他: 超新星爆発, パルサー, 背景重力波

Detection rate of LCGT

Neutron-star binary inspirals events

Observable range

sensitivity curve \rightarrow 270 Mpc

Galaxy number density :

$$\rho = 1.2 \times 10^{-2} \text{ [Mpc}^{-3}\text{]}$$

R. K. Kopparapu et.al.,
ApJ, 675 1459 (2008)

Event rate :

$$\mathcal{R} = 118_{-79}^{+174} \text{ [events/Myr]}$$

V. Kalogera et.al.,
ApJ, 601 L179 (2004)
Kim et al. (2008)



LCGT Detection rate 9.8 events/yr

成功確率

1年間の観測で、少なくとも1回以上
重力波を検出できる確率: **99.9%**

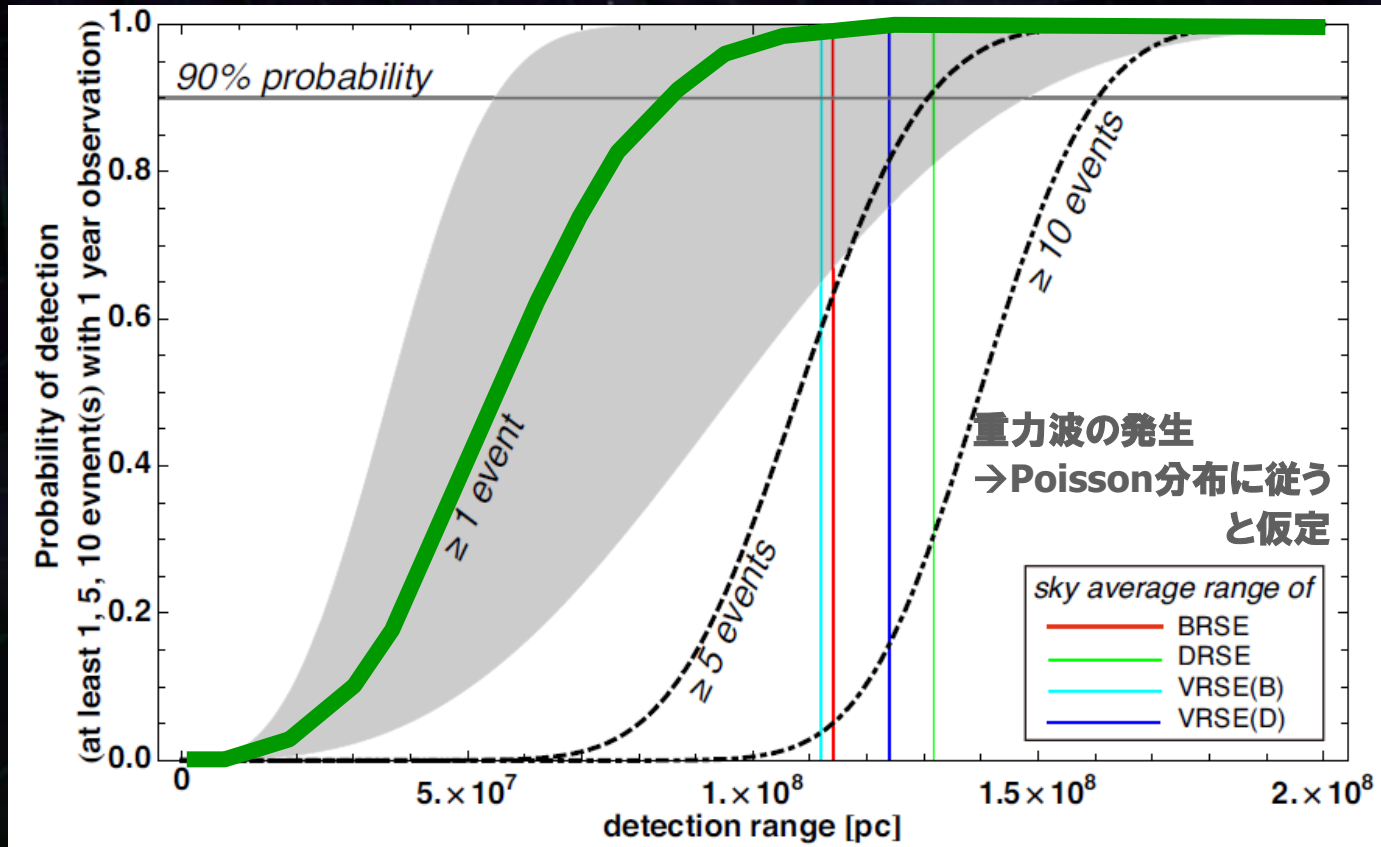


Figure
N.Kanda

TAMA300 and CLIO

TAMA300 (1995~)

GW detector with a baseline of 300m

Sensitivity to cover our galaxy
(World best in 2000-2002)

Earlier observation runs
(Obs. data over 3000hours)



CLIO (2002~)

Cryogenic interferometer (Kamioka)
with 100m baseline length

Stable operation taking
advantage of underground site

Cryogenic operation below 20K
→ Improved sensitivity

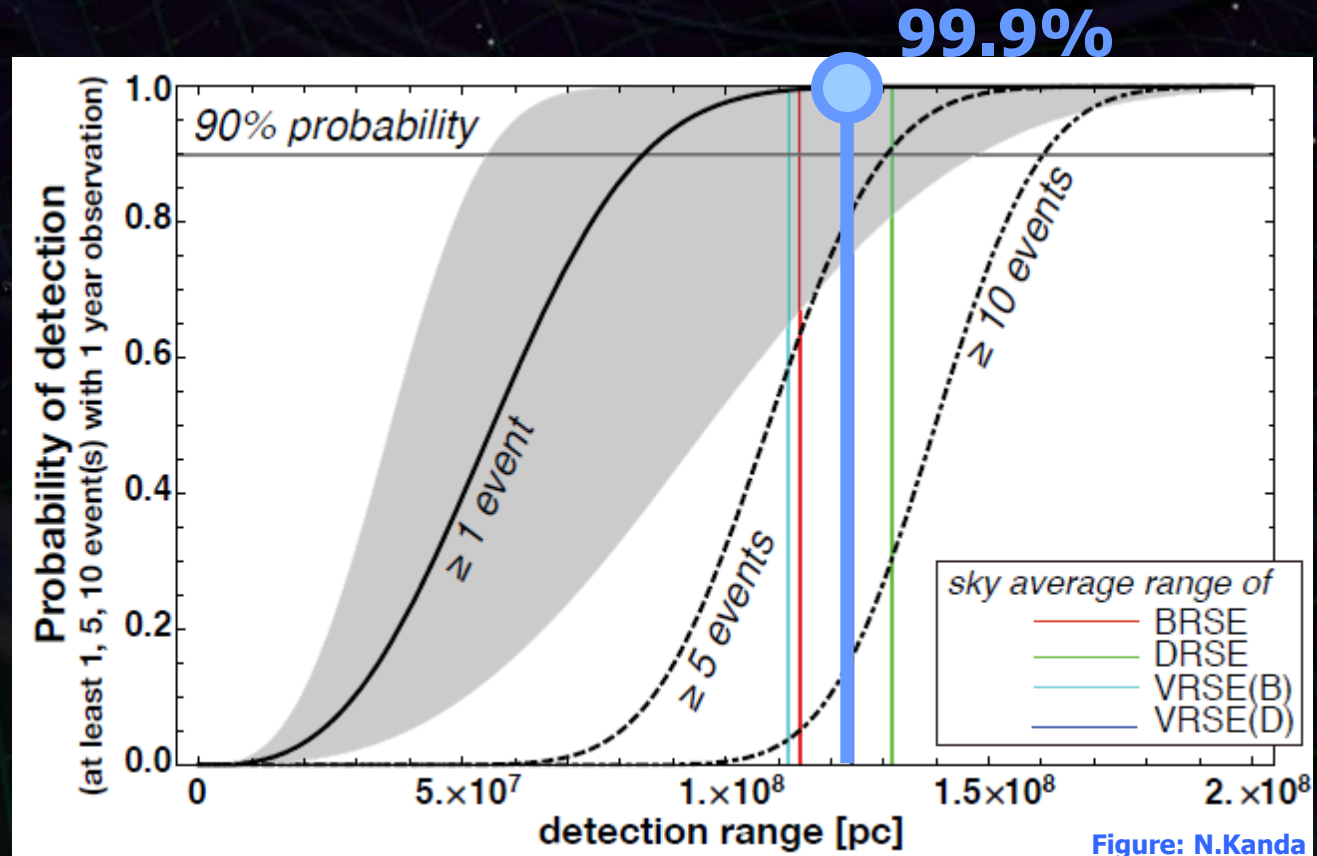


Detection probability

Probability to detect
at least one event
in one-year observation



Success probability
of the LCGT project



Assume
Poisson distribution

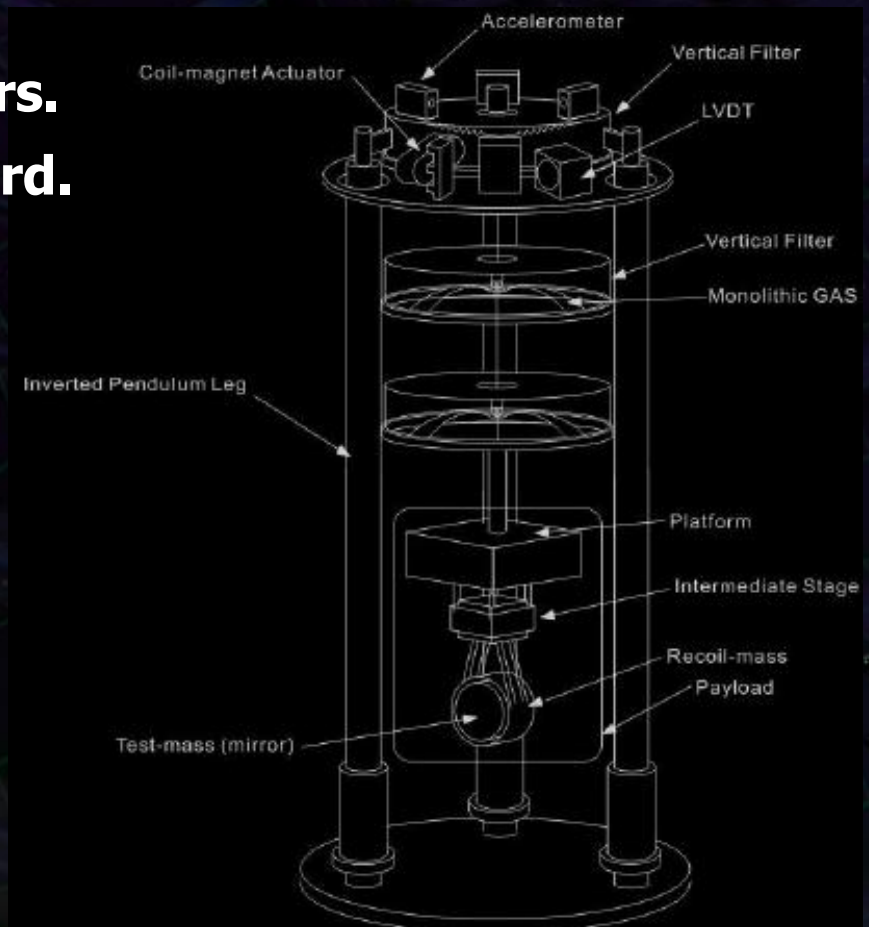
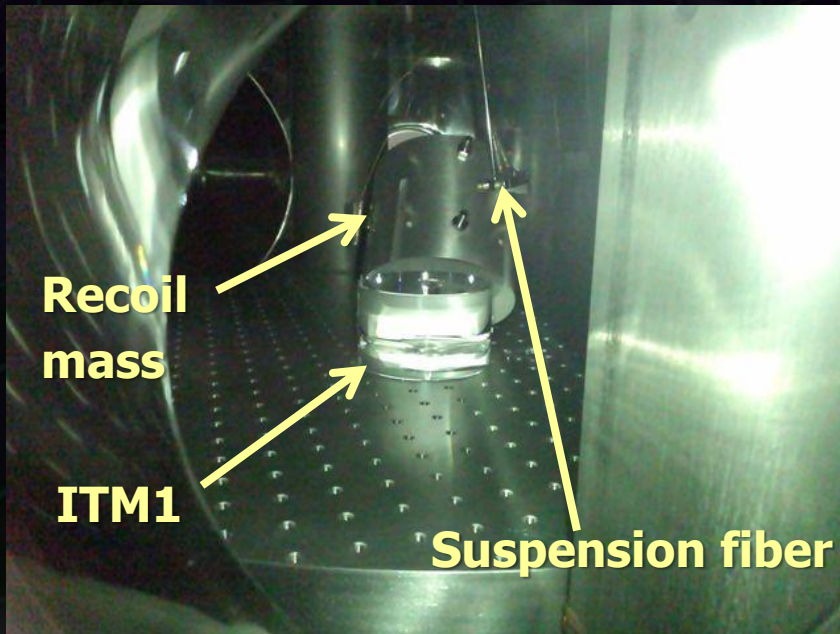
Figure: N.Kanda

- **CLIO** (Kamioka, Gifu ~500km away from epicenter)
- Two people (Miyakawa, Saito) were working at CLIO site.
→ did not notice the shake.
- MC couldn't be kept locked more than a few seconds. This condition continues >1 hour.
- No serious damages: mirror, suspension, cryostat system, vacuum system.
- Small misalignment in suspended optics.



• **TAMA (NAOJ, Tokyo ~400km away from epicenter)**

**Serious damages in suspensions and mirrors.
Three TMs fell onto breadboard.**



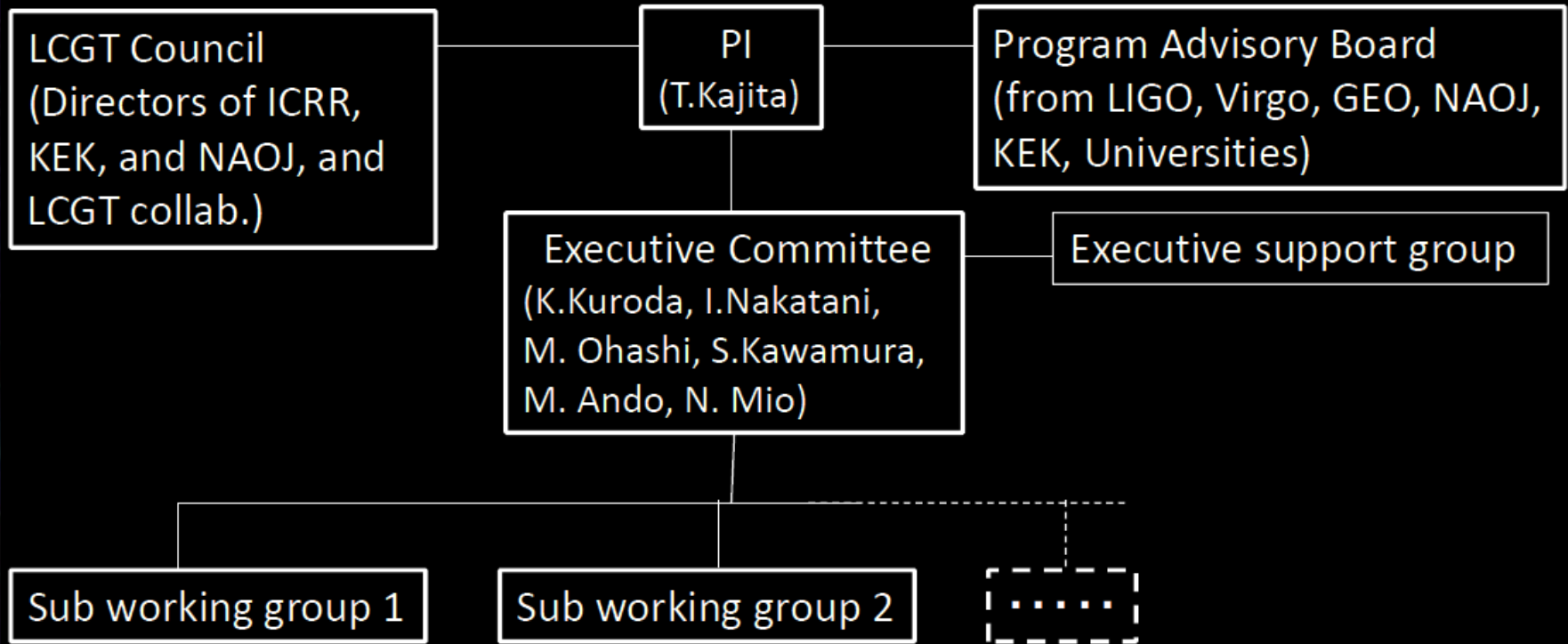
Main Concerns

Personal point of view

- **Tight schedule, under-estimated cost**
Excavation takes ~ 2 years
Short commissioning period for iLCGT
- **Vibration isolation tuning**
14 isolators needed in early period
- **Cryogenic suspension**
Coupling from vertical DoF
- **Sapphire substrate**
with good optical properties
- **Thermal noise of mirror coating**

Organization

Organization of LCGT during construction



14 subsystems

Tunnel, Facility, Vacuum, Vibration Isolation, Cryogenics, Main interferometer, Input/Output optics, Laser, Mirror, Data analysis, Digital system, Analog electronics, Detector configuration, Geophysics interferometer

Design Reviews

- **Internal review**

- Review design, schedule, etc. of each subsystem by the subsystem leaders, Ando, and Kawamura
- We had 15 internal reviews for the last three months

- **External review** ← 2/28 - 3/4, summary report 3/12

- Review design, schedule, etc. of each subsystem by external experts in the GW field
- The most important review for the technical aspects of LCGT

Special thanks to Reviewers:

M.Zucker (chair), S.Ballmer, A.Bertolini,

R.Flaminio, A.Freise, W.Johnson D.Ottaway, B.Willke

- **Program advisory board**

- Review management, progress, design, etc. of LCGT by senior (management) people in the GW and neighboring fields
- The first PAB will be held in June

International Collaborations

- with **LIGO laboratory**

Attachment agreed under existing MOU between ICRR (represents LCGT Collaboration) and LIGO laboratory.
→ Manpower, software & technique exchanged, Mirror

- with **VIRGO**

MOU with Attachment between VIRGO (EGO + Virgo Collaboration) and ICRR was signed.

- with **GEO**

MOU between ICRR and GEO people is also conceived.

- with **ET**

Collaboration with ET → Cooperative research on cryogenics and vibration isolation.

- with **SUCA (China)**

MOU between ICRR and Shanghai Normal University, SUCA is on the process of agreement.

- with **Korea**

Collaboration with Korean researchers is conceived.

By the way...

LCGT will have a new **Nickname soon...**

- **Invite candidates from the public**
 - **over 600 applications (already closed)**
- **Naming committee with 6 peoples**
 - Chair: Y. Ogawa (Novelist)**
- **Will be announced in a few month (?)**

Start of LCGT project

LCGT project was selected by
the 'Facility for the advanced researches'
program of MEXT (June 2010).

Construction cost is **partially** approved:
9.8 BYen for first 3-year construction.
(Original request: 15.5 BYen for 7 years.)

In addition, request **for excavation cost**
was almost approved.

Baseline design is **not changed**:
Requesting the additional cost for
full construction of LCGT.

Detailed Specifications

LCGT interferometer

High-power RSE interferometer with cryogenic mirrors

Resonant-Sideband Extraction

Input carrier power : $>85\text{W}$

DC readout

PRC, SEC : Folded for stability

Main IFO mirror

20K, 30kg ($\Phi 250\text{mm}$, $t150\text{mm}$)

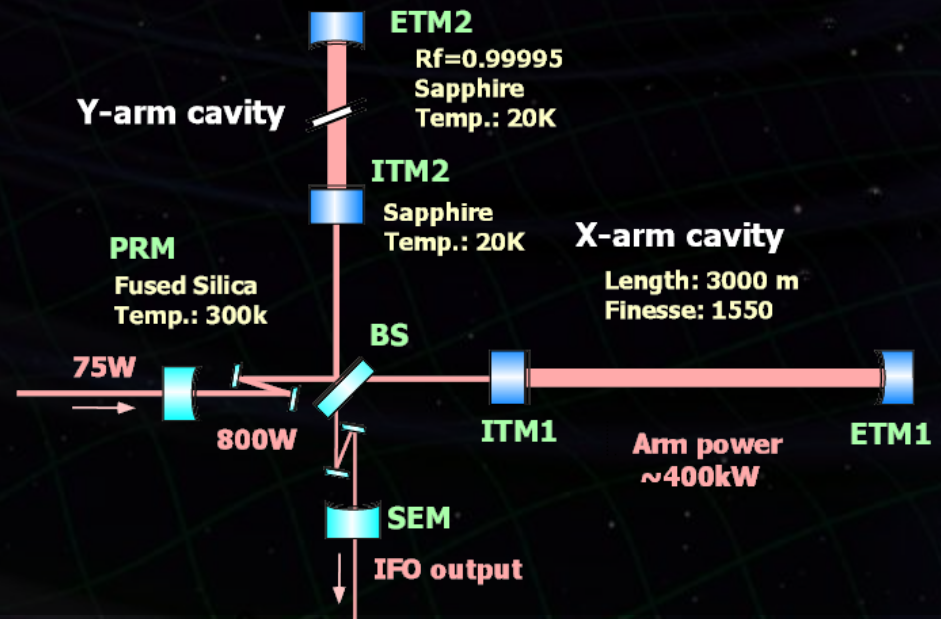
Mech. Loss : 10^{-8}

Opt. Absorption 20ppm/cm

Suspension

Sapphire fiber 16K

Mech. Loss : 2×10^{-7}



Main parameters

Detector parameters

Laser

Nd:YAG laser (1064nm)
Master Laser + Power Amplifier
Power : **180 W**

Main Interferometer

Broad band RSE configuration
Baseline length : 3km
Beam Radius : 3-5cm
Arm cavity Finesse : 1550
Power Recycling Gain : 11
Signal Band Gain : 15
Stored Power : **771kW**
Signal band : **230Hz**

Vacuum system

Beam duct diameter : 80cm
Pressure : **10^{-7} Pa**

Mirror

Sapphire substrate
+ mirror coating
Diameter : 25cm
Thickness : 15cm
Mass : 30 kg
Absorption Loss : 20ppm/cm
Temperature : **20 K**
 $Q = 10^8$
Loss of coating : 10^{-4}

Final Suspension

Suspension + heat link
with 4 Sapphire fibers
Suspension length : 30cm
Fiber diameter : 1.6mm
Temperature : **16K**
 Q of final suspension : 10^8

Main Interferometer (1/2)

LCGT Main interferometer

- Sufficient sensitivity and stability to detect GWs

Inspirational range >250Mpc (Optimal direction and polarization, SNR>8)

Duty cycle > 90%

• Optical design

Dual-recycled Fabry-Perot-Michelson interferometer in RSE mode

Variable RSE between

Detuned and Broadband operation

Inspirational range : 275Mpc

• Arm cavity

Baseline length : 3000 m

Sapphire test masses

at cryogenic temperature of 20K

Finesse : 1546

ITM reflectivity : 99.6%

Round-trip loss < 100ppm

Accumulated power: ~400kW/arm

ROC : Flat (ITM), 7km (ETM)

g-factor : $g_1=1$, $g_2=0.572$

Beam size : 3.43cm (ITM), 4.53cm (ETM)

• Central interferometer

Power recycling gain : ~11

Signal band gain : ~15

PRM, SEM ROC : 300m

Folded cavities for stability

Length : 66.62m

ROC : -3.251m, 27.26m

Gouy phase shift : 20deg

MI Asymmetry : 3.33 m

RF sideband condition

f1 (PM 16.875 MHz)

Resonant with PRC-SRC

f2 (PM 45 MHz)

Resonant with PRC

Full reflectivity by MI part

f3 (AM 56.25MHz)

Non-resonant to PRC

Main Interferometer (2/2)

- **Length signal sensing and control**

Frontal modulation
for 5 length DoF for MIF control

	Signal port	UGF
DARM	ASDC	200 Hz
CARM	REFL 1I	10 kHz
MICH	REFL 1Q	10 Hz
PRCL	POP 2I	50 Hz
SRCL	POP 1I	50 Hz

Feed forward gain : **100**

Non-linear factor : 10^9 m^{-1}

PD dynamic range : 160dB

Variable RSE by SRC tuning :

Offset addition to control signal

- **Alignment signal sensing and control**
Wave front sensing and optical lever
Details : TBD

- **Lock acquisition**

Pre-lock of arm cavities with
auxiliary **green laser beams**

Beam injection from
folding mirrors in PRC and SEC
Arm finesse to green beam : ~ 10

Third-harmonic demodulation
(Beat between $2*f_1$ and f_1)

Non-resonant sideband

Tunnel

LCGT underground site

Ikenoyama mountain >200m from the ground level

Tunnel tilt : $1/300$ for natural water drain
(Experimental rooms : leveled)

•Location

Latitude 36 deg N , Longitude 137 deg E

Height : 372 m above the sea level

Arm direction: X-arm 300 deg, Y-arm 30 deg (from North)

→ height difference of 20m between X and Y end rooms

•3 access tunnels from the ground level

•2 water drain points

•Arm tunnels

Excavation by TBM
(Tunnel Boring Machine)

Tunnel Width 4m, Height 3.8m

•Experimental rooms

Center and end rooms

Excavation by NATM
(New Australian Tunneling Method)

Height : 4.2 m

•Test mass area

20m x 12 m room

2 layer structure

1st floor height 8m

2nd floor height 7m

5m bedrock between them

130m approach tunnel for 2nd floor

Vacuum

LCGT vacuum system

Vacuum pressure : $< 1 \times 10^{-7}$ Pa \leftarrow Ion pump lifetime (5 years)
 $< 2 \times 10^{-7}$ Pa \leftarrow Residual gas noise (safety margin 10)

Scattered light suppression

• Beam tube for two 3km arms

Diameter : 0.8 m
Material : Stainless steel
Outgas rate : 10^{-8} Pa·m/s
Inner surface : Electro polishing
Pre-baking and dry-air seal
before installation
Flange Connection of
500 tubes with 12-m length

• Optical baffle

500 optical baffles at every 12-m
inside the vacuum tube
Diamond-like Carbon (DLC) coating
Height : 40 mm
(Saw-tooth edge, 45deg. tilted)

• Chamber (14 chambers)

4 chambers with cryogenic system

Diameter : 2.4 m

Type-A vibration isolation for test mass
Aluminum-coated PET (polyethylene terephthalate) for thermal insulation

7 chambers (BS, PRM, SEM, folding)

Diameter : 1.5 m (2 m for BS)

Type-B vibration isolation

3 chambers (MC, PD)

Diameter : 2 m

Type-C vibration isolation

• Pumping system

Every 100m along the tube

Pumping unit with

dry-pump + TMP + ion-pump

Cryogenics

Cryogenic System for test-mass mirror

Temperature of test mass : **20 K**

Avoid excess vibration and mirror contamination

• Test-mass suspension

Cool mirror by thermal conduction

Sapphire suspension from upper mass

Cooling power : **1 W**

4 sapphire fibers

Diameter : ϕ **1.6 mm**

Length : **300 mm**

Heat link : pure Aluminum (6N) wires
(Upper Mass – CM – Cryo-shield)

• Cryostat

Vacuum chamber with
cryo-shield (radiation shield)

Access to inside from both sides

Mechanical resonance >30 Hz

Inner shield : **10 K, 2W**

Outer shield : **80 K, 90W**

Insulator: Low-outgas MLI (or SI)

Size : 1990 x 1220 x 1500? mm

Mechanical resonance > 22 Hz

• Low-vibration cryocooler

Pulse-tube cryocooler

Cold head temperature : **4 K**

Vibration isolated cold head

Separated valve unit

Flexible link to heat bath

Rigid frame for supporting stage

Acoustic shield

Compressor placed in a separated
room with acoustic shield

• Shield duct

to avoid incoming residual gas
and thermal radiation

Length : **20 m (TBD)**

Diameter : ϕ **500 mm, t 10 mm**

Baffle aperture: ϕ **250 mm**

Temperature : **65 - 77 K**

Cryocooler : **50K, 150W**

Vibration Isolation (1/2)

Vibration isolation system

- Reduce the seismic noise level below optical-readout noise at 10 Hz
Displacement noise $< 4 \times 10^{-20} \text{ m/Hz}^{1/2}$ at 10Hz,
Residual RMS fluctuation $< 0.1 \mu\text{m}$, $< 0.1 \mu\text{m/s}$

• Type-A system for cryogenic test mass

Low-frequency, multi-stage
vibration-isolation system
with cryogenic compatibility

Room-temperature isolator part

Pre-Isolator

Inverted Pendulum (IP) and GASF

IP Length : 50 cm

Resonant frequency : 30mHz

Sensor : 4 Geophones (L4-C), 4 LVDTs

Actuator : Magnet-coil

Stepping motor, Pico motor

GAS (Geometric Anti-Spring) filter

3-stage filters

suspended by a single wire

Resonant frequency : $\sim 350 \text{ mHz}$

Yaw-mode damping onto the first stage

Cryogenic Payload

3-stage suspension (PF-IM-TM)

Test mass (TM)

Sapphire mirror, Temp: 20K

Weight : 30kg

Recoil mass (RM) for actuation

Intermediate mass (IM)

Suspend TM with sapphire fibers

Damping from Magnet Box (MB)

Platform (PF)

Suspended from room-temp.

part by a single wire with
low-thermal conductivity

Actuated from CB (Control box)

Heat link

Pure Aluminum wire

Link between

IM-PF and PF-Radiation shield

Vibration Isolation (2/2)

• Type-B system for room-temp. optics

Low-frequency, multi-stage
vibration-isolation system

Used for BS, PRM, SEM, Folding mirrors

Based on TAMA-SAS

Pre-Isolator

Inverted Pendulum (IP) and GASF

IP Length : 50 cm

Resonant frequency : **30mHz**

Sensor : 4 Geophones (L4-C), 4 LVDTs

Actuator : Magnet-coil

Stepping motor, Pico motor

GAS (Geometric Anti-Spring) filter

Vertical filter

suspended by a single wire

Resonant frequency : **~ 350 mHz**

Yaw-mode damping

Payload

3-stage suspension (PF-IM-TM)

Test-mass weight : **10kg**

• Type-C system

Double pendulum on

Multi-layer stacks

Used for MC, PD

Based on original TAMA isolation

Suspended optics : 1kg

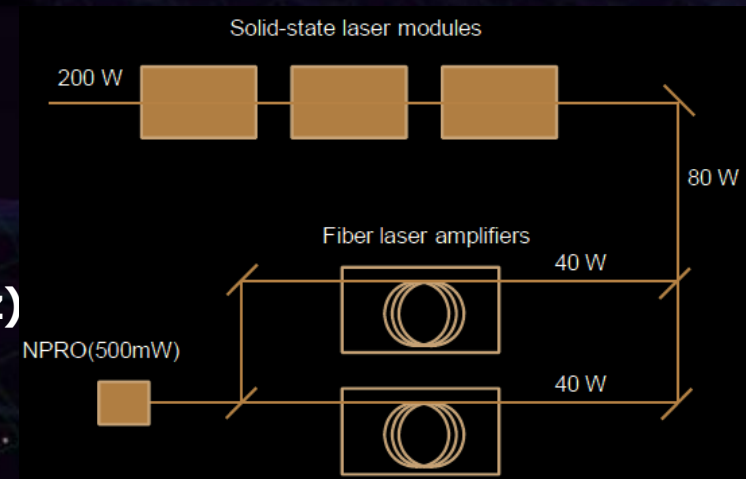
Multi-layer stack

Double pendulum

Laser

High-power and stable laser source

Wavelength : 1064nm
Output Power 180 W
Single mode, Linear polarization
Line width < a few kHz
Frequency noise < 100 Hz/Hz^{1/2} (100Hz)
Freq. Control band ~ 1 MHz
Intensity noise < 10⁻⁴ Hz^{-1/2} (100Hz)
Int. control band > 100 kHz



High-power MOPA laser

→ Easy assembly and maintenance

•Seed laser

NPRO (Nonplanar Ring Oscillators)

Power 500mW

•Fiber amplifier

Commercial fiber amp.

NUFERN Single Freq. PM amp.

Output power ~40W

Coherent addition with two units

•Solid-state laser module

Side pump + diffusive reflector

Laser module by Mitsubishi

•Frequency stabilization

PZT of the master laser

External wideband EOM

Stoichiometric LiNbO₃

•Intensity stabilization

Current shunt control

on power amplifier

Core Optics

Cryogenic test mass --- Sapphire

Temperature : 20 K
Absorption Loss < 20ppm/cm
Optical loss < 45ppm
Mechanical loss < 10^{-8}

• Substrate

Diameter : 25cm
Thickness : 15cm
Mass : 30 kg
ITM: c-axis, ETM: a-plane (TBD)
Heat Exchange Method (HEM)
by Crystal Systems Inc.

• Polish

ROC ITM: Flat, ETM: 7km
ROC Error : 100m (Error $\lambda/40$)
Scattering < 30ppm

• Coating

Absorption < 0.5ppm
Mechanical Loss < 10^{-4}
Moderate reflectivity for green beam

Room-temp. optics --- Fused Silica

Temperature : 290 K
Absorption Loss < 1ppm/cm
Homogeneity < 10^{-7}

• Main interferometer

(PRM, SEM, Folding Mirror)

Diameter : 25cm
Thickness : 10cm
Mass : 10 kg

*also used for iLCGT test mass
AGC or Heraeus (ITM)
LIGO TM substrates (other)

• Beam splitter

Diameter : 38cm
Thickness : 12cm
Mass : 30 kg

• Input optics (MC, MMT)

Diameter : 10 cm
Thickness : 3 cm
Mass : 0.5 kg

Input/Output Optics (1/3)

Input Optics between the laser source and the main interferometer

Frequency stability	$< 3 \times 10^{-8} \text{ Hz/Hz}^{1/2}$
Intensity stability	$< 2 \times 10^{-9} \text{ Hz}^{-1/2}$
RF intensity noise	$< 1 \times 10^{-9} \text{ Hz}^{-1/2} (> 10 \text{ MHz})$
Beam jitter :	---
RF modulation :	16.875 MHz 45 MHz (optional 56.25 MHz)
TEM ₀₀ power throughput	> 50 % (?)

• Mode Cleaner

Suspended triangle cavity

for spatial MC, reduction of beam jitter, and freq. stabilization

Transmission of RF sidebands for main interferometer control

Round-trip length : **53.333 m**

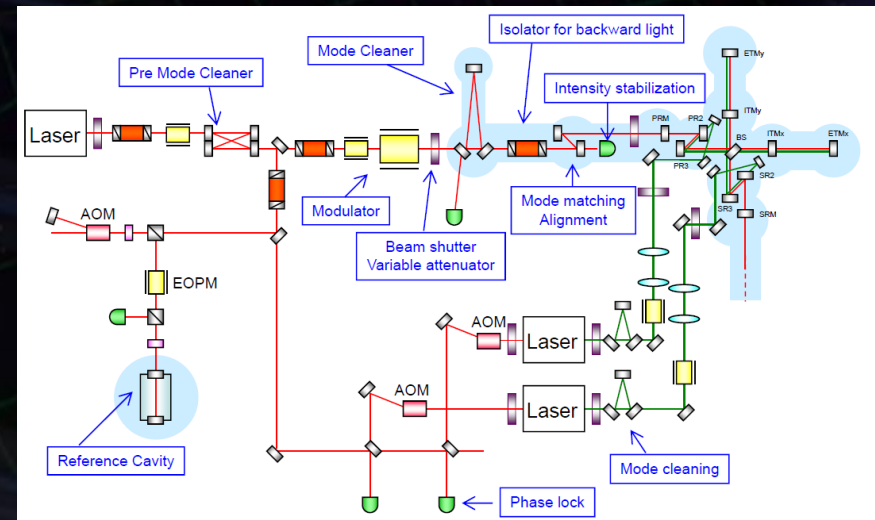
Finesse : **~500**

FSR : **5.625 MHz**

Mirror dimension : $\phi 100 \text{ mm}$, t30mm

ROC : Flat (In and Out)
40 m (End)

Beam radius : **~2.5mm at waist**



Input/Output Optics (2/3)

Input Optics between the laser source and the main interferometer

- **Pre Mode Cleaner (PMC)**

- 2 or 3 PMCs in series for
RF noise reduction and spatial MC
- Monolithic 4-mirror bow-tie cavity
- Roundtrip length : **1.95 m**
- Finesse : **155**
- Cutoff freq. : **154 MHz**
- Length control :
PZT (<1kHz) and heat expansion
- Spacer material : Aluminum
- Placed in air-enclosed case

- **Reference cavity**

- Low-frequency reference at DC - 10Hz
- Linear cavity in vacuum,
supported by a vibration isolator
- Length : **15cm**
- Finesse : **10^5**
- Cutoff freq. : **50kHz**
- Spacer material : ULE or Silica

- **Modulator**

- RF sidebands for MIF control
16.875 MHz (PM), 45 MHz (PM)
56.25 MHz (AM optional)
- Mach-Zender IFO for 2 PMs
- EOM : RTP or MgO-doped LiNbO₃
4x4 (or 5x5) mm² for PM
2x2 mm² for ~1MHz control
4x4 mm² for >100kHz control
- Crystal length : 20 – 40 mm

- **Isolator**

- Suspended Faraday isolator
between MC and MIF
- Details : TBD

- **Mode-matching telescope**

- Suspended folded telescope
between MC and MIF
- Length : **~5.6 m**
- Mirror size : $\phi 100\text{mm}$, t30mm
- ROC : **~20.6m, 26.1 m**

Input/Output Optics (3/3)

Output Optics

between the main interferometer
and analog electronics

OMC throughput : TBD

Photo detection power : $\sim 100\text{mW}$

• Output Mode Cleaner

4-mirror bow-tie cavity for
beam cleaning at dark port

Round-trip length : 1.52 m (TBD)

Finesse : 1000 (TBD)

Cutoff freq. : 98 kHz

Spacer material : TBD

Actuator and control : TBD

• Output Telescope

• Photo Detection

Main PD in vacuum tank

DC/RF PD

Wave Front Sensor

Beam Shutter

Others

• Green beam injection

for lock-acquisition of MIF
Phase-locked to the main beam
Injected to MIF from
PRC and SEC folding mirror

• Optical lever for test masses

Details TBD

• Laser room facility

for optical benches of laser
source and input optics

Clean room : Class TBD

Temp. control : $\pm 1\text{K}$

Acoustic shield

Digital System

LCGT digital observation system

Data acquisition and control system

Observation bandwidth >5 kHz, Dynamic range >120 dB

Control bandwidth > 200 Hz, Signal number > 1024 channels

Observation system

Human interface , Observatory monitor, Detector diagnosis

•Control system

Network of ~12 real-time systems
and client workstations

Sampling rate : 16,384 Hz

ADC resolution : 16 bit

Input

ADC range : +/- 15 V

Signal number : 2048 ch

Output

DAC range : +/- 10 V

Signal number : 512 ch

Binary Output : 2048 ch

DAC/DAC noise : <3 $\mu\text{V}/\text{Hz}^{1/2}$

Delay < 100 μsec

•Timing system

GPS-based timing distribution system

Ground-level GPS antenna

→ Timing master in the center room

Real-time modules are

synchronized using 1 PPS signal

Recorded with data as IRIG-B format

Timing accuracy : ???

•Environment monitor

RT system or

EPICS-based system (TBD)

•Data Storage

Recorded in frame format

300 TByte/year

(16kHz : 64ch, 2kHz : 512ch,

64Hz : 1024ch, 16 Hz : 10000ch)

Analog electronics

Analog electronics

- **DC power supply**

- Low-voltage power supply

- Bipolar : **24V**

- Distributed by **D-Sub 3W3**

- 24-to-15 V series regulator

- High-voltage power supply

- Bias voltage for QPD : **180 V**

- Power supply for

- Coil driver, PZT actuator,
LD driver, TEC driver

- **Conditioning filter** for digital system

- Anti-aliasing and Whitening
filter for ADCs

- Anti-imaging and de-whitening
filter for DACs

- **High-speed controls**

- High-speed servo, Feedaround,
Threshold detector for digital I/F

- **Actuator drivers**

- **Photo detector**

- Quantum efficiency > 0.9

- DC photo detector for MIF DC readout

- Input power : 100 mW

- PD diameter : $\phi 3$ mm

- RF photo detector

- Input power : 100 mW

- PD diameter : $\phi 3$ mm

- Frequency : 16.875MHz, 45 MHz

- RF-QPD for wave front sensors (WFS)

- AF-QPD for beam position sensing

- Optical lever sensors

- CCD imaging monitors

- **RF system**

- Low-noise oscillator

- synchronized to 10MHz standard

- RF distributor

- Modulator resonant driver

- Demodulator

- Noise level : $1\text{nV}/\text{Hz}^{1/2}$

- Range : 100 mV

Data Analysis

Data analysis

- DAQ

 - Data acquisition, low-latency transfer

 - Data storage

 - Data characterization

- Analysis

 - Search for GW signals, and extract scientific outcomes

 - Cooperate with other GW experiments

- **Data acquisition and storage**

 - (by digital subsystem)

 - Raw-data rate : 70 GByte/hour

 - Data spool storage

 - at Kamioka > **500 TByte**

- **Calibration and data characterization**

 - Pre-processing for calibrated data

 - Data and detector characterization

 - Recorded in frame format

 - at the ICRR Kashiwa site

 - Total storage : **30 PByte**

- **Computing platform**

 - Main computing platform at Kashiwa

 - Computation power > **a few TFlops**

 - Software libraries in cooperation
with world-wide network

 - Distribution of

 - data subset to collaborators

- **Network observation**

 - Low-latency data processing

 - for follow-up observations

 - GW observatories

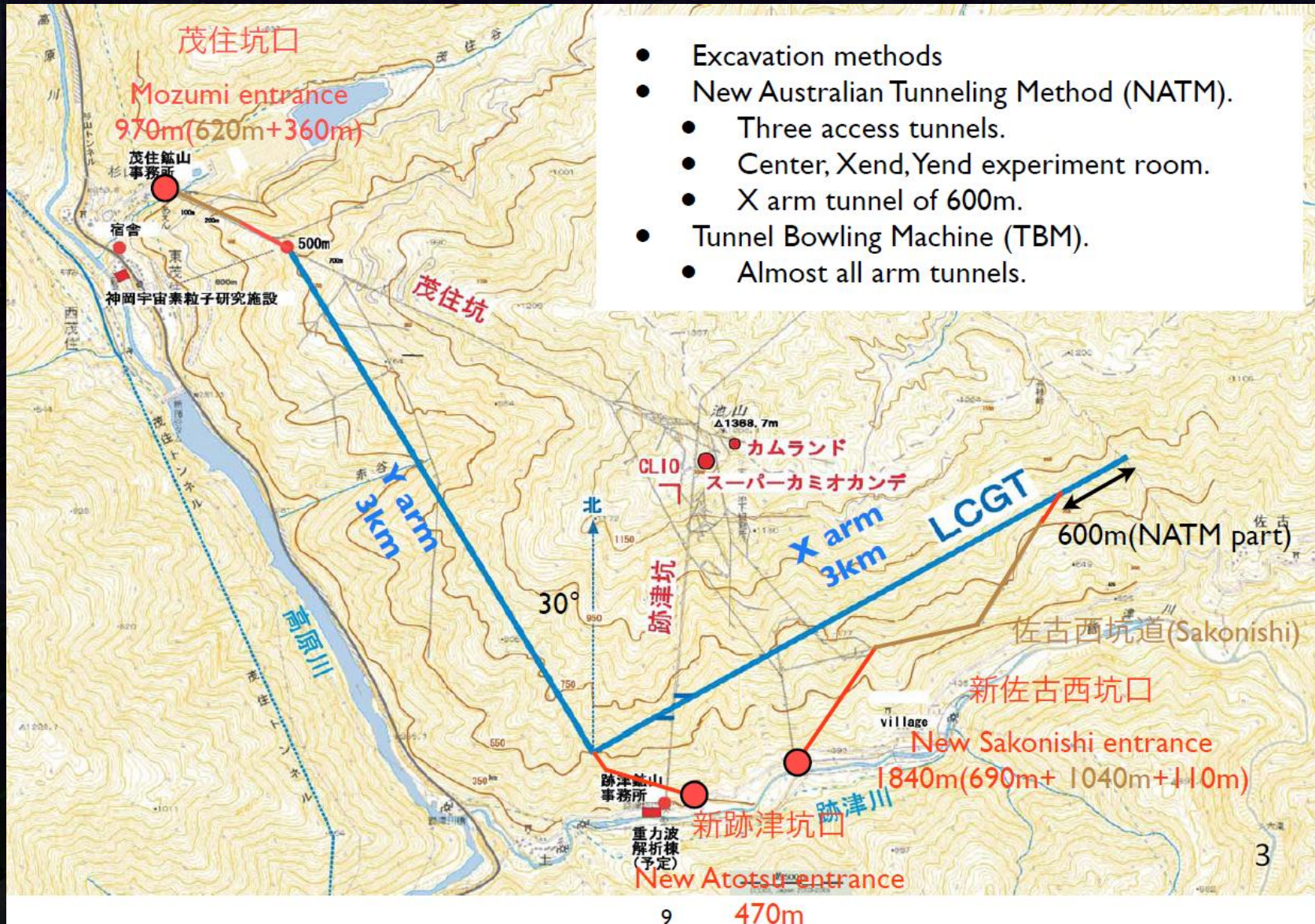
 - Counterpart observations

 - X-ray, Gamma-ray, Radio afterglow

 - Neutrino

Materials

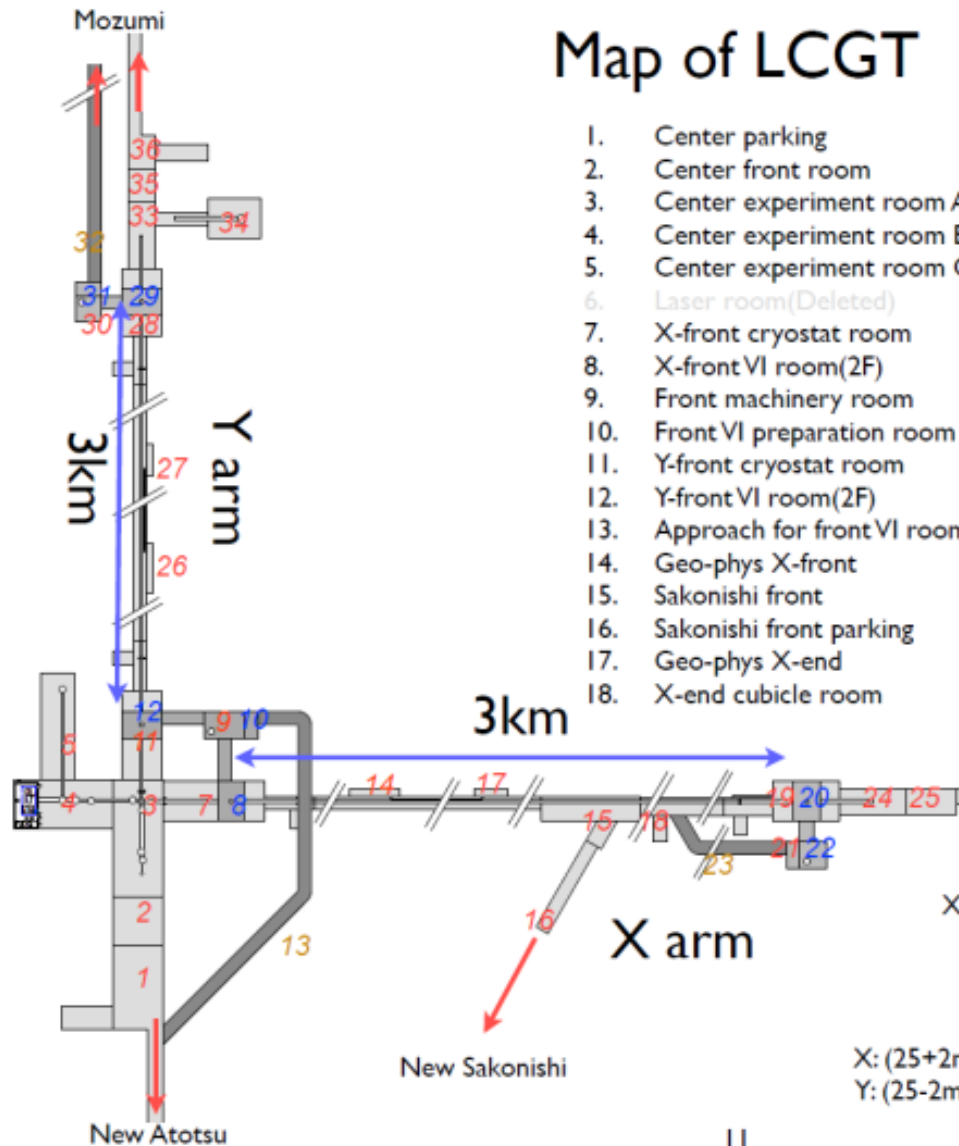
Tunnel



- Excavation methods
- New Australian Tunneling Method (NATM).
 - Three access tunnels.
 - Center, Xend, Yend experiment room.
 - X arm tunnel of 600m.
- Tunnel Bowling Machine (TBM).
- Almost all arm tunnels.

Tunnel

Map of LCGT



1. Center parking
2. Center front room
3. Center experiment room A
4. Center experiment room B
5. Center experiment room C
6. Laser room(Deleted)
7. X-front cryostat room
8. X-front VI room(2F)
9. Front machinery room
10. Front VI preparation room (2F)
11. Y-front cryostat room
12. Y-front VI room(2F)
13. Approach for front VI room
14. Geo-phys X-front
15. Sakonishi front
16. Sakonishi front parking
17. Geo-phys X-end
18. X-end cubicle room

19. X-end cryostat room
20. X-end VI room(2F)
21. X-end machinery room
22. X-end VI preparation room (2F)
23. Approach for X-end VI room
24. X-end experiment room
25. X-end staff room
26. Geo-phys Y-front
27. Geo-phys Y-end
28. Y-end cryostat room
29. Y-end VI room(2F)
30. Y-end machinery room
31. Y-end VI preparation room (2F)
32. Approach for Y-end VI room
33. Y-end experiment room
34. Cryogenic experiment room
35. Y-end staff room
36. Y-end parking

Xarm and Yarm cross perpendicularly
at the center of BS chamber.

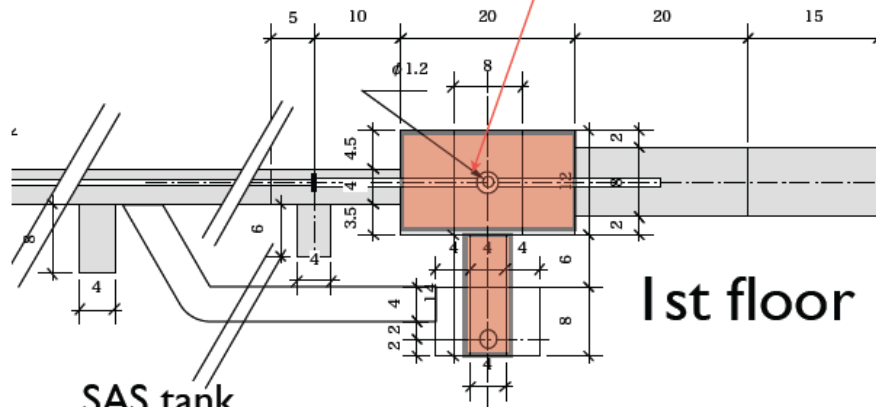
3km:

X: (25+2m)from BS - Center of X end cryostat room
Y: (25-2m) from BS - Center of Y end cryostat room

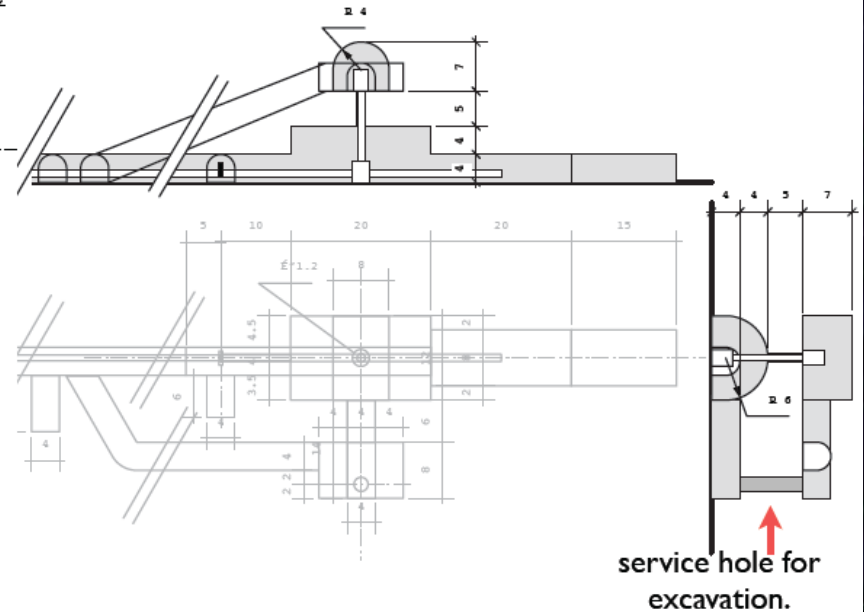
Tunnel

X end (2layer)

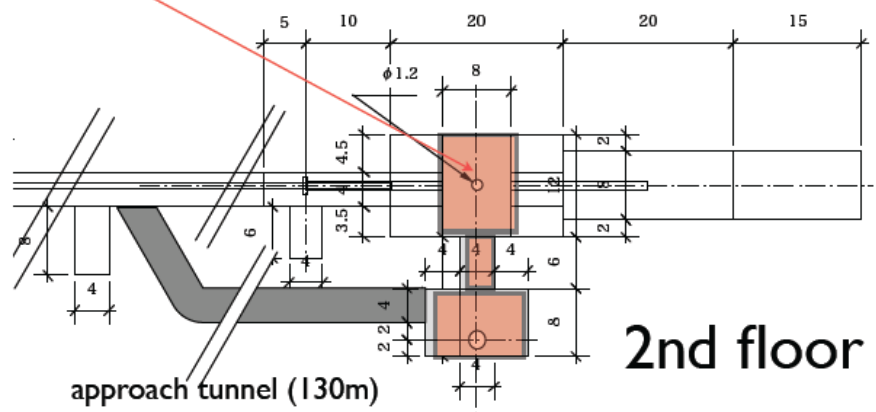
Test mass tank



1st floor



service hole for excavation.



2nd floor

Compare with 1 layer (20×20×H15m)

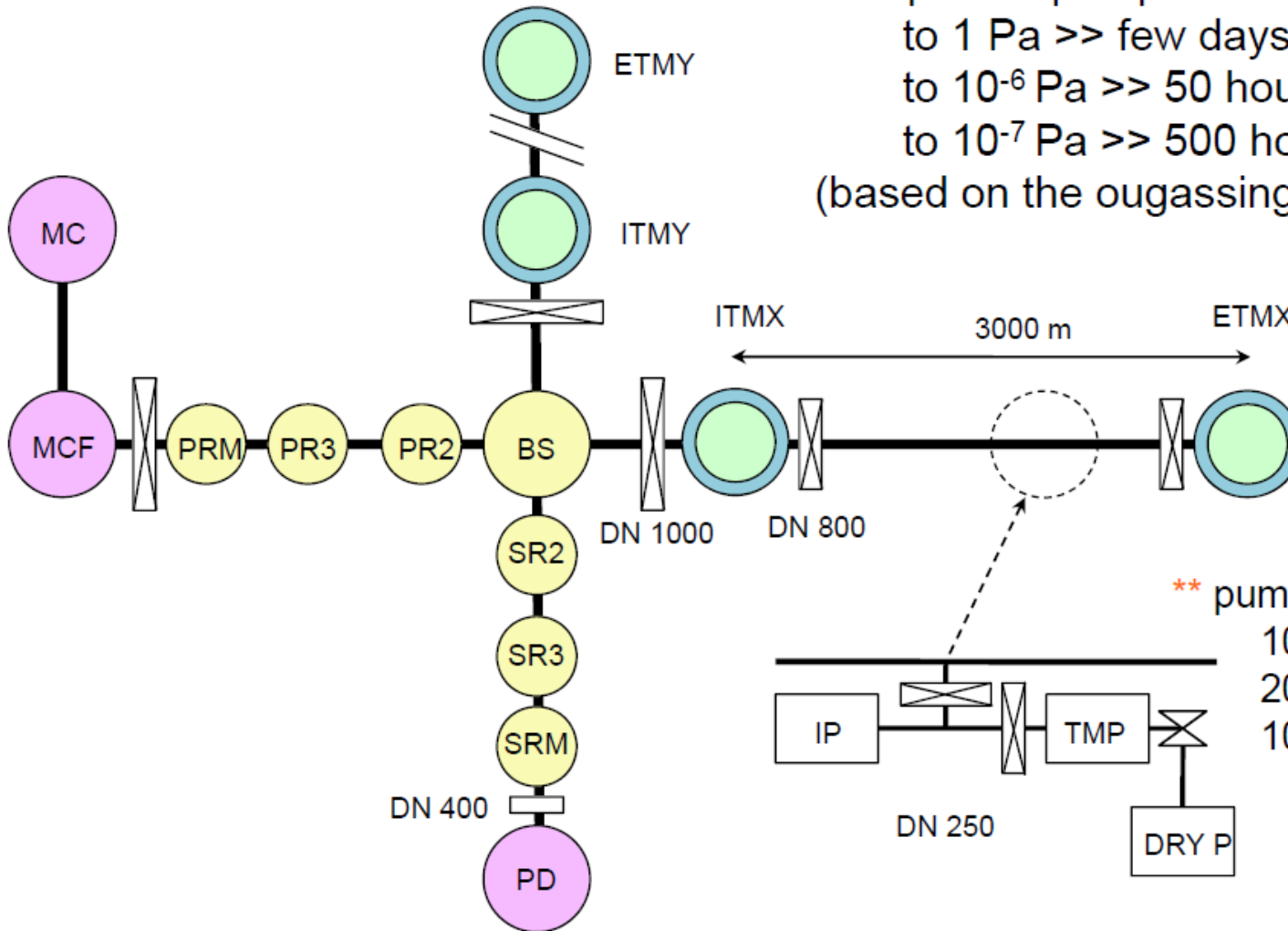
Floor area : 400m² → 512m²

Volume : 5140m³ → 2860m³

Approach tunnel(130m) : 1860m³.

Vertical hole: about 2,500,000Yen.

Vacuum system



** expected pump-down scheme
 to 1 Pa >> few days by dry-pump
 to 10^{-6} Pa >> 50 hours by TMP
 to 10^{-7} Pa >> 500 hours by IP
 (based on the outgassing rate in test tube)

** pumping speed of the unit
 100 m³/h >> dry-pump
 2000 L/s >> TMP
 1000 L/s >> IP

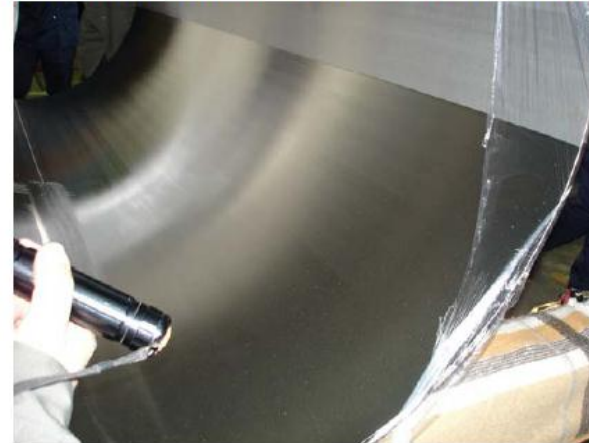
Vacuum system

110302 VAC (YS)

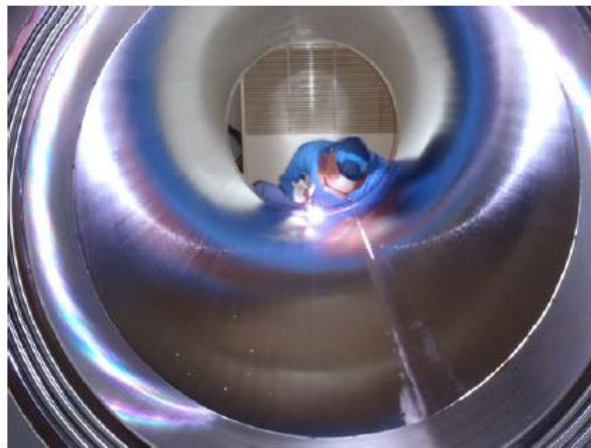
LCGT Vacuum System

** test product of the tube

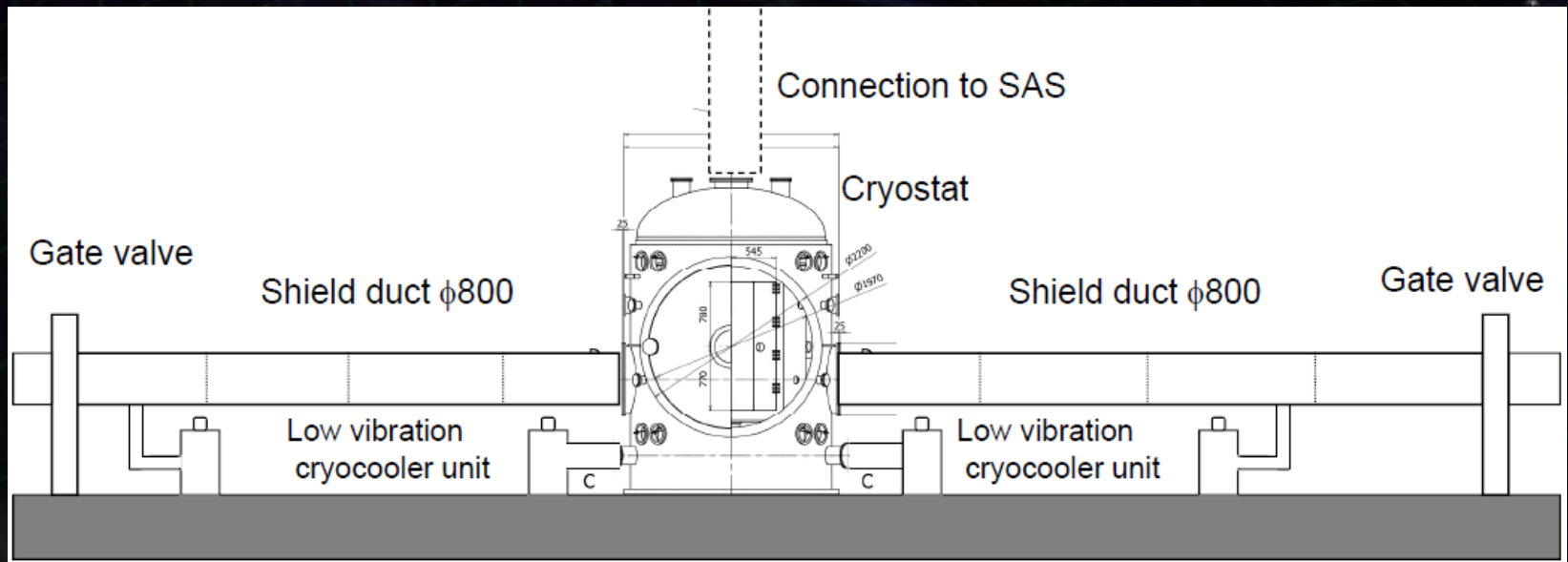
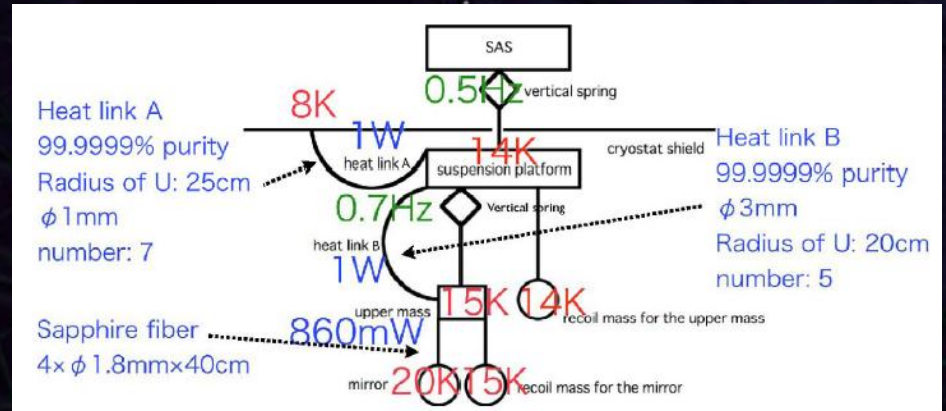
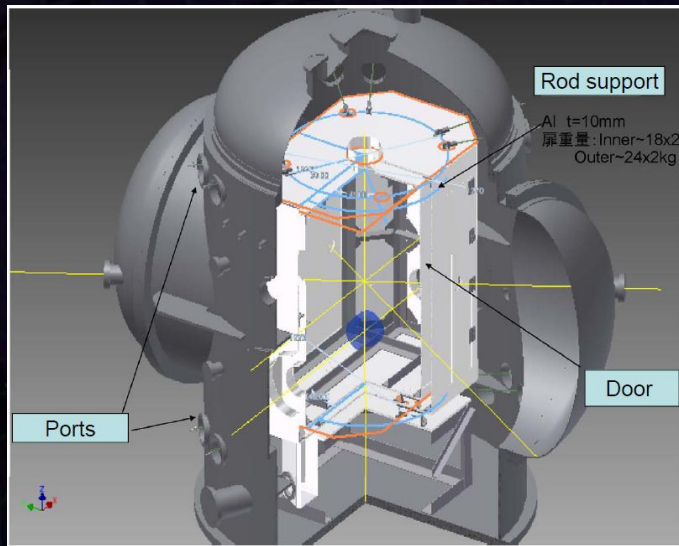
* A 4-m long tube was manufactured and a half of the inner surface was electro polished.



* A flange with a bellows (one convolution) was manufactured.



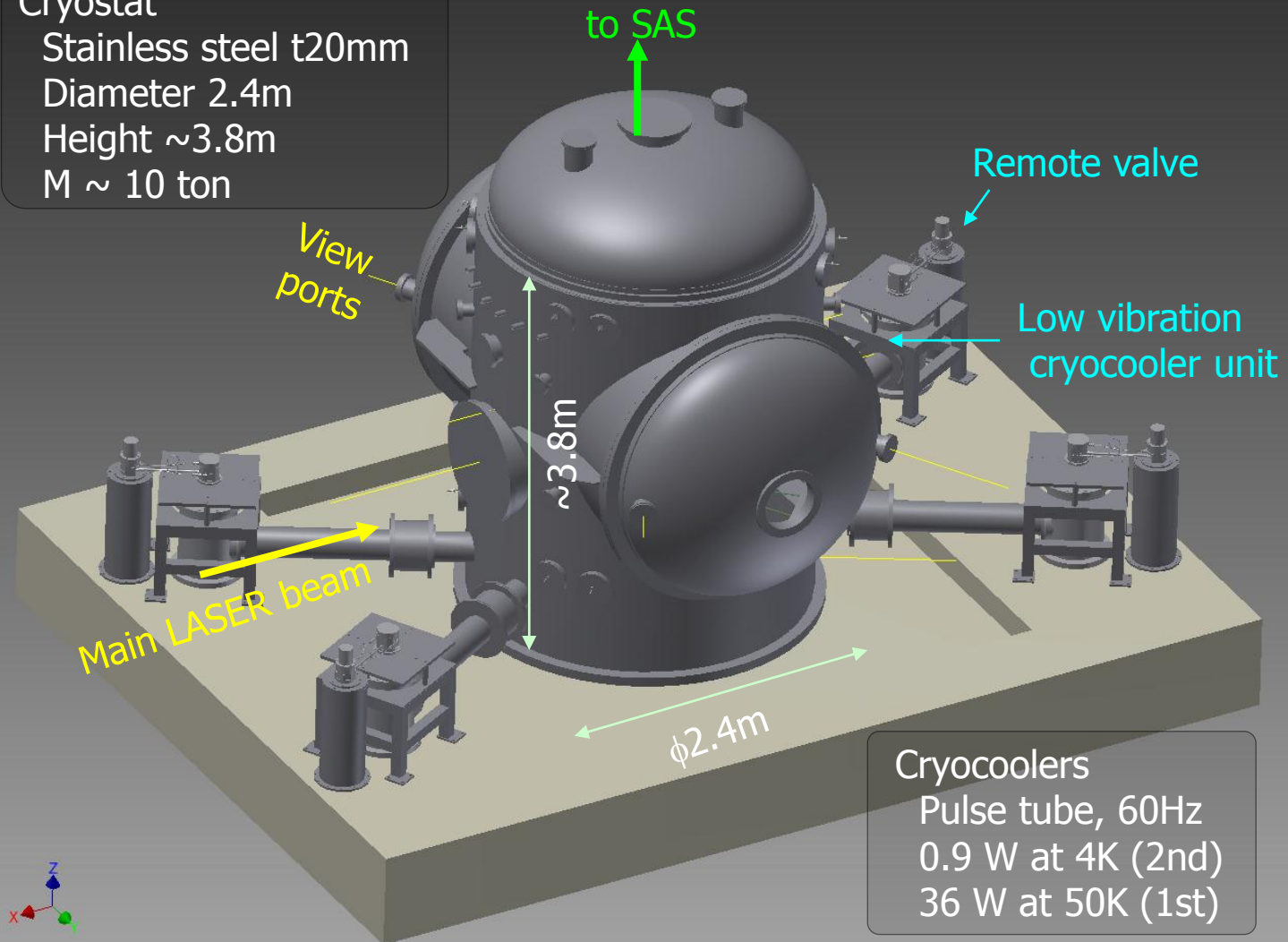
Cryogenics



クライオスタットデザイン

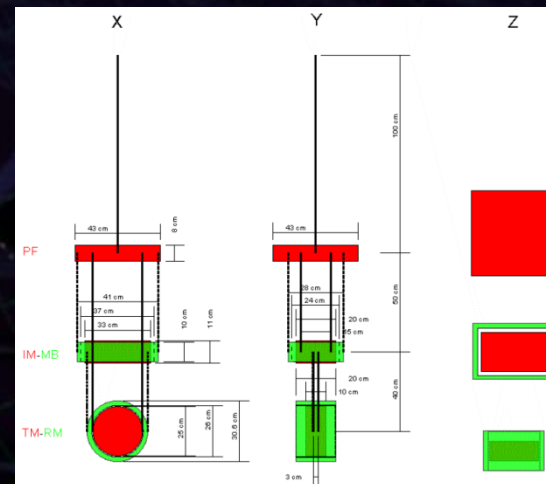
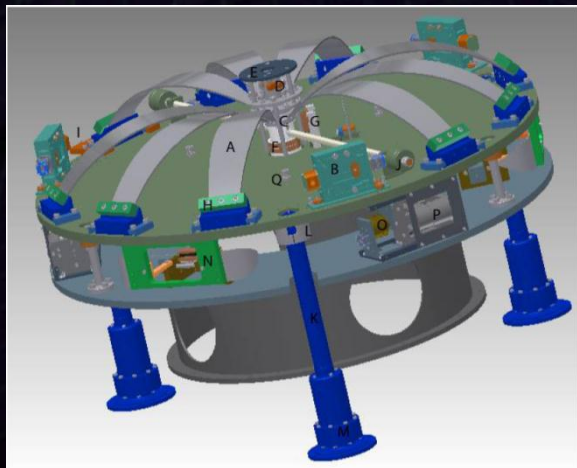
Drawn by S. Koike (KEK)

Cryostat
Stainless steel t20mm
Diameter 2.4m
Height $\sim 3.8\text{m}$
M $\sim 10\text{ ton}$

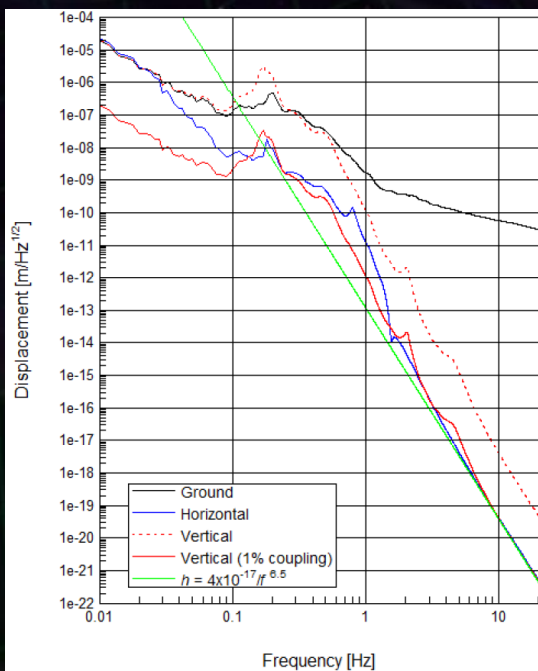


Cryocoolers
Pulse tube, 60Hz
0.9 W at 4K (2nd)
36 W at 50K (1st)

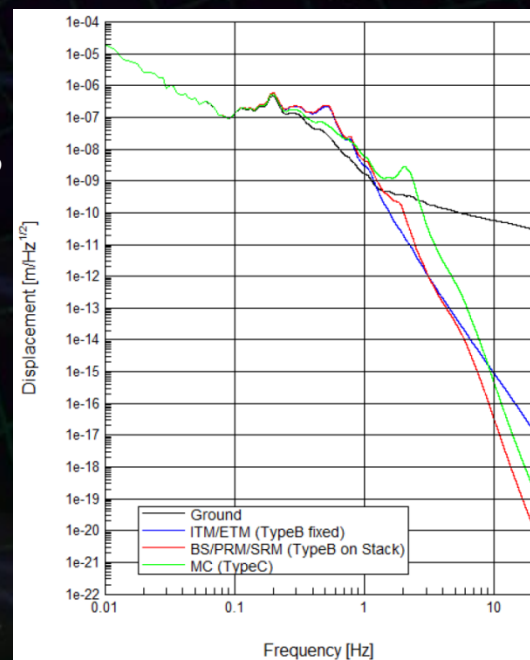
Vibration Isolation



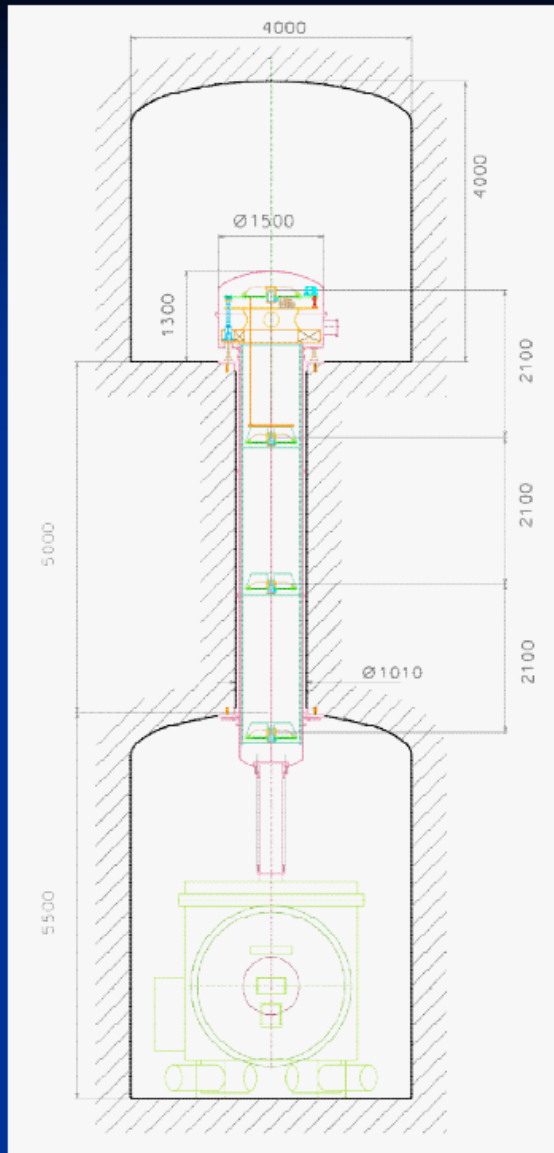
Type-A



Type-B



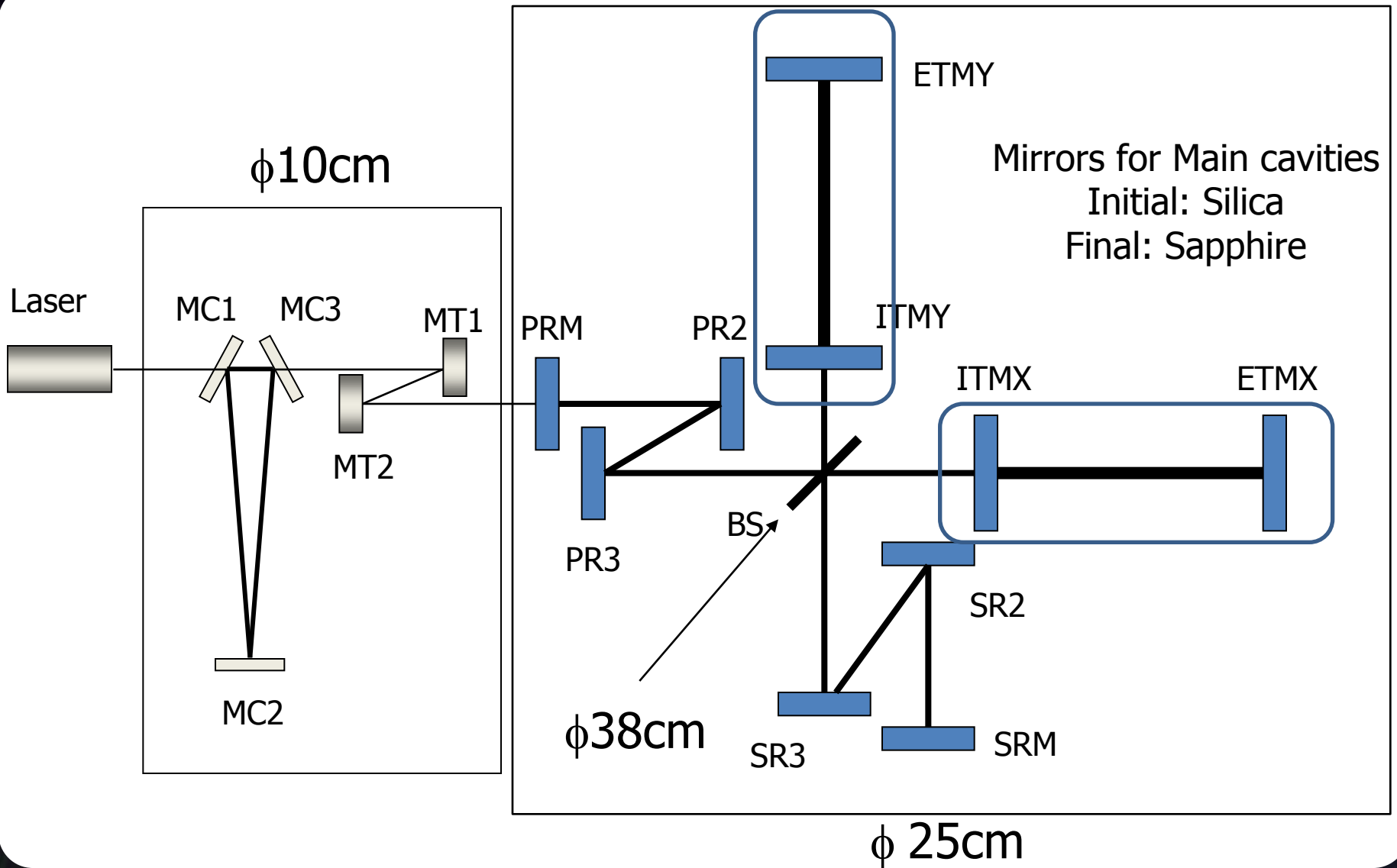
Vibration Isolation



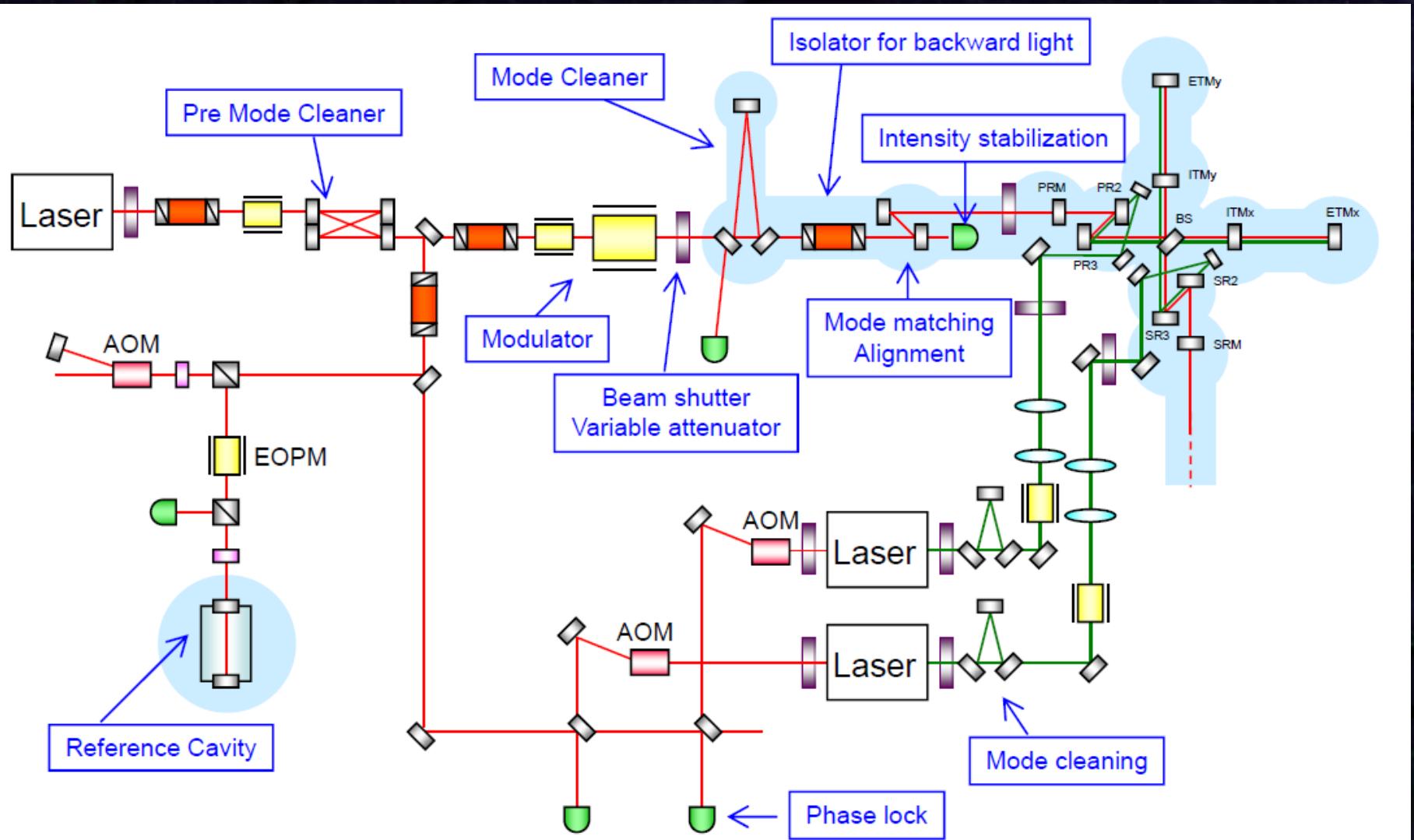
Type-A (2-layer structure)

- Upper tunnel containing pre-attenuator (short IP and top filter)
- 1.2m diameter 5m tall borehole containing standard filter chain
- Lower tunnel containing cryostat and payload

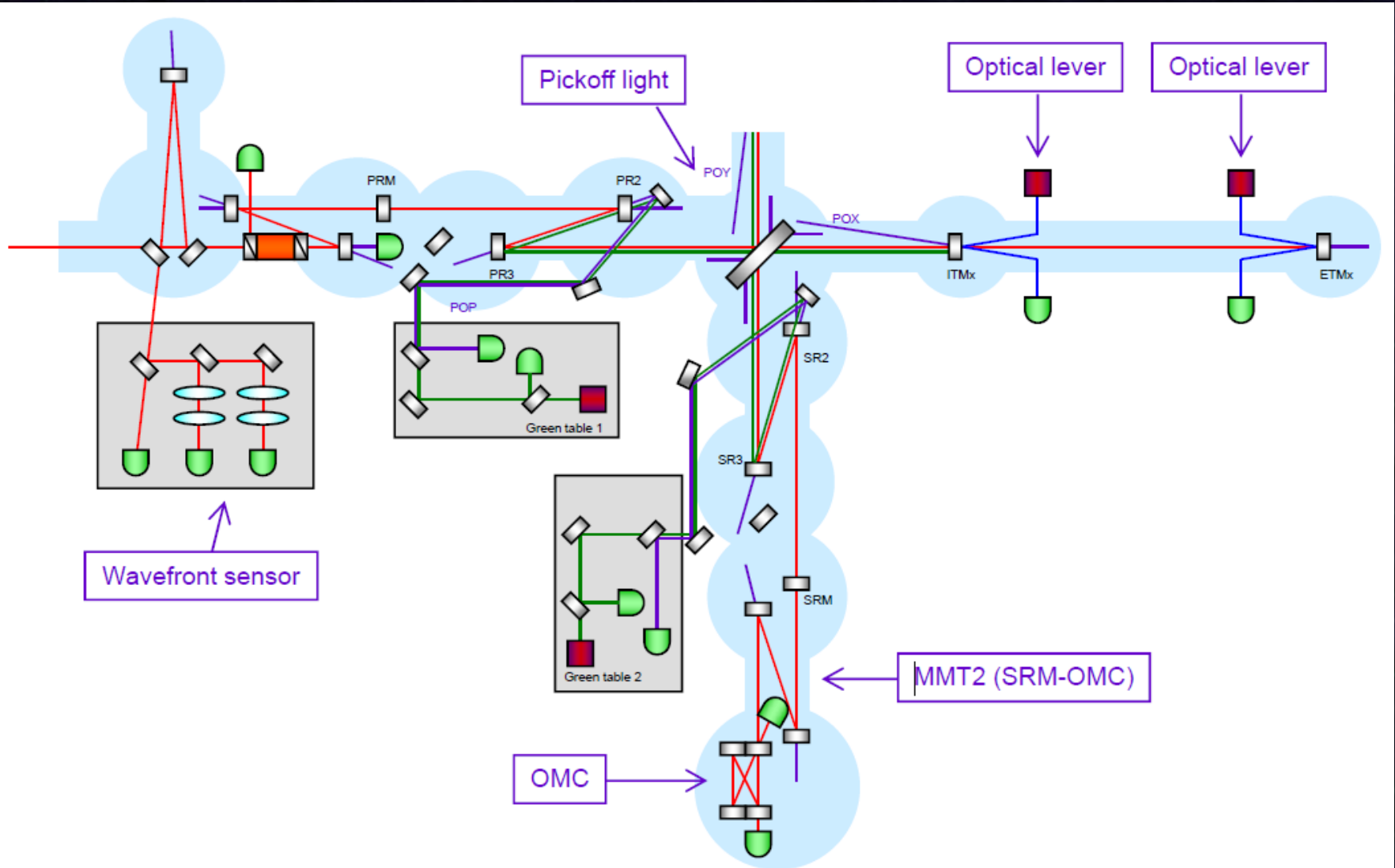
Core Optics



Input/Output Optics



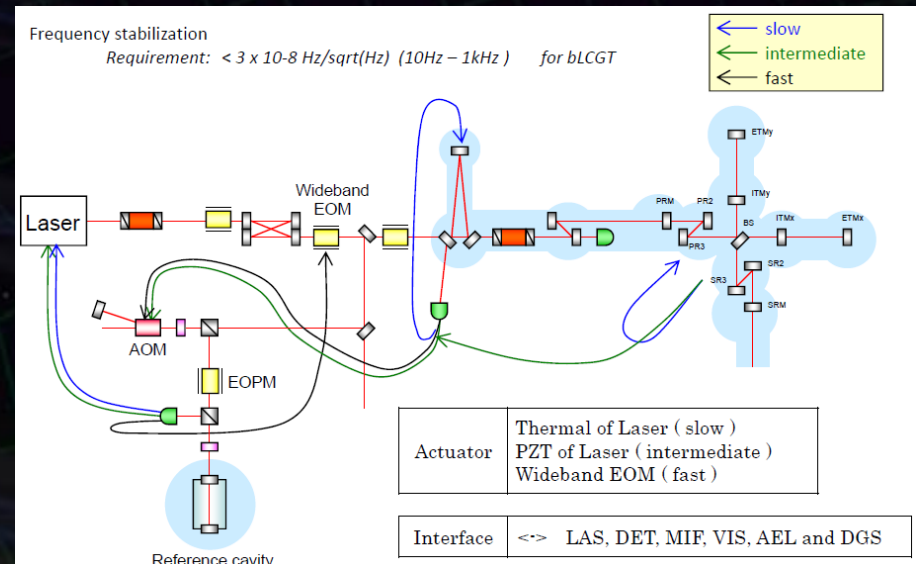
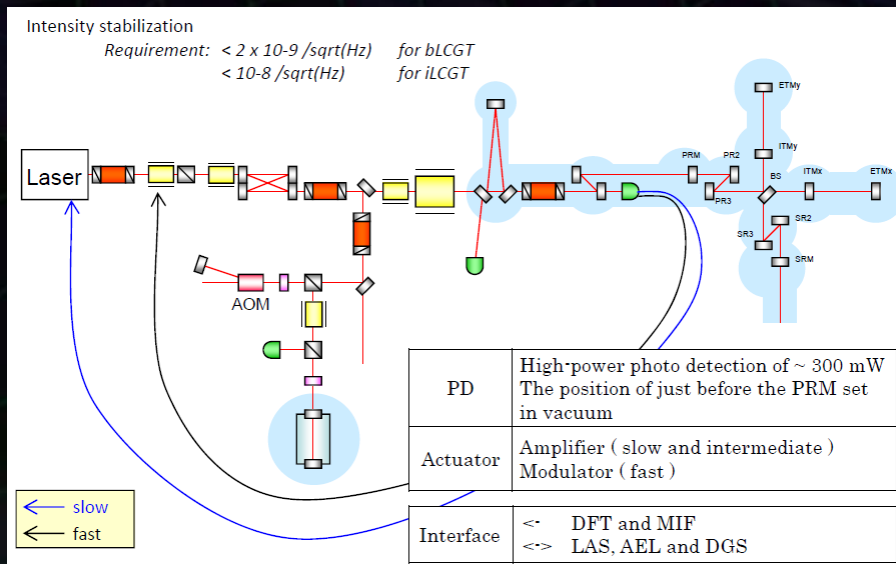
Output Optics



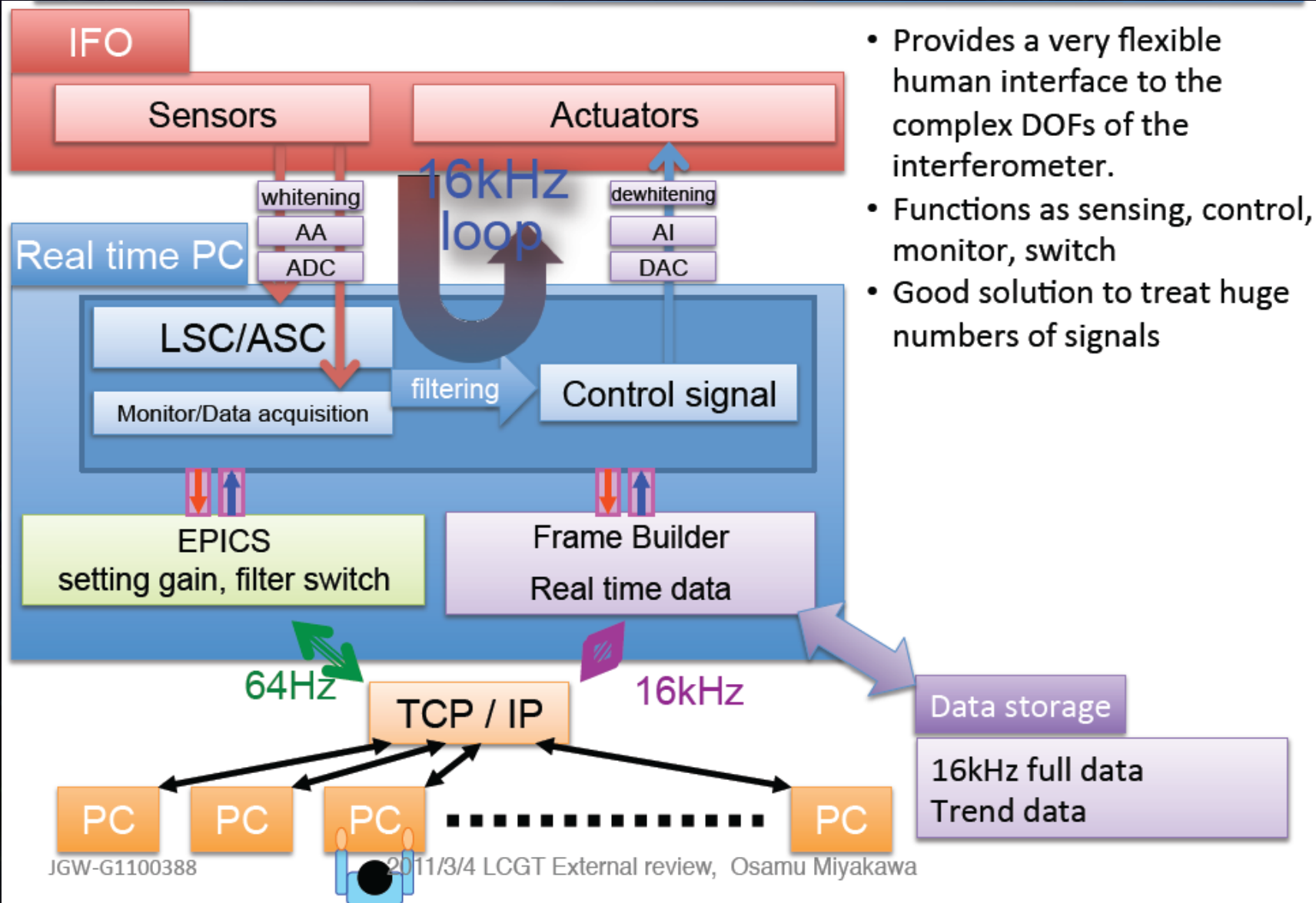
Freq. and Int. stabilization

• Intensity stabilization

• Frequency stabilization



Digital System



- Provides a very flexible human interface to the complex DOFs of the interferometer.
- Functions as sensing, control, monitor, switch
- Good solution to treat huge numbers of signals

Digital System

Real time system mounted in 19inch rack: PC, IO chassis (ADC/DAC/BO), timing, AA/AI

- Front room: length(1), WFS(1-2), auxiliary(1), network(1-2)
- Laser room: Laser(1)
- Center room: Input optics(1-2), suspensions(1-3)
- Main suspensions: ITMX(1-2), ITMY(1-2), ETMX(1-2), ETMY(1-2)

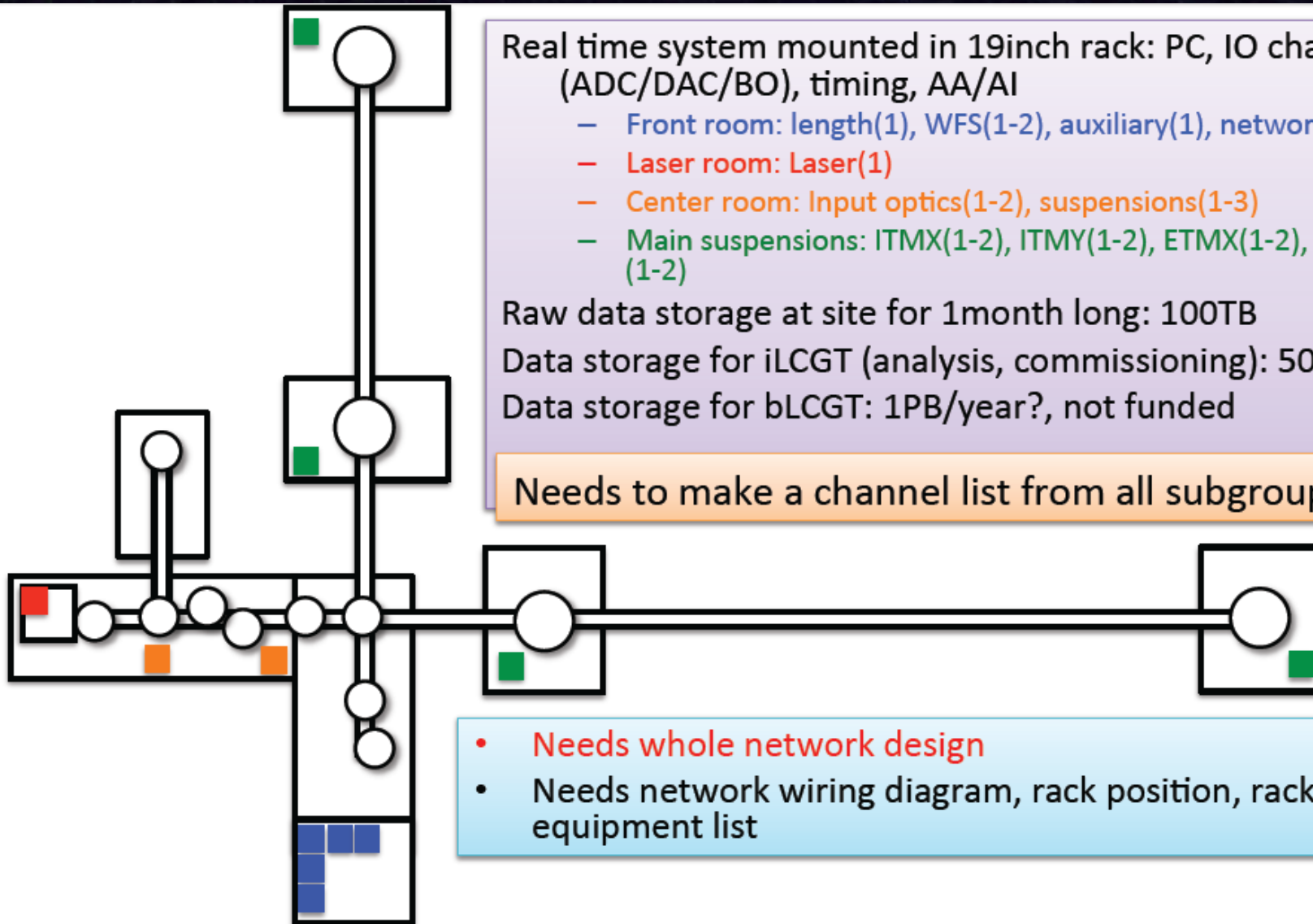
Raw data storage at site for 1month long: 100TB

Data storage for iLCGT (analysis, commissioning): 500TB

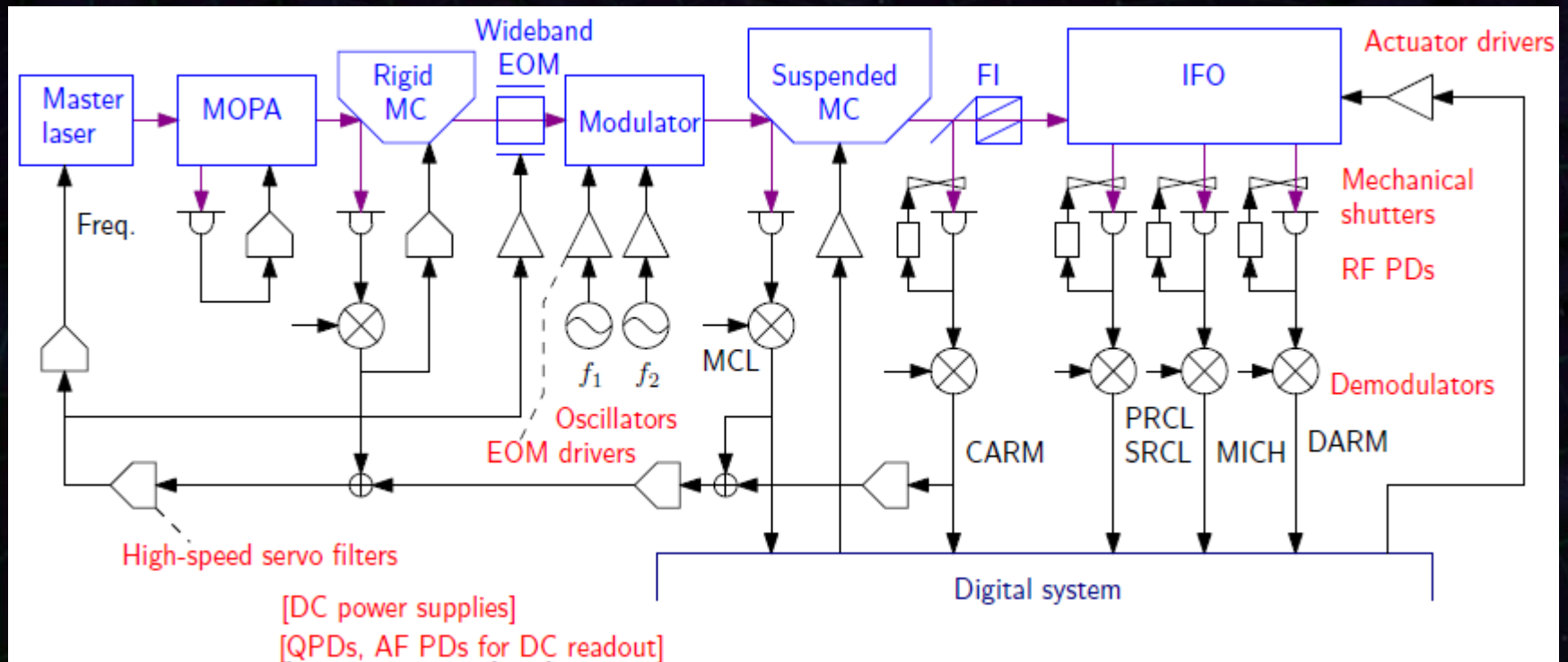
Data storage for bLCGT: 1PB/year?, not funded

Needs to make a channel list from all subgroups

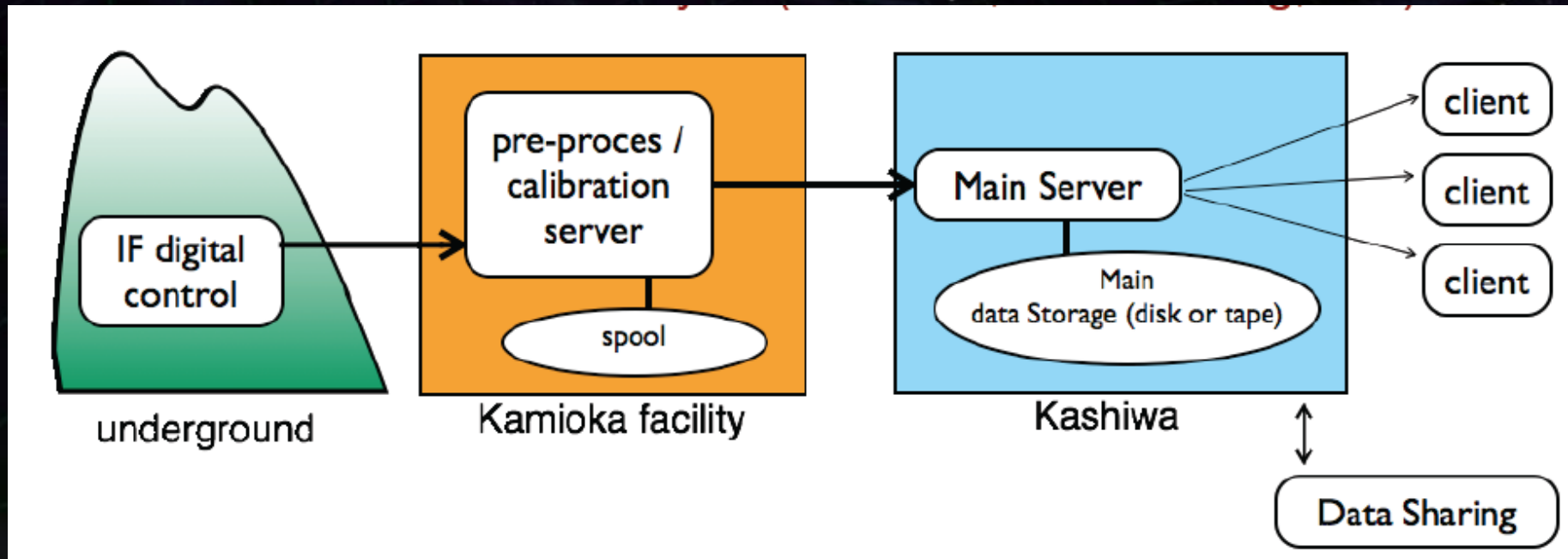
- Needs whole network design
- Needs network wiring diagram, rack position, rack equipment list



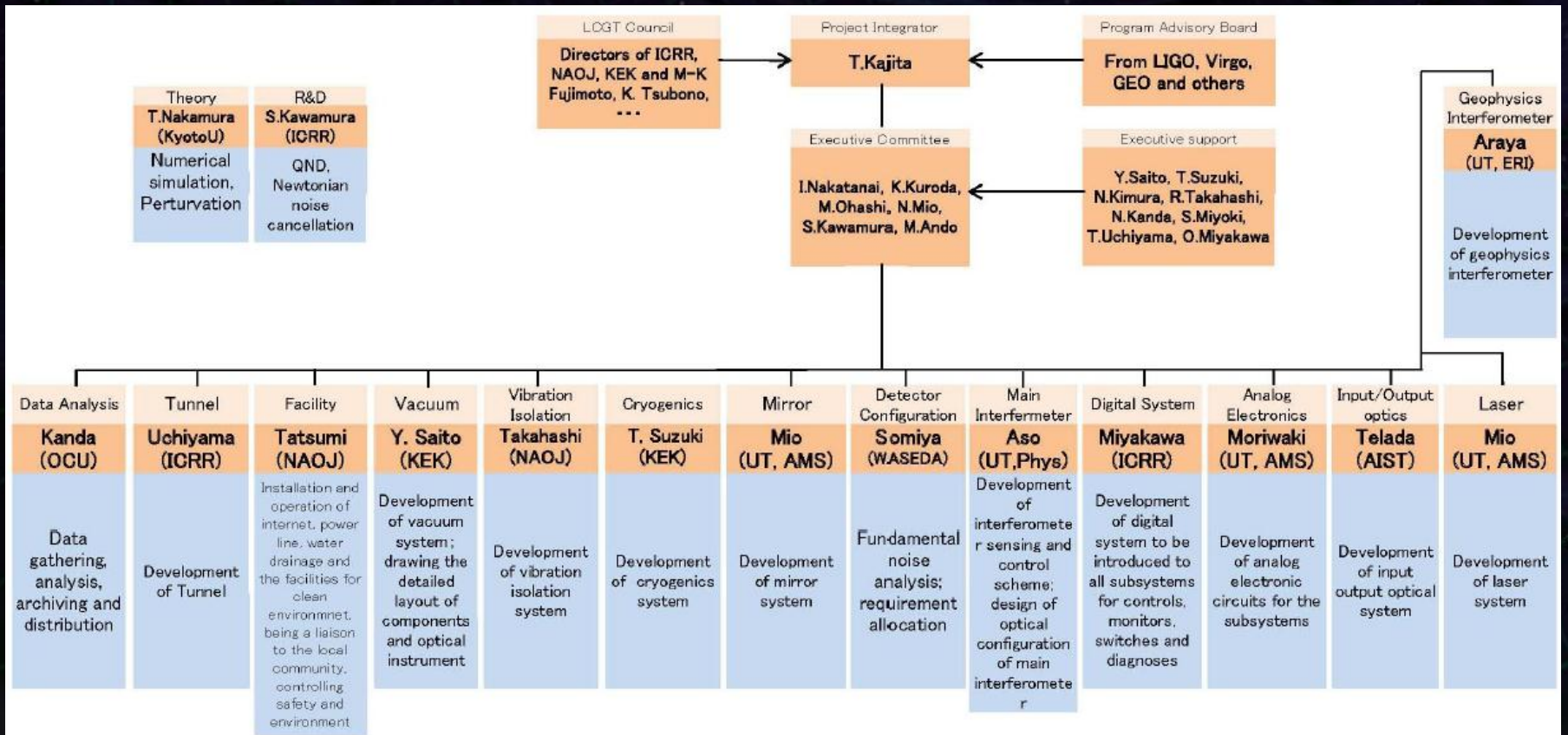
Analog electronics



Data Analysis



Organization



LCGTとAd. LIGO

LCGT (JPN)

1 detector (3km)

Long baseline
Better seismic
attenuation system
Underground site

Low-mechanical-loss
mirrors and suspensions
Cryogenic (20k)

High-power laser source
Low-loss optics
Variable RSE config.

Scale

Seismic noise
reduction

Thermal noise
reduction

Quantum noise
reduction

Advanced LIGO (USA)

3 detectors (4km)
(2 close, 1 separated)

Long baseline
Better seismic
attenuation system
Suburban site

Low-mechanical-loss
mirrors and suspensions
Large beam size

High-power laser source
Low-loss optics
Detuned RSE config.

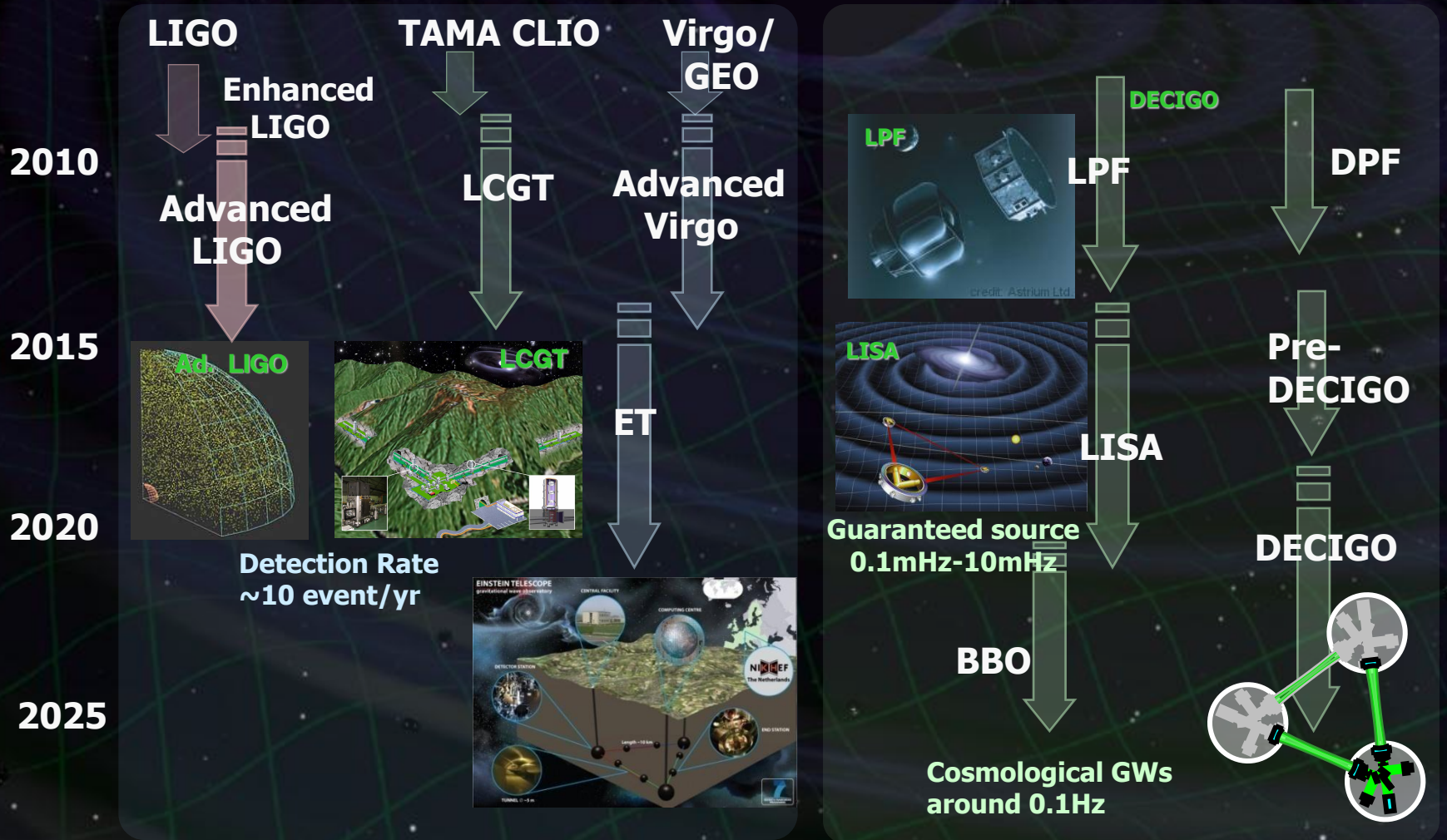
Roadmap of GW detectors

Ground based detectors



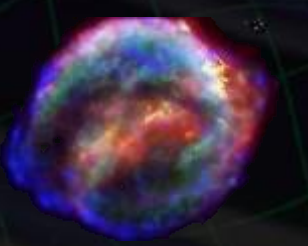
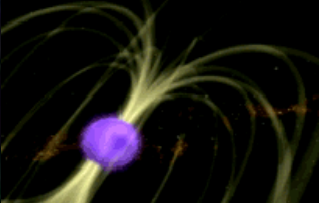
Improved sensitivities (10-1kHz)

Space-borne detectors

Low-frequency sources (0.1mHz – 1Hz)



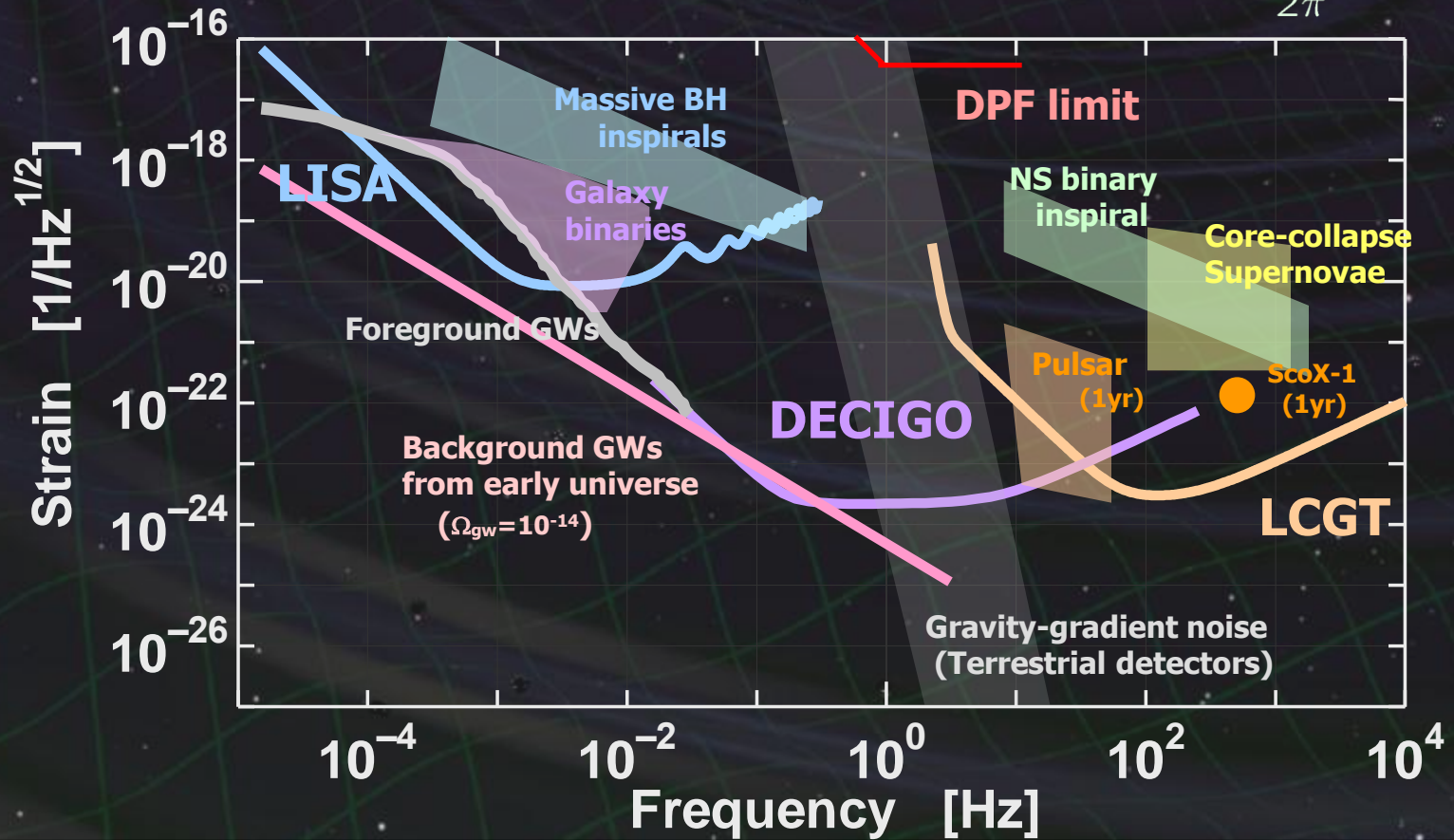
GW targets and data analysis

		Signal duration	
		Short (bursts)	Long (stationary)
Waveform	Known	 <p>Binary merger → Chirp wave, Ringdown wave</p>	 <p>Pulsar, LMXB → Continuous</p>
	Unknown	 <p>Stellar core collapse → burst wave</p>	 <p>Soft gamma-ray repeater</p>

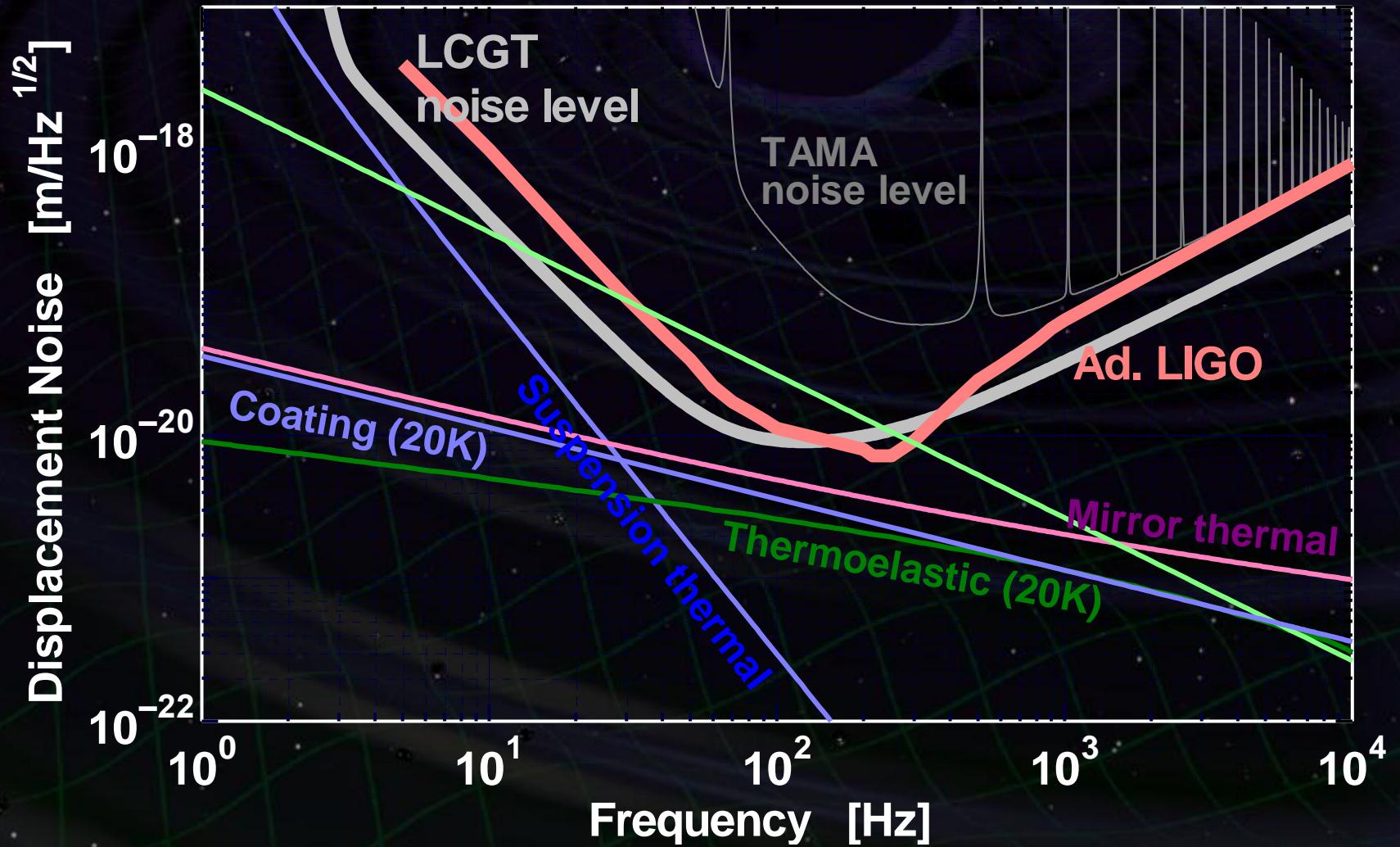
DPF sensitivity

DPF sensitivity $h \sim 2 \times 10^{-15} \text{ Hz}^{1/2}$
(x10 of quantum noises)

$$f \sim \frac{1}{2\pi} \sqrt{GM/R^3}$$



LCGTとAd. LIGO



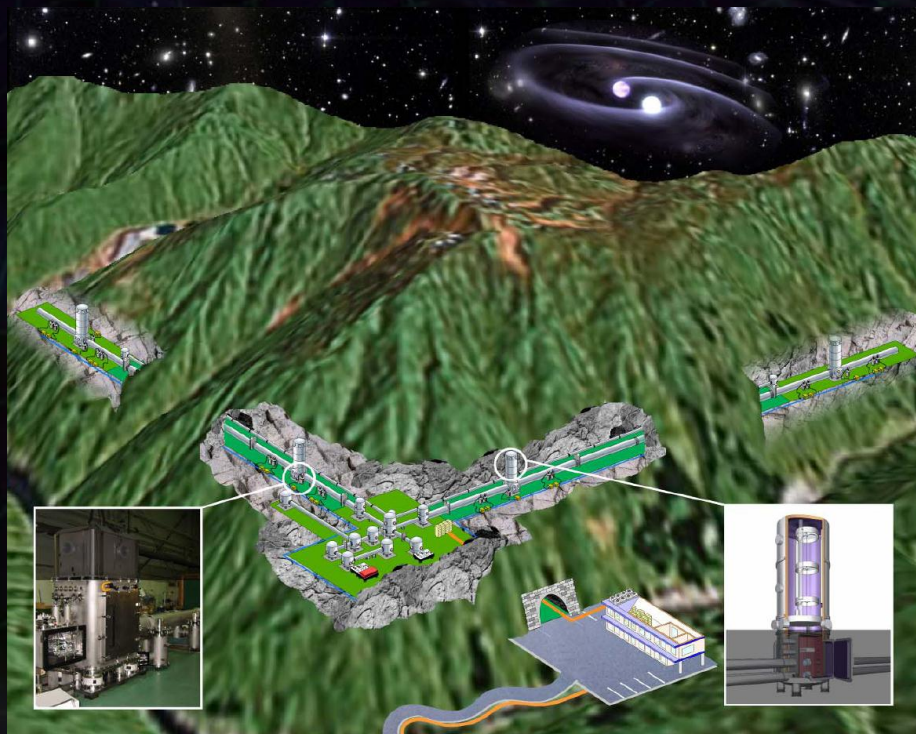
LCGT and DECIGO

LCGT (~2017)

Terrestrial Detector

→ High frequency events

Target: GW detection

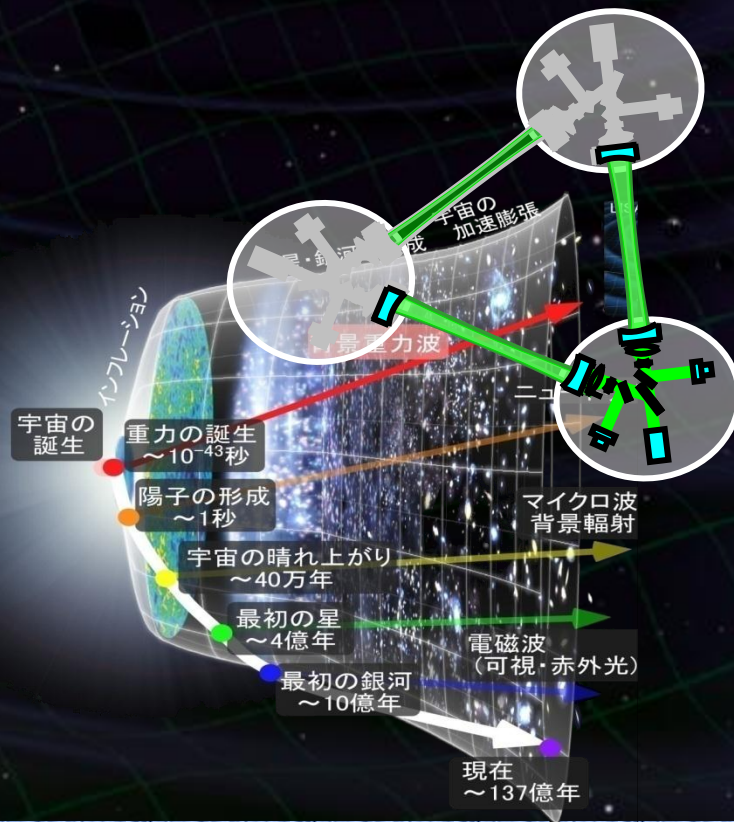


DECIGO (~2027)

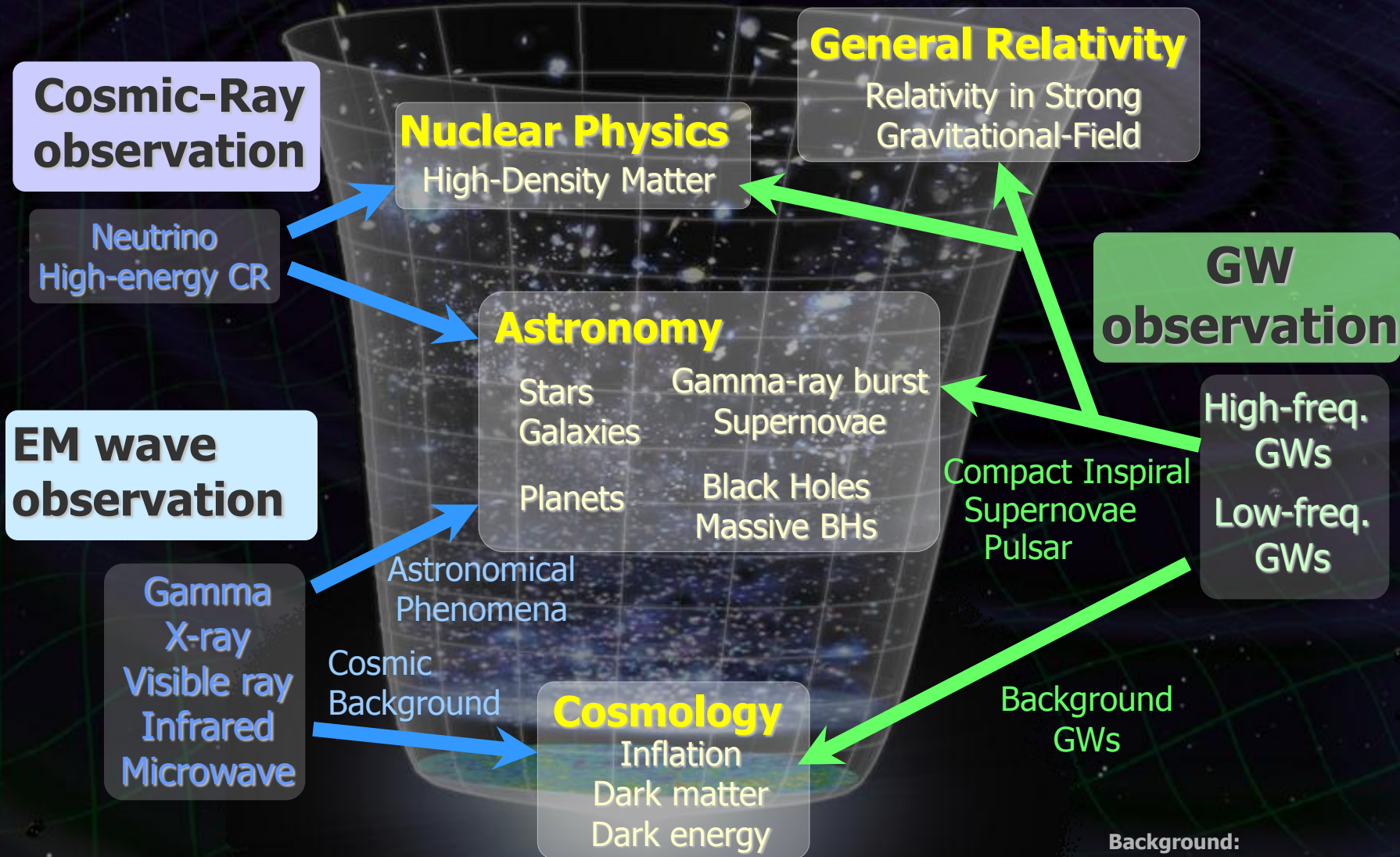
Space observatory

→ Low frequency sources

Target: GW astronomy



Observation of the Universe



Background:
NASA/WMAP Science Team

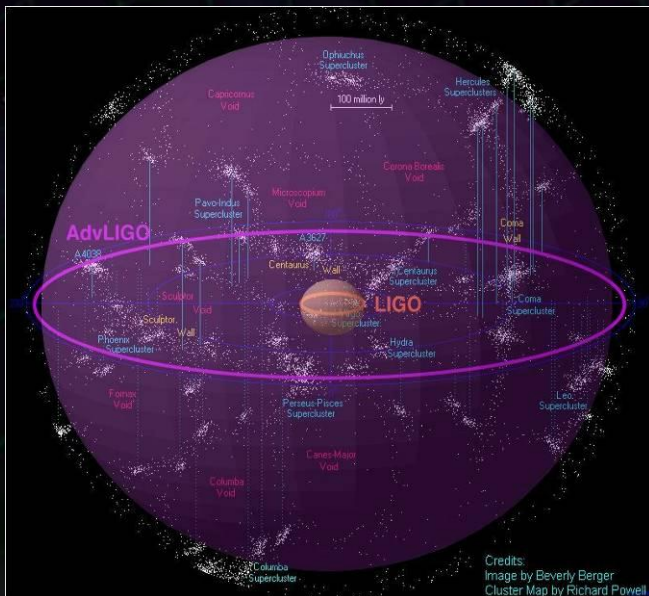
Expanding the Horizon

Current GW detectors : <20Mpc obs. range

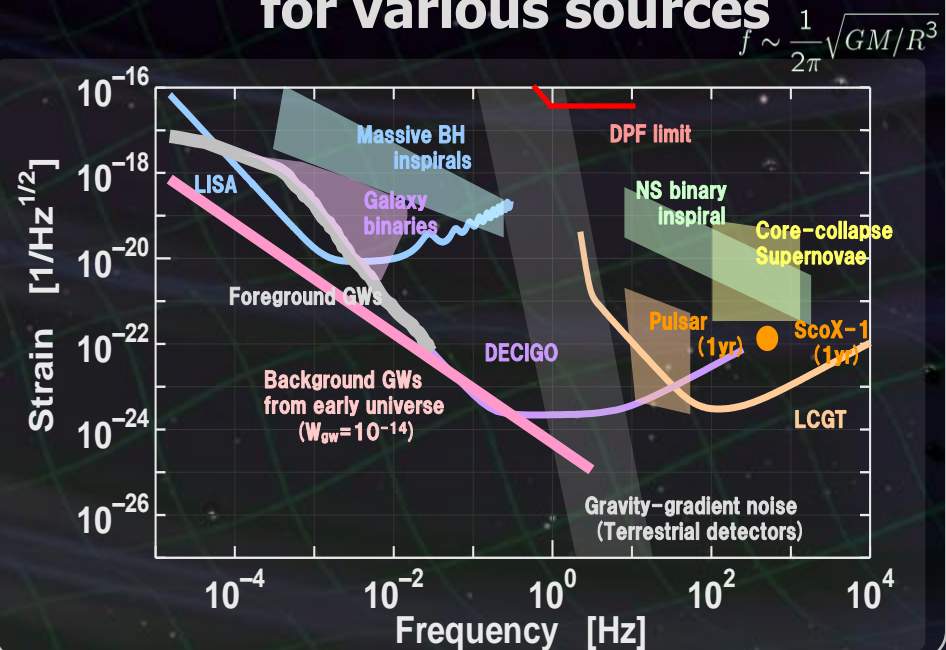
However... we can expect only rare events
(10^{-5} - 10^{-3} event/yr)

⇒ Next generation detectors

Better sensitivity
to cover more galaxies



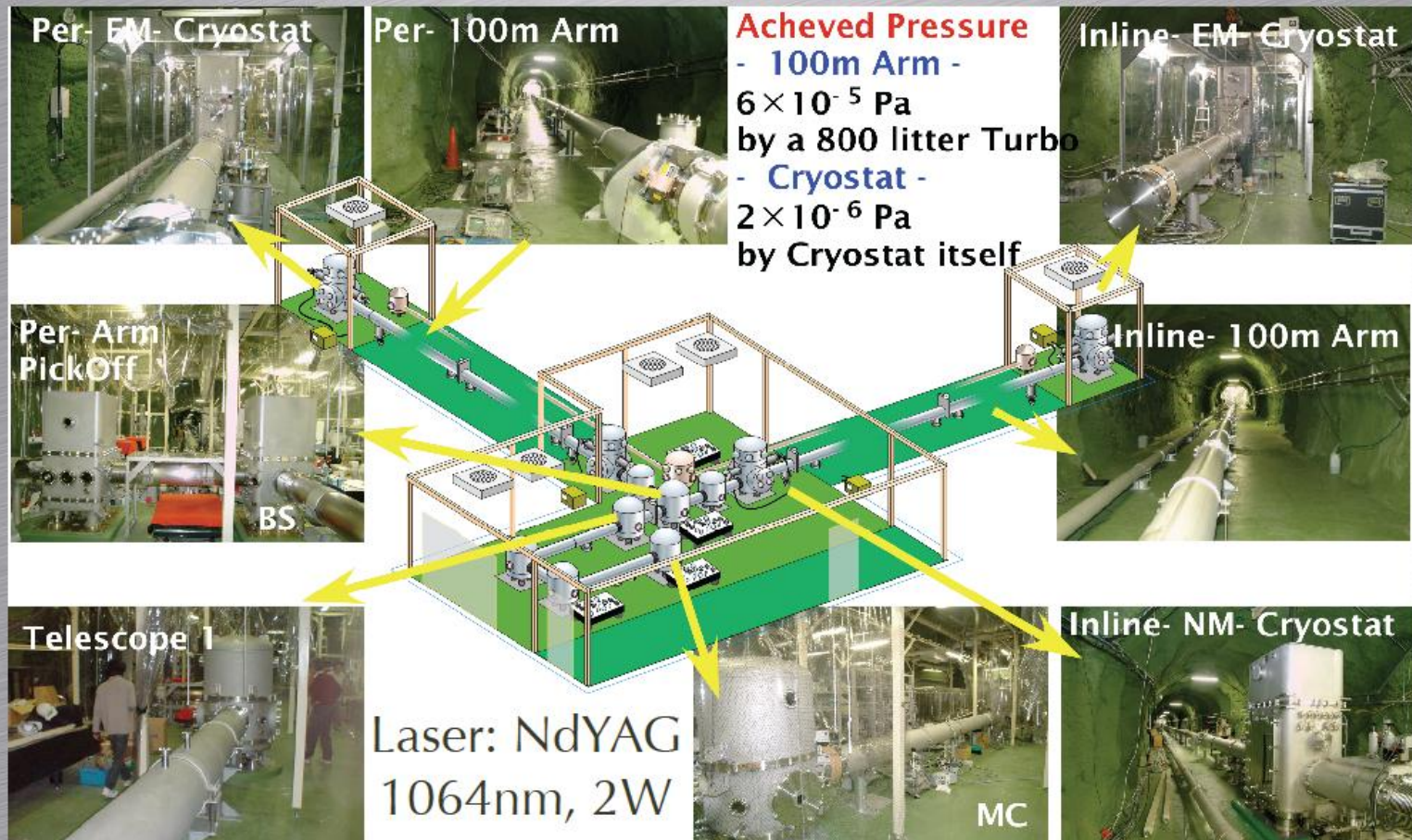
Wider observation band
for various sources



CLIO

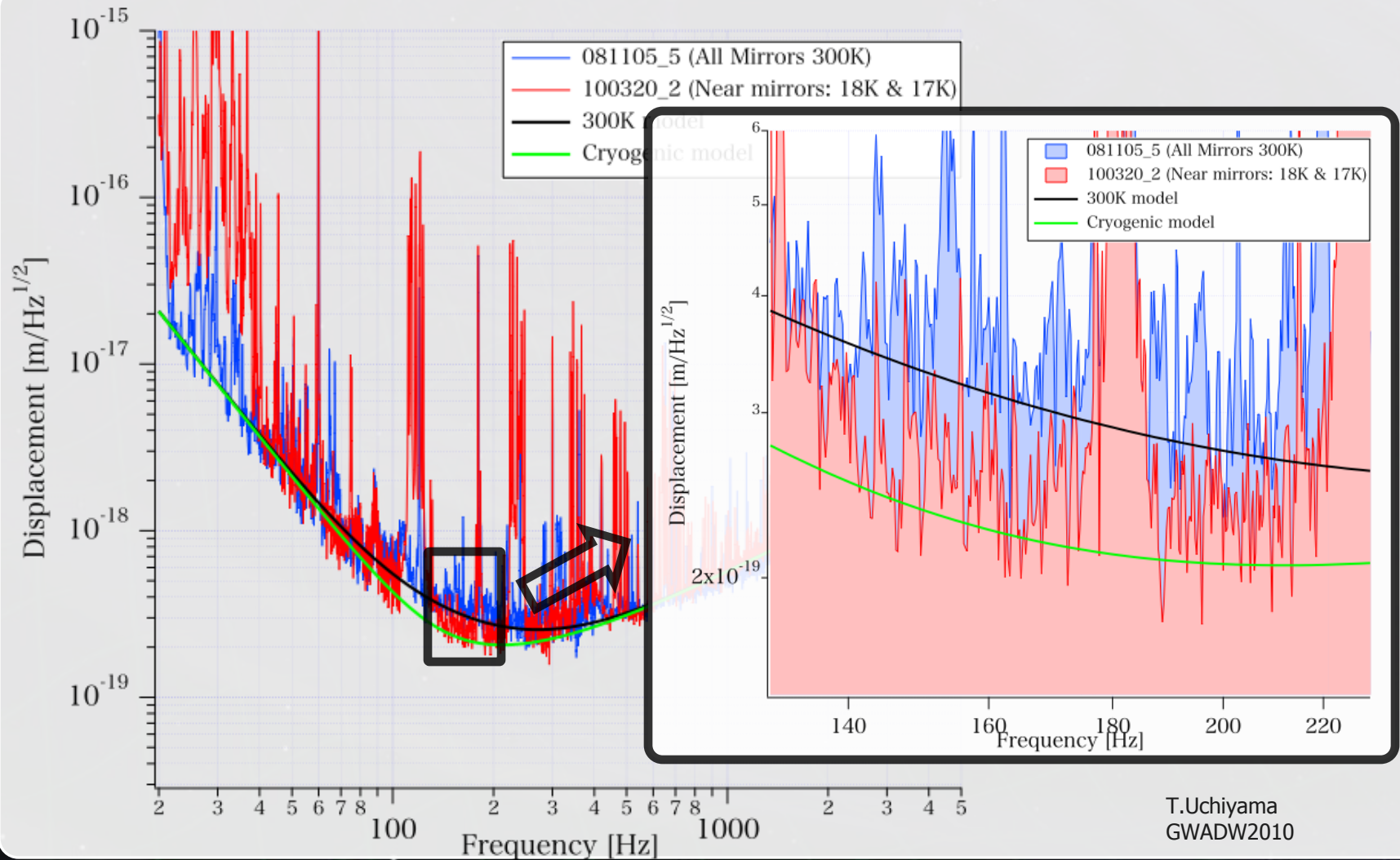
T.Uchiyama
March 29, 2009 JPS Meeting

CLIO



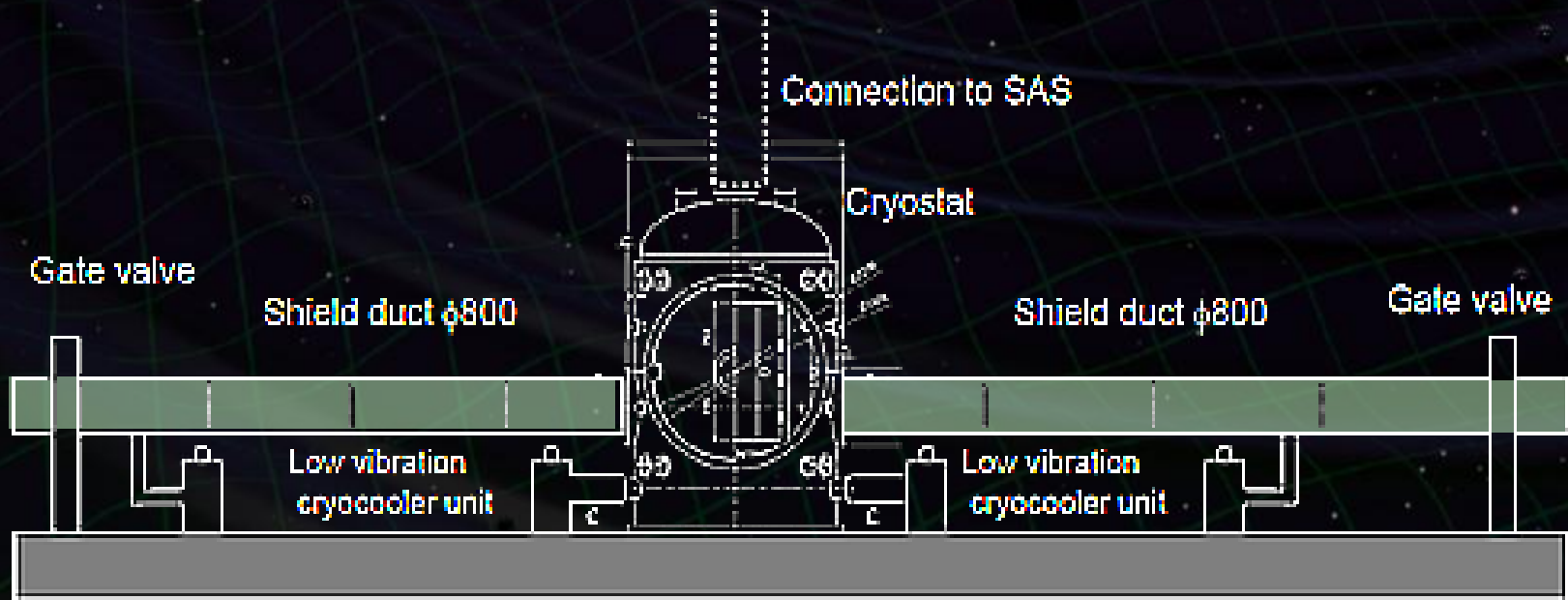
CLIO sensitivity

Sensitivity improvement with cryogenic operation



シールドダクト

- 光軸方向 (3kmダクト部) からの熱流入を低減するための輻射シールド。



低振動冷凍機

Plus tube type cryo-cooler with anti-vibration stage

Vacuum duct for very high pure aluminum thermal conductor

Tri-axial Laser Displacement Sensor

